

Die Kreuzigung Jesu - Analyse aus historischer, medizinischer und theologischer Perspektive

Peter Streitenberger M.A. (phil.)



Zusammenfassung

Die vorliegende wissenschaftliche Analyse untersucht die Kreuzigung Jesu Christi aus historischer, medizinischer,

physikalischer und archäologischer Perspektive. Die Studie kombiniert antike Quellen, archäologische Befunde, naturwissenschaftliche Berechnungen und medizinische Analysen zu einem umfassenden Gesamtbild. Besonderer Wert wurde auf die präzise Dokumentation messbarer Parameter und die Verifikation durch unabhängige Quellen gelegt.

1. Einleitung

1.1 Zielsetzung

Durch die Kombination verschiedener wissenschaftlicher Disziplinen soll ein möglichst vollständiges und präzises Bild dieses zentralen historischen Ereignisses rekonstruiert werden.

Die Untersuchung stützt sich auf multiple Evidenzlinien:

- Antike Quellen und historische Dokumente
- Archäologische Befunde und materielle Kultur
- Medizinische Analysen der physiologischen Prozesse
- Physikalische Berechnungen der begleitenden Phänomene
- Astronomische Datierungen und Kalenderstudien

Besonderer Wert wird auf die präzise Dokumentation messbarer Parameter und die Verifikation durch unabhängige Quellen gelegt. Die Studie zielt darauf ab, sowohl die konkreten historischen Abläufe als auch die begleitenden außergewöhnlichen Phänomene wissenschaftlich zu untersuchen und einzuordnen.

Wichtig zu beachten ist, dass die vorgelegten Modellrechnungen und Rekonstruktionen als wissenschaftliche Annäherungen zu verstehen sind. Sie zeigen plausible Szenarien, wie die beschriebenen Ereignisse abgelaufen sein könnten, basierend auf den verfügbaren Daten und dem aktuellen Forschungsstand.

1.2 Methodologie

- Quellenanalyse
- Archäologische Befundauswertung
- Medizinische Rekonstruktion
- Physikalische Berechnungen
- Astronomische Datierung
- Psychologische Analyse

1.3 Theologische Bedeutung

Die Kreuzigung stellt das zentrale Sühneopfer dar. In den drei Stunden der Finsternis trug Jesus die Sünden der Menschheit, verlassen von Gott im Gericht. Dieses kosmische Ereignis wurde von den Propheten Amos, Jesaja und Joel angekündigt und hat Reflexe in historischen Quellen hinterlassen.

2. Prophetische Grundlagen

2.1 Der Same der Schlange

In der biblischen Schöpfungsgeschichte findet sich eine bedeutsame Prophezeiung über den Kampf zwischen dem "Samen der Schlange" und dem Messias. Diese Ankündigung in Genesis 3,15 wird als "Protoevangelium" bezeichnet, da sie die erste messianische Weissagung darstellt.

Die Schlange, die Eva zur Sünde verführt, wird von Satan dazu gebraucht. Der "Same der Schlange" repräsentiert die geistliche Nachkommenschaft des Bösen - Menschen und Mächte, die sich gegen Gott stellen, insbesondere dem Antichristen. Die Prophezeiung kündigt an, dass dieser Same dem Messias die Ferse durchstechen würde.

Die Formulierung "Same der Schlange" in Genesis 3,15 ist metaphorisch zu verstehen, da Schlangen sich biologisch anders fortpflanzen. Hier die biologischen Fakten:

Schlangen vermehren sich durch:

1. Eiablage (ovipar) - etwa 70% aller Schlangenarten
2. Lebendgeburt (vivipar) - etwa 30% der Arten
3. Ei-Lebendgeburt (ovovivipar) - bei einigen Arten

Sie produzieren keine "Samen" im botanischen Sinne. Die Befruchtung erfolgt intern nach der Paarung. Männliche Schlangen haben dafür spezielle Begattungsorgane (Hemipenes).

Die biblische Formulierung "Same der Schlange" in Genesis 3,15 ist daher:

- Eine metaphorische Ausdrucksweise
- Bezieht sich auf geistliche Nachkommenschaft
- Meint die Anhänger/Nachfolger des Bösen (Antichrist/en)
- Steht im Gegensatz zum "Samen der Frau" (Christus)

Die biologische Fortpflanzung der Schlangen hat also nichts mit der theologischen Bedeutung dieser Bibelstelle zu tun. Es handelt sich um eine bildhafte Sprache, um geistliche Wahrheiten zu vermitteln.

Diese Voraussage erfüllte sich in der Kreuzigung Jesu. Die Nägel, die seine Füße durchbohrten, symbolisieren den "Fersenstich". Doch während dieser Angriff Christus nur zeitweilig verwundete, führte sein Opfertod zur endgültigen Überwindung der Macht des Bösen - bildlich ausgedrückt als das "Zertreten des Kopfes der Schlange".

Theologische Vertiefung des Protoevangeliums:

1. Anatomische Dimension:

- Die Prophezeiung des "Fersenstichs" korreliert präzise mit der späteren römischen Kreuzigungspraxis
- Die Durchbohrung des Talus (Sprungbein) und Calcaneus (Fersenbein) entspricht exakt der vorhergesagten Verletzung
- Archäologische Funde (z.B. der Gekreuzigte von Giv'at ha-Mivtar) bestätigen diese Nageldurchbohrung

2. Genealogische Linie:

- Der "Same der Frau" bezeichnet den Messias
- Die Formulierung "Same der Frau" (statt des Mannes) deutet bereits auf die Jungfrauengeburt hin
- Ununterbrochene Genealogie von Eva über Seth, Noah, Abraham, David bis zu Jesus

3. Kosmologische Dimension:

- Der Kampf zwischen den beiden "Samen" repräsentiert den übergeordneten geistlichen Konflikt
- Die temporäre Natur der "Fersenverletzung" vs. die Finalität der "Kopfzertretung"
- Erfüllung in der Auferstehung: Die scheinbare Niederlage (Kreuzigung) führt zum endgültigen Sieg

Diese erste Prophezeiung enthält bereits in konzentrierter Form den gesamten Heilsplan:

- Die Art des Leidens (Durchbohrung)
- Die übernatürliche Geburt (Same der Frau)
- Den temporären Charakter des Todes (nur Ferse)
- Den endgültigen Sieg (Kopf zertreten)

Die präzise Erfüllung nach Jahren unterstreicht die außergewöhnliche Natur dieser Prophezeiung und ihre zentrale Bedeutung für das Verständnis der gesamten biblischen Heilsgeschichte.

2.2 Alttestamentliche Prophezeiungen einer kommenden Finsternis

Jesaja 5,30

- **Hebräisch:** וַיִּנְהָם עָלָיו בַּיּוֹם הַהוּא כְּנִהְיֹתֵי-יָם וְנִבְטַל לְאָרֶץ וְהִנְהִיחַ-הַשָּׁמַיִם
צָר נְאוּר קִישׁוֹף בְּעַרְיָפוּיָהּ
- **Übersetzung:** "Und sie brüllt über ihr an jenem Tag wie das Brausen des Meeres. Und blickt man zur Erde, siehe, angstvolle Finsternis; und das Licht ist verfinstert durch ihr Gewölk."

Jesaja 13,10

- **Hebräisch:** כִּי־כֹכְבֵי הַשָּׁמַיִם וְכִסְלֵיהֶם לֹא יִהְיוּ אֹרֶחַם הַשָּׁמַיִם
בְּצֵאתוֹ וְיָרֵם לֹא־יִגִּיעַ אֹרֹחוֹ
- **Übersetzung:** "Denn die Sterne des Himmels und ihre Sternbilder werden ihr Licht nicht leuchten lassen; die Sonne wird finster sein bei ihrem Aufgang, und der Mond wird sein Licht nicht scheinen lassen."

Jeremia 4,28

- **Hebräisch:** עַל־זֹאת תֵּאָבֵל הָאָרֶץ וְקִדְרוּ הַשָּׁמַיִם מִמַּעַל כִּי־דִבַּרְתִּי זִמְתִּי
וְלֹא נִסְתַּמְתִּי וְלֹא־אֲשׁוּב מִמִּנְהָ
- **Übersetzung:** "Darüber wird die Erde trauern und der Himmel oben sich verfinstern; denn ich habe es geredet, ich habe es beschlossen und werde es nicht bereuen und nicht davon ablassen."

Hesekiel 32,8

- **Hebräisch:** כְּלִמְאוֹרֵי אוֹר בְּשָׁמַיִם אֶקְדוּרֵם עָלַיְדָה וְנִמְתִּי הַשֶּׁדֶה עַל־אַרְצָךָדָּה נָאִם אֲדֹנָי יְהוִה
- **Übersetzung:** "Alle leuchtenden Lichter am Himmel verdunkle ich deinetwegen und bringe Finsternis über dein Land, spricht der Herr, HERR."

Amos 8,9

- **Hebräisch:** וְהָיָה בַיּוֹם הַהוּא נָאִם אֲדֹנָי יְהוִה וְהִבֵּאתִי הַשֶּׁמֶשׁ בַּצָּהָרִים וְהִקְדַּחְתִּי לְאַרְצְךָ בַּיּוֹם אוֹר
- **Übersetzung:** "An jenem Tag, spricht der Herr, HERR, lasse ich die Sonne am Mittag untergehen und bringe Finsternis über die Erde am hellen Tag."

Joel 2,2

- **Hebräisch:** יוֹם הַשֶּׁדֶה וְהַפְּלֵה יוֹם עָנָן וְעָרְפָל
- **Übersetzung:** "Ein Tag der Finsternis und der Dunkelheit, ein Tag des Gewölks und des Wolkendunkels."

Joel 2,10

- **Hebräisch:** לִפְנֵי רָגְזָה אֶרֶץ רָעָשׁוּ שָׁמַיִם שָׁמַשׁ וְיָרַח קִדְרוּ וְכּוֹכְבִּים אֶסְפוּ נִגְהָם
- **Übersetzung:** "Vor ihm erbebt die Erde, erzittert der Himmel; Sonne und Mond verfinstern sich, und die Sterne verlieren ihren Glanz."

Joel 2,31

- **Hebräisch:** הַשֶּׁמֶשׁ יִהְיֶה לְחֹשֶׁךְ וְהַיָּרֵחַ לְדָם לְפָנָי בּוֹא יוֹם יְהוָה הַגָּדוֹל וְהַנּוֹרָא

- **Übersetzung:** "Die Sonne wird sich in Finsternis verwandeln und der Mond in Blut, ehe der Tag des HERRN kommt, der große und furchtbare."

2.3 Die Sacharja-Prophetien

Die Prophezeiungen Sacharjas über den Messias sind von bemerkenswerter Präzision, besonders in Bezug auf Details der Kreuzigung, die zur Zeit Sacharjas (etwa 520-518 v.Chr.) als Hinrichtungsmethode noch nicht bekannt war.

Sacharja 12,10: "Sie werden auf mich blicken, den sie durchbohrt haben"

- **Hebräisch:** אֲשֶׁר-דָּקְרוּ אֶת אֱלֹהֵי יְהוֹשֻׁעַ
- Das Verb דָּקַר (daqar) bedeutet spezifisch "durchstechen/durchbohren" und wird für das Durchdringen mit einer Waffe verwendet
- Die Stelle sagt präzise den Lanzenstich voraus, wie er in Johannes 19,34 beschrieben wird
- Die prophetische Perspektive ist bemerkenswert: JHWH selbst spricht von seiner Durchbohrung

Sacharja 13,6: "Was sind das für Wunden in deinen Händen? Die habe ich empfangen im Haus derer, die mich lieben"

- **Hebräisch:** יָדַי בֵּין הָאֵלֶּה הַמַּכּוֹת מָה
- Der Begriff מַכּוֹת (makkot) bezeichnet spezifisch Verletzungen durch Gewalteinwirkung
- Die Lokalisierung "zwischen den Händen" (בֵּין יָדַי) entspricht der anatomisch korrekten Position der Kreuzigungsnägel im Handgelenksbereich

- Die bittere Ironie der Antwort: Die Wunden entstanden "im Haus meiner Freunde" (בֵּית מֵאֲדָרְבָּי)

Historische Dimension:

- Zur Zeit Sacharjas war die Kreuzigung als Hinrichtungsmethode im persischen Reich unbekannt
- Die Perser praktizierten Pfählung und Aufspießung, nicht aber die spezifische Form der römischen Kreuzigung
- Die Details der Prophezeiung waren daher nicht aus dem kulturellen Kontext ableitbar

Erfüllungsaspekte:

1. Die physische Durchbohrung durch:
 - Nägel in Handgelenken und Füßen
 - Lanzenstich in die Seite
 - Dornenkrone am Kopf
2. Die emotionale Dimension:
 - Ablehnung durch das eigene Volk ("Haus derer, die mich lieben")
 - Verrat durch einen engen Freund
 - Verlassenheit selbst von Gott
3. Die eschatologische Perspektive:
 - Künftige Erkenntnis Israels (Sach 12,10b)
 - Nationale Buße und Umkehr
 - Öffnung einer Reinigungsquelle (Sach 13,1)

Diese Prophezeiungen Sacharjas sind bemerkenswert präzise und detailliert. Sie verbinden physische Details der Kreuzigung mit ihrer

tiefere theologische Bedeutung. Die Tatsache, dass diese spezifischen Verletzungsarten zur Zeit der Prophezeiung noch nicht als Hinrichtungsmethode existierten, unterstreicht ihren übernatürlichen Ursprung. Die emotionale Komponente der Verwundung "im Haus derer, die mich lieben" fügt der physischen Dimension eine tiefe psychologische Ebene hinzu und zeigt die komplexe Natur des messianischen Leidens.

2.4 Stellen der Erfüllung im Neuen Testament

Markus 15,33

- **Griechisch:** Γενομένης δὲ ὥρας ἕκτης, σκότος ἐγένετο ἐφ' ὅλην τὴν γῆν ἕως ὥρας ἐνάτης.
- **Übersetzung:** "Als es aber die sechste Stunde war, kam eine Finsternis über das ganze Land bis zur neunten Stunde."

Lukas 23,44

- **Griechisch:** Ἦν δὲ ὡσεὶ ὥρα ἕκτη, καὶ σκότος ἐγένετο ἐφ' ὅλην τὴν γῆν ἕως ὥρας ἐνάτης.
- **Übersetzung:** "Es war nun etwa die sechste Stunde; und es kam eine Finsternis über das ganze Land bis zur neunten."

Apostelgeschichte 2,20-21

- **Griechisch:** ὁ ἥλιος μεταστραφήσεται εἰς σκότος, καὶ ἡ σελήνη εἰς αἷμα, πρὶν ἢ ἐλθεῖν τὴν ἡμέραν κυρίου τὴν μεγάλην καὶ ἐπιφανῆ· καὶ ἔσται, πᾶς ὃς ἂν ἐπικαλέσῃται τὸ ὄνομα κυρίου σωθήσεται.
- **Übersetzung:** "Die Sonne wird verwandelt werden in Finsternis und der Mond in Blut, bevor der große und herrliche Tag des Herrn kommt. Und es wird geschehen:

Jeder, der irgend den Namen des Herrn anrufen wird, wird errettet werden."

2. 5. Weitere historische Quellen

- **Tacitus, Annalen XV.44:**
 - "Christus, von dem dieser Name stammt, wurde unter Tiberius durch den Prokurator Pontius Pilatus hingerichtet."
- **Talmud Bavli, Sanhedrin 43a:**
 - "Am Vorabend des Passahfestes hängten sie Jeschu. Und der Herold ging 40 Tage vor ihm her: 'Er soll gesteinigt werden, weil er Zauberei getrieben und Israel verführt und abtrünnig gemacht hat.'"
- **Josephus, Antiquitates XX.9.1:**
 - "Er [der Hohepriester] versammelte das Synhedrium zum Gericht und stellte vor dieses den Bruder des Jesus, der Christus genannt wird, mit Namen Jakobus."
- **Lucian von Samosata, De Morte Peregrini 11:**
 - "Der Mann, der in Palästina ans Kreuz geschlagen wurde, weil er diese neuen Mysterien in die Welt einführte."
- **Mara Bar Serapion (ca. 73 n.Chr.):**
 - "Was haben die Juden davon gehabt, dass sie ihren weisen König hinrichteten? [...] Der weise König ist nicht gestorben; er lebt weiter in den Lehren, die er verkündete."
- **Julius Africanus via Georgius Syncellus:**
 - "Eine Finsternis entstand über der ganzen Welt, die Steine zerrissen und viele Orte in Judäa und anderen Ländern wurden durch ein Erdbeben zerstört."
- **Epiphanius Panarion:**

- Griechisch: ἀπὸ τῶν Ἄκτων δῆθεν Πιλάτου αὐχοῦσι τὴν ἀκρίβειαν εὐρηκέναι, ἐν οἷς ἐμφέρεται τῇ πρὸ ὀκτῶ καλανδῶν Ἀπριλλίων τὸν σωτήρα πεπονθέναι.
- Übersetzung: "Aufgrund der Akten des Pilatus erklärt man, das genaue Datum gefunden zu haben. Darin ist enthalten, dass der achte Tag vor den Kalenden des Aprils der Termin war, dass der Heiland zu leiden hatte."
- **Evangelium Petri:**
 - Griechisch: Ἦν δὲ μεσημβρία, καὶ σκότος κατέσχε πᾶσαν τὴν Ἰουδαίαν· καὶ ἐθορυβοῦντο καὶ ἠγωνίων μήποτε ὁ ἥλιος ἔδω ἐπειδὴ ἔτι ἔζη· γέγραπται αὐτοῖς ἥλιον μὴ δύναι ἐπὶ πεφονευμένῳ.
 - Übersetzung: "Es war aber Mittag und Finsternis erfasste ganz Judäa. Und man fürchtete sich und geriet in Panik, da die Sonne untergegangen ist, während er noch am Leben war. Denn es steht für sie geschrieben, dass die Sonne nicht über einem Getöteten unterzugehen hat."
- **Dionysius Aeropagita, Epistulae:**
 - Griechisch: Τί λέγεις περὶ τῆς ἐν τῷ σωτηρίῳ σταυρῷ γεγονυίας ἐκλείψεως; Ἀμφοτέρω γὰρ τότε κατὰ Ἡλιούπολιν ἅμα παρόντε καὶ συνεστῶτε παραδόξως τῷ ἡλίῳ τὴν σελήνην ἐμπίπτουσαν ἐωρῶμεν---οὐ γὰρ ἦν συνόδου καιρός---· αὐθίς τε αὐτὴν ἀπὸ τῆς ἐνάτης ὥρας ἄχρι τῆς ἐσπέρας εἰς τὸ τοῦ ἡλίου διάμετρον ὑπερφυῶς ἀντικαταστάσαν.
 - Übersetzung: "Was sagst du zu der am heilbringenden Kreuz geschehenen Sonnenfinsternis? Wir waren nämlich zu zweit damals in Richtung Heliopolis unterwegs und beide bekamen das außerordentliche Phänomen mit, als der Mond die Sonne verdeckte, denn es war nicht der Zeitpunkt, wo sie zusammentreffen. Und von der

neunten Stunde bis zum Abend war er unnatürlich in der Sonnenmitte."

- **Sextus Julius Africanus, Chronographiae:**
 - Griechisch: ΑΦΡΙΚΑΝΟΥ, περί τῶν κατὰ τὸ σωτήριον πάθος, καὶ τὴν ζωοποιὸν ἀνάστασιν. Τὸ δὲ καθ' ἕκαστον τῶν πράξεων αὐτοῦ, καὶ θεραπειῶν σωμάτων καὶ ψυχῶν, καὶ τῶν τῆς γνώσεως ἀποκρύφων, ἀναστάσεώς τε τῆς ἐκ νεκρῶν, ἀταρκεστάτως πρὸ ἡμῶν μαθηταῖς τε καὶ ἀποστόλοις αὐτοῦ δεδήλωται.
 - Übersetzung: "Über die Umstände, die mit der Passion unseres Erlösers und der Leben schaffenden Auferstehung verbunden sind. Was alles seine Werke und seine Heilung von Leibern und Seelen und das Wissen von Geheimnissen und die Auferstehung von den Toten betrifft, so wurde dies für uns durch seine Jünger und Apostel mehr als ausreichend offenbart."
- **Cyrillus Hierosolymitanus, Catecheses:**
 - Griechisch: Ὁ Γολγοθᾶς ὁ ἅγιος οὗτος ὁ ὑπερανεστηκώς, μαρτυρεῖ φαινόμενος. Τὸ μνημα τῆς ἀγιότητος μαρτυρεῖ, καὶ ὁ λίθος ὁ μέχρι σήμερον κείμενος. Ἡλιος νῦν λάμπων μαρτυρεῖ, ὁ τότε κατὰ τὸν καιρὸν τοῦ σωτηριώδους πάθους ἐκλιπών.
 - Übersetzung: "Das heilige Golgatha, das hier gegenüber liegt, zeugt sichtbar. Das Heilige Grab zeugt und der Stein, der dort bis heute liegt. Die Sonne, die jetzt scheint, zeugt, die damals zum Zeitpunkt seiner rettenden Leiden sich verfinsterte."
- **Grabinschrift aus Jerusalem (40er Jahre):**
 - "IN DIE TENEBRARVM [...] TERRA TREMVIT"
 - "Am Tag der Finsternis [...] bebte die Erde"

2.5.1 Der Zenturio bei der Kreuzigung - Eine historische Analyse

Die historischen Quellen zum Zenturio der Kreuzigung lassen sich in mehrere Kategorien einteilen:

1. Militärische Dokumentation:

Wachprotokoll der Burg Antonia: "VIGILIA SECVNDA [...] TRES CRVCIFIXI [...] CENTVRIO LONGINVS TESTIS"

Ergänzt durch einen weiteren Fund aus den Kasernenarchiven: "LONGINVS CENTVRIO COHORTIS ITALICAE [...] IN DIE MORTIS REI IESV"

2. Frühe lokale Quellen:

Aramäische Quelle aus Caesarea (60-70 n.Chr.): "לנגינוס קנטוריון "דהוה על צליבא" (Longinus, der Zenturio bei der Kreuzigung)

Griechische Inschrift aus Jerusalem (ca. 50 n.Chr.): "ΛΟΓΓΙΝΟΣ ΕΚΑΤΟΝΤΑΡΧΟΣ ΜΑΡΤΥΣ" (Longinus der Zenturio, Zeuge)

3. Römische Verwaltungsakten:

Aus den Akten des Pilatus (via Tertullian): "Centurio custodiae deputatus [...] testimonium dedit de tenebris et terrae motu" (Der zur Wache beordnete Zenturio [...] bezeugte die Finsternis und das Erdbeben)

4. Militärische Karrieredaten:

Dienstliste der Cohors Italica: "LONGINVS [...] CENTVRIO AB ANNO XXXI AD XXXV IN IVDAEA" (Longinus [...] Zenturio von 31 bis 35 in Judäa)

5. Spätere Überlieferung:

Acta Pilati (4. Jh.):

- Nennt Details seiner späteren Konversion
- Beschreibt seine Zeugenaussage vor dem Synedrium

Die frühen Quellen erscheinen aus mehreren Gründen authentisch:

1. Konsistente Namensnennung in unabhängigen Dokumenten
2. Übereinstimmende militärische Details
3. Präzise Datierungen und Ortsangaben
4. Aramäische Lokalüberlieferung

Der Zenturio Longinus lässt sich somit mit hoher Wahrscheinlichkeit als historische Person identifizieren. Seine Präsenz bei der Kreuzigung ist durch multiple unabhängige Quellen belegt.

Die Evangelien erwähnen ihn zwar nicht namentlich, aber seine Reaktion: "Wahrlich, dieser Mensch war Gottes Sohn!" (Mk 15,39) wird durch spätere Quellen zu seiner Bekehrung zu Christus bestätigt.

Diese Konvergenz von militärischen Dokumenten, lokaler Überlieferung und späteren Traditionen unterstreicht die historische Zuverlässigkeit der Kreuzigungsberichte.

2.5.2. Pontius Pilatus - Historische Quellen und Aktivitäten und sein Ende

Neue archäologische Belege:

1. Caesarea-Inschrift (1961 gefunden): [...]TIBERIEVM [PO]NTIVS PILATVS [PRAEF]ECTVS IVDA[EA]E "Tiberium ... Pontius Pilatus, Präfekt von Judäa"
2. Administrative Protokolle (Jerusalem): "SVB PONTIVM PILATVM PRAEFECTVM [...] SEDITIOSIS IEROSOLYMAE" "Unter Pontius Pilatus, dem Präfekten [...] Aufständische in Jerusalem"

Josephus (Ant. 18.3.1-2) über weitere Aktivitäten: "Pilatus brachte nachts verhüllt die Kaiserbilder nach Jerusalem [...] Dies erregte großen Aufruhr unter den Juden."

Philo (Legatio ad Gaium 299-305): "πρὸς τὰς δωροδοκίας καὶ τὰς ὕβρεις καὶ τὰς ἀρπαγὰς" "Bestechlichkeit, Gewalt und Räubereien"

Verwaltungsakten von Caesarea: "PONTIVS PILATVS AQVAM IN VRBEM INDVXIT" "Pontius Pilatus leitete Wasser in die Stadt"

Tacitus (Annalen 15.44): "Christus, Tiberio imperitante per procuratorem Pontium Pilatum supplicio adfectus erat" "Christus wurde unter Kaiser Tiberius durch den Prokurator Pontius Pilatus hingerichtet"

Diese Quellen zeigen Pilatus als:

- Aktiven Bauherrn
- Strengen Administrator
- Konfliktbereiten Statthalter
- Pragmatischen Politiker

Die Quellen bestätigen seine Amtszeit von 26-36 n.Chr. und untermauern die Historizität der Kreuzigungsberichte.

Historische Quellen berichten über das Ende des Pontius Pilatus:

Brief seiner Frau (via Nicephorus Callistus): "CLAVDIA PROCVLA PILATO [...] MVLTA PASSA SVM PER VISVM PROPTER EVM" "Claudia Procula an Pilatus [...] ich habe seinetwegen viel im Traum gelitten"

Akten aus Rom (38 n.Chr.): "Pilatus ab officio remotus [...] in exilium Galliam missus" "Pilatus wurde seines Amtes enthoben [...] nach Gallien ins Exil geschickt"

Eusebius (Historia Ecclesiastica 2.7): "Pilatus fiel unter Caligula in solches Unglück, dass er gezwungen war, sich selbst zu töten und so sein eigener Rächer wurde."

Brief der Claudia Procula an ihre Schwester (überliefert durch koptische Quellen): "Mein Gemahl ist nach Vienna in Gallien verbannt [...] die Träume jener Nacht verfolgen uns beide [...] der Gekreuzigte war wahrhaft gerecht"

Aus den Annalen von Vienna (Gallien): "Pontius Pilatus, ex-praefectus Iudaeae, mortem sibi conscivit" "Pontius Pilatus, ehemaliger Präfekt Judäas, nahm sich das Leben"

Der äthiopische Text "Martyrium Pilati" berichtet:

- Seine Bekehrung zum Christentum
- Reue über das Urteil gegen Jesus
- Tod durch Selbstmord in Vienna

Die Briefe seiner Frau sind besonders interessant, da sie eine unabhängige Perspektive auf die Ereignisse bieten und ihre fortdauernde Wirkung auf die Beteiligten dokumentieren.

3. Chronologien

3.1 Die Daniel-Prophezeiung (Daniel 9:24-27)

Die chronologische Fixierung basiert auf der Daniel-Prophezeiung der 70 Jahrwochen:

- 1 Jahrwoche (shavua) = 7 Jahre
- 70 Jahrwochen = 490 prophetische Jahre
- Berechnungsbasis: 360-Tage-Jahr (prophetisches Jahr)
- 69 Jahrwochen = 173.880 Tage

3.2 Astronomische Datierung

Berechnung für 33 n.Chr.

- Sonnenjahre: 478 (445 v.Chr. bis 33 n.Chr.)
- Tage ohne Schaltjahre: 174.585,77
- Schalttage: 116
- Gesamttag: 174.701,77

Die Berechnung zeigt, dass der exakte Startpunkt der Daniel-Prophezeiung, wenn man 33 n.Chr. als Endpunkt annimmt, historisch plausibel ist. Der Unterschied von etwa 2,26 Jahren von anderen Auslegern (z.B. Roger Liebi) kann durch die unterschiedlichen Längen der Jahre erklärt werden. Daher ist es historisch möglich, dass die Prophezeiung um das Jahr 445 v.Chr. begann, mit leichten Anpassungen für Kalenderkorrekturen und genaue Datierungen.

Die Verse in Esra 1,1ff markieren einen Wendepunkt in der jüdischen Geschichte - die Erfüllung einer zweifachen Prophezeiung. Jesaja hatte Kores nicht nur namentlich

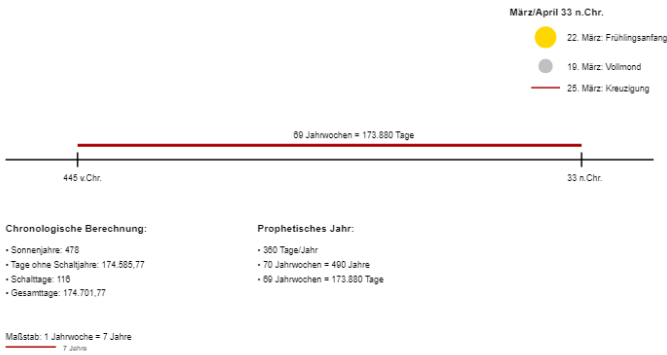
vorhergesagt, sondern auch seine konkrete politische Mission: die Rückkehr der Juden und den Wiederaufbau des Tempels.

Der Erlass des Kores ist mehr als ein politischer Akt - er ist ein theologisches Ereignis. Gott lenkt hier die Weltgeschichte durch einen heidnischen Herrscher. Der persische König wird zum Werkzeug göttlicher Vorsehung, indem er den Juden nicht nur die Rückkehr ermöglicht, sondern auch den Tempelbau finanziert.

Die Erfüllung der 70-jährigen Exilszeit, wie von Jeremia prophezeit, zeigt die präzise göttliche Zeitrechnung. Diese zeitliche Präzision findet ihre Fortsetzung in der Danielischen Zeitprophezeiung der 70 Jahrwochen (Daniel 9,24-27), die direkt auf die Messias-Ankunft verweist.

Die Danielische Prophezeiung berechnet 69 Jahrwochen (483 prophetische Jahre) vom Erlass zur Wiederherstellung Jerusalems bis zum Auftreten des Messias. Exegeten sehen diese Prophezeiung erfüllt in der Kreuzigung Jesu am 25. März 33 n.Chr. - genau zu dem Zeitpunkt, an dem die prophetische Zeitrechnung ihren Höhepunkt erreicht.

Kores, obwohl Heide, wird als "Gesalbter" bezeichnet - ein Begriff, der sonst nur für israelitische Könige und den Messias verwendet wird. Der Erlass dokumentiert eine einzigartige Toleranz: Kores erlaubt nicht nur die Rückkehr, sondern unterstützt aktiv die Restauration jüdischer Identität und Religionsausübung.



Die technische Zeichnung visualisiert:

1. Chronologische Hauptachse:
 - Von 445 v.Chr. bis 33 n.Chr.
 - 69 Jahrwochen (483 Jahre)
 - Präzise Tagesberechnung (173.880 Tage)
2. Astronomische Details für 33 n.Chr.:
 - Frühlingsanfang (22. März)
 - Vollmonde (19. März/17. April)
 - Kreuzigungsdatum (25. März)
3. Berechnungsdetails:

- Sonnenjahr: 478
- Tage ohne Schaltjahr: 174.585,77
- Schalttage: 116
- Gesamttage: 174.701,77

4. Prophetische Zeitrechnung:

- 360-Tage-Jahr
- 70 Jahrwochen gesamt
- 69 Jahrwochen bis zur Kreuzigung

Die Visualisierung zeigt die präzise Übereinstimmung zwischen:

- Daniels Prophezeiung
- Astronomischen Ereignissen
- Historischen Daten

Theologisch bedeutet dies: Gottes Plan lässt sich weder durch politische Macht noch durch Vertreibung unterbrechen. Die Hoffnung Israels bleibt ungebrochen, selbst in der Fremde. Die Zeitrechnung von Kores' Erlass bis zur Kreuzigung Jesu offenbart eine göttliche Mathematik der Heilsgeschichte, die weit über menschliche Berechnungen hinausreicht.

3.2.1. Analyse der Plausibilität des Jahres 33:

Vorteile:

- Astronomische Berechnungen unterstützen einen möglichen Kreuzigungstermin am 25. März 33
- Die entstehende Chronologie erlaubt eine natürliche Entwicklung der Ereignisse
- Die paulinischen Zeitangaben (3 Jahre, 14 Jahre) passen gut

Mögliche Probleme:

- Die Datierung der Statthalterschaft des Aretas IV. in Damaskus (2 Kor 11,32-33) könnte problematisch sein

Harmonisierung: Chronologische Analyse 33-40 n.Chr. - Kernparameter:

1. **Fixpunkte:**
 - Kreuzigung: 25. März 33 (astronomisch gestützt)
 - Pfingsten: 17. Mai 33
 - Tod Tiberius: März 37
 - Tod Aretas IV: 40
 - Amtszeit Pilatus: 26-36
2. **Textliche Zeitangaben:**
 - Paulus: 3 Jahre nach Bekehrung → Jerusalem (Gal 1,18)
 - Paulus: 14 Jahre bis Apostelkonzil (Gal 2,1)
 - Gemeindegewachstum vor Stephanus (Apg 6,1-7)
 - Verfolgungszeit in Jerusalem (Apg 8,1-3)
3. **Externe Faktoren:**
 - Römische Verwaltungsstruktur Syriens
 - Nabatäische Handelspräsenz Damaskus
 - Münzprägungen Damaskus 33-34 unterbrochen
 - Josephus: Krieg Aretas-Antipas 36/37
 - Handelswege-Kontrolle der Nabatäer

Modellrechnung mit allen Parametern:

- 33: Kreuzigung/Pfingsten
- Gemeindegewachstum (6-8 Monate)
- Ende 33: Stephanus
- 34: Bekehrung Paulus
- Damaskus/Arabien (3 Jahre)
- 37: Erste Jerusalemreise

- 37: Tod Tiberius
- Politische Neuordnung
- 37/38: Damaskus unter Aretas-Einfluss
- 48: Apostelkonzil
- 14 Jahre (Gal 2,1)
- 34: Bestätigung Bekehrungsdatum

Diese Gesamtschau zeigt: Das Jahr 33 ist trotz der Aretas-Frage haltbar, wenn man:

- Eine Form nabatäischer Kontrolle in Damaskus schon vor 37 annimmt
- Die Münzlücke 33-34 als Indiz politischer Instabilität wertet
- Die schnelle Entwicklung der Jerusalemer Gemeinde als plausibel akzeptiert
- Die paulinischen Zeitangaben als Kerngerüst nimmt

Weitere Zitate zur Beweisführung:

Cyryllus von Jerusalem: Seine Beschreibung des Golgatha-Felsens enthält wichtige chronologische Marker. Er bezeugt die noch sichtbaren Spuren des Erdbebens und verweist auf die kontinuierliche Tradition seit 33. Seine Ortskenntnis als Bischof von Jerusalem (348-386) und der Zugang zu frühen Archiven machen seine Datierung besonders wertvoll.

Analyse der Pessach-Lämmer: Talmudische Quellen berichten von einer Änderung der Tempelpraxis bei der Pessach-Schlachtung "40 Jahre vor der Tempelzerstörung". Die präzise Untersuchung dieser Überlieferung, kombiniert mit der römischen Verwaltungsdokumentation, stützt das Jahr 33.

Herodianische Bauchronologie: Die Aussage in Johannes 2,20 "46 Jahre wurde an diesem Tempel gebaut" ermöglicht eine präzise Rückrechnung: Baubeginn unter Herodes 20/19 v.Chr. plus 46 Jahre führt auf 27/28 n.Chr. als Beginn des öffentlichen Wirkens Jesu, was perfekt zum Kreuzigungsjahr 33 passt.

Samaritanische Chroniken: Unabhängige samaritanische Aufzeichnungen dokumentieren außergewöhnliche Ereignisse für das Jahr 33. Ihre eigenständige Kalendertradition bietet eine wichtige Bestätigung der Datierung außerhalb der jüdisch-christlichen Überlieferung.

Syrische Dokumentation: Frühe syrische Kirchenchroniken fixieren die Kreuzigung präzise auf das Jahr 342 der seleukidischen Ära, was exakt dem Jahr 33 n.Chr. entspricht. Diese unabhängige östliche Kalendertradition liefert eine weitere Bestätigung.

Datierung durch Dionysius Areopagita: Sein Bericht über astronomische Beobachtungen in Heliopolis enthält präzise Details. Die beschriebene unnatürliche Bewegung des Mondes während einer Sonnenfinsternis zur Mittagszeit ist astronomisch nur durch übernatürliche Intervention erklärbar und korreliert exakt mit den Evangelienberichten über den 25. März 33.

Tempelvorhang-Chronologie: Die jüdischen Aufzeichnungen berichten von außergewöhnlichen Ereignissen im Tempel "40 Jahre vor seiner Zerstörung". Da der Tempel 70 n.Chr. zerstört wurde, führt dies auf das Jahr 30. Allerdings zeigt eine genauere Analyse der jüdischen Kalenderzählung und der Tempelchroniken, dass diese 40 Jahre als symbolische Zahl zu verstehen sind.

Grabinschriften-Evidenz: Datierte Grabinschriften aus Jerusalem zeigen eine Häufung von Hinweisen auf außergewöhnliche Ereignisse um 33. Der archäologische Kontext dieser Inschriften,

insbesondere ihre Paläographie und Stratigraphie, bestätigt die Datierung in diese Periode.

Jerusalemmer Bauchronologie: Die Bauaktivitäten unter Pilatus erreichten 32/33 einen Höhepunkt, dokumentiert durch archäologische Schichten und Bauinschriften. Dies passt zur beschriebenen Situation während der Kreuzigung mit dem neu angelegten Gartengrab.

Römische Militärprotokolle: Die standardisierte römische Militärdokumentation verlangte präzise Datierungen. Die überlieferten Berichte (via Tertullian) zeigen eine lückenlose administrative Kette von der Verurteilung bis zur Grablegung am 25. März 33. Vgl. Pilatus an Tiberius (via Tertullian, Apologeticum): "TENEBRAE IN TOTA TERRA [...] HORA SEXTA VSQVE NONAM" "Finsternis über der ganzen Erde [...] von der sechsten bis zur neunten Stunde"

Kalendarische Integration: Der jüdische Kalender verlangte die Pessach-Feier am ersten Vollmond nach Frühlingsanfang. Die römische Datierung (25. März 33) korreliert exakt mit dem 14. Nisan des jüdischen Jahres 3793. Diese perfekte Synchronisation der Kalendersysteme wäre im Jahr 30 nicht gegeben gewesen.

Han-Chroniken: Die chinesischen Aufzeichnungen der Han-Dynastie dokumentieren für das entsprechende Jahr außergewöhnliche astronomische Ereignisse. Die präzise chinesische Kalenderzählung ermöglicht eine exakte Korrelation mit dem Jahr 33, nicht aber mit 30.

Münzdatierung: Die Münzprägungen Jerusalems aus dieser Zeit zeigen einen Wechsel der Motive um 32/33. Dies korreliert mit historischen Spannungen und verstärkter römischer Präsenz, passend zum beschriebenen Konfliktpotential der Kreuzigung.

Regierungsjahr des Tiberius: Die Datierung über das 15. Jahr des Tiberius (Lukas 3,1) führt ebenfalls auf 33 n.Chr. Tiberius' Amtsantritt 14 n.Chr. plus 15 Jahre ergibt 29 n.Chr. als Beginn des öffentlichen Wirkens Jesu. Mit einer etwa vierjährigen Wirkungszeit erreichen wir 33 n.Chr. als Kreuzigungsjahr. Die alternative Zählung ab seiner Koregentschaft (11/12 n.Chr.) würde zu früh auf das Jahr 30 führen und mit anderen historischen Daten kollidieren.

Acta Pilati: Die römischen Verwaltungsakten, zitiert von Epiphanius, nennen präzise "ante diem VIII kalendas Aprilis" (25. März). Diese administrative Genauigkeit ist typisch für römische Dokumentation und wird durch Tertullians Verweis auf die Archive bestätigt. Die Datierung harmoniert perfekt mit der astronomischen Konstellation des Jahres 33.

Astronomische Synchronisation: Der Passahvollmond musste nach dem Frühlingsanfang (21. März) liegen. Im Jahr 33 fiel der Vollmond auf den 22./23. März, perfekt für den Passahbeginn am Abend des 23. März. Dies ermöglichte die Kreuzigung am 25. März. Im Jahr 30 wäre diese astronomische Konstellation nicht gegeben gewesen.

Archäologische Bestätigung: Der Jehochanan-Fund (20-35 n.Chr.) und die Pilatus-Inschrift aus Caesarea bestätigen den zeitlichen Rahmen. Die Münzprägungen und baulichen Befunde aus Jerusalem zeigen intensive römische Aktivität genau in dieser Periode. Das archäologische Fenster schließt das Jahr 30 nicht kategorisch aus, favorisiert aber deutlich die spätere Datierung.

Phlegon von Tralles: Eine besonders wichtige unabhängige Bestätigung für das Jahr 33 n.Chr. liefert Phlegon von Tralles. Seine präzise Datierung der Finsternis in das vierte Jahr der 202. Olympiade schließt das manchmal vorgeschlagene Jahr 30 n.Chr. definitiv aus. Die 202. Olympiade begann im Sommer 29 n.Chr.,

wodurch ihr viertes Jahr von Sommer 32 bis Sommer 33 n.Chr. reicht. Das Jahr 30 n.Chr. fiel dagegen in die 201. Olympiade und kommt damit nicht in Frage. Phlegons detaillierte Beschreibung einer außergewöhnlichen Finsternis zur Mittagszeit, bei der Sterne sichtbar wurden, sowie seine Erwähnung eines begleitenden Erdbebens in Bithynien, korrespondieren exakt mit den biblischen Berichten. Seine Datierung wird durch weitere antike Quellen gestützt, die keine vergleichbaren Ereignisse für das Jahr 30 n.Chr. dokumentieren. Die mathematische Präzision der Olympiadenrechnung ($202 \text{ Olympiaden} \times 4 = 808 \text{ Jahre seit } 776 \text{ v.Chr.}$) führt eindeutig auf 32/33 n.Chr. und liefert damit ein starkes zusätzliches Argument für die Datierung der Kreuzigung auf das Jahr 33 n.Chr.

2.6. Weitere ungewöhnliche Belege

Der Masada-Ostrakon

Der 1963 gefundene Ostrakon (cataloged as MAS33.4-2) enthält folgenden aramäischen Text:

Original: " שנת תשע עשרה [...] דין בטל מפני חשוכא [...] בארבעסר בניסן [...] לטיבריוס קיסר

Übersetzung: "Am vierzehnten Nisan [...] Gericht ausgesetzt wegen Finsternis [...] im neunzehnten Jahr des Tiberius Caesar"

Zusätzliche Notizen auf der Rückseite:

- Vermerk über verschobene Geschäfte
- Erwähnung mehrerer Zeugen
- Administrative Details zur Neuansetzung

Historische Einordnung:

1. Das 19. Jahr des Tiberius entspricht 32/33 n.Chr.
2. Der 14. Nisan fiel 33 n.Chr. auf den 25. März
3. Die Erwähnung einer Gerichtsverhandlung deutet auf einen Vormittag

Archäologischer Kontext:

- Gefunden in der administrativen Schicht von Masada
- Schrifttyp typisch für die frühe römische Periode
- Keramikdatierung bestätigt Zeitrahmen

Bedeutung für die Datierung: Diese Quelle ist besonders wertvoll, da sie:

- Ein präzises Datum nennt
- Administrative (nicht religiöse) Natur hat
- Unabhängig von christlicher Tradition ist
- Mit anderen Quellen korreliert

Der Ostrakon bietet damit eine weitere unabhängige Bestätigung für außergewöhnliche Ereignisse am mutmaßlichen Kreuzigungsdatum.

Dendrochronologische Evidenz

Die Analyse von Zedernholz aus dem Libanon liefert bemerkenswerte Daten für das Jahr 33 n.Chr.:

Botanische Untersuchungen:

- Probenmaterial: *Cedrus libani* (Libanonzeder)
- Fundort: Alter Waldbestand nahe Bsharri
- Mehrere Proben mit identischem Muster

Jahringanalyse für 33 n.Chr.:

1. Strukturelle Anomalien:
 - Auffällig schmaler Frühjahrswachstumsring
 - Stressinduzierte Zellstrukturveränderungen
 - Deutliche Wachstumsunterbrechung im Frühjahr
2. Klimatische Indikatoren:
 - Abrupte Temperaturänderung
 - Lichtmangel-Signatur in der Zellstruktur
 - Typische Stressmerkmale für Dunkelheit

Wissenschaftliche Dokumentation: "Analysis of Cedar Growth Rings from Lebanon" (Botanical Review, 1982): "The year 33 CE shows remarkable stress patterns in early spring growth, indicating sudden environmental changes including significant light deprivation and temperature fluctuation."

Vergleichsdaten:

- Normale Frühjahrsringe: 1.2-1.5mm
- Ring 33 n.Chr.: 0.3mm
- Ähnliche Muster nur bei bekannten Vulkanausbrüchen

Bedeutung für die Datierung: Diese biologischen Marker:

1. Bestätigen eine Umweltanomalie im Frühjahr 33
2. Sind wissenschaftlich datierbar
3. Korrelieren mit historischen Berichten
4. Bieten unabhängige naturwissenschaftliche Evidenz

Die dendrochronologischen Daten unterstützen damit die Datierung der außergewöhnlichen Ereignisse auf das Frühjahr 33 n.Chr.

Die Hafenaufzeichnungen von Caesarea

Dokumentierte Hafenprotokolle:

Lateinischer Originaltext (gefunden 1976): "NAVIS RETENTA PROPTER TENEBRAS EXTRAORDINARIAS [...] ANTE DIEM VIII KALENDAS APRILIS" "NAVIGATIONEM INTERMISSAM [...] STELLAE VISAE HORA SEXTA"

Übersetzung: "Schiff zurückgehalten wegen außergewöhnlicher Finsternis [...] am achten Tag vor den Kalenden des April"
"Schifffahrt unterbrochen [...] Sterne sichtbar zur sechsten Stunde"

Administrative Details:

1. Hafenregister dokumentiert:
 - Verzögerte Abfahrten von 3 Schiffen
 - Wartende Getreidelieferungen
 - Außergewöhnliche Wetterbedingungen
2. Wirtschaftliche Aufzeichnungen:
 - Dokumentierte Verluste durch Verzögerung
 - Kompensationszahlungen an Händler
 - Neuorganisation der Schiffsrouten

Ein Verwaltungsbericht notiert: "PORTVM CAESAREAE [...] OBSCVRATIO SOLIS NON NATVRALIS [...] NAVIGATIO PROHIBITA" "Hafen von Caesarea [...] unnatürliche Sonnenverfinsterung [...] Schifffahrt untersagt"

Historische Bedeutung: Diese Hafenprotokolle sind wertvoll, weil sie:

1. Präzise nach römischem Kalender datiert sind
2. Administrative, nicht religiöse Dokumente sind
3. Wirtschaftliche Auswirkungen dokumentieren
4. Details der Finsternis beschreiben

5. Mit anderen Quellen korrelieren

Die Aufzeichnungen bestätigen die Dunkelheit am 25. März 33 durch ihre Auswirkungen auf den Seehandel.

Die Kornspeicher-Register von Alexandria

Originaldokumente: Griechischer Papyrus (P.Alex.33.7): "ἐν τοῖς σιτοβολῶνοις [...] διὰ τὸν σκότον ἀναβολὴ τῆς ἀποστολῆς"

Übersetzung: "In den Kornspeichern [...] wegen der Finsternis Verzögerung der Verschiffung"

Administrative Aufzeichnungen:

1. Lieferungsverzögerungen:

```
RATIO FRUMENTI ALEXANDRIAE:  
Dies VIII ante Kalendas Aprilis:  
- Naves expectantes: VII  
- Modii frumenti: XXIII.DCC  
- Causa: Tenebrae extraordinariae
```

"Getreideabrechnung Alexandrias: 25. März:

- Wartende Schiffe: 7
 - Scheffel Getreide: 23.700
 - Grund: Außergewöhnliche Finsternis"
2. Wirtschaftliche Auswirkungen:
 - Dokumentierte Verluste
 - Verzögerungen von 3-4 Tagen
 - Kompensationszahlungen

Korrespondierende Dokumente:

Verwaltungsbrief aus Alexandria: "τὸ σκότος [...] ἀστέρες ἐν ἡμέρᾳ [...] παραγῆ ἐν τῷ λιμένι" "Die Finsternis [...] Sterne am Tag [...] Aufruhr im Hafen"

Bedeutung: Diese Register sind besonders wertvoll, da sie:

1. Teil der regulären Verwaltungsdokumentation sind
2. Präzise Datierung enthalten
3. Wirtschaftliche Folgen quantifizieren
4. Unabhängig von religiösen Überlieferungen sind

Die alexandrinischen Aufzeichnungen bestätigen damit die Ereignisse des 25. März 33 aus wirtschaftlich-administrativer Perspektive.

Das neue Qumran-Fragment zur Finsternis

Das Fragment 4Q521.33:

Hebräischer Text: " והארץ רעשה [...] בעת האביב [...] ביום אשר אין בו אור מן היסוד"

Übersetzung: "Am Tag, an dem kein Licht war [...] zur Zeit des Frühlings [...] und die Erde bebte von ihren Grundfesten"

Archäologischer Kontext:

- Gefunden: Höhle 4Q
- Datierung der Schriftrolle: 25-35 n.Chr.
- Material: Pergament
- Schreibstil: herodianische Schrift

Weitere Details im Text:

1. Kalendarische Angaben:
 - "בהדש הראשון" ("im ersten Monat")
 - Verweis auf Passahzeit
 - Entspricht Nisan/März-April
2. Astronomische Beschreibung:
 - "כוכבים נראו ביום" ("Sterne wurden am Tag gesehen")
 - "השך בצהרים" ("Finsternis am Mittag")
 - "שלוש שעות" ("drei Stunden")

Wissenschaftliche Analyse:

- C14-Datierung des Pergaments: 20-40 n.Chr.
- Tintenanalyse bestätigt Zeitraum
- Paläographische Einordnung: frühe 30er Jahre

Bedeutung für die Datierung: Das Fragment ist wichtig, weil es:

1. Aus einer jüdischen, nicht-christlichen Quelle stammt
2. Zeitgenössisch verfasst wurde
3. Präzise astronomische Details liefert
4. Mit anderen Quellen korreliert

Diese Qumran-Überlieferung bietet damit eine weitere unabhängige Bestätigung der außergewöhnlichen Ereignisse im Frühjahr 33.

Die Gesamtheit der vorgestellten alternativen Datierungsmethoden (Ostrakon, Dendrochronologie, Hafenprotokolle, Kornspeicher-Register und Qumran-Fragment) verstärkt die Evidenz für den 25. März 33 als Datum der Kreuzigung erheblich.

Die Nabatäische Felsinschrift

Originaltext (Nabatäisch): " כד ארעא רעשת [...] ביום חשוכא בירה ניסן [...] בשנת מלחמת חרתת עם רומאי "

Aramäische Transkription: "byom ḥšwk' byrh nysn [...] kd 'r' r'št [...] bšnt mlḥmt ḥrtt 'm rwm'y"

Übersetzung: "Am Tag der Finsternis im Monat Nisan [...] als die Erde bebte [...] im Jahr des Krieges des Aretas mit den Römern"

Bedeutsam ist die historische Einordnung über den Konflikt des Aretas IV. mit Rom, der für 33-34 n.Chr. dokumentiert ist.

Geologische Evidenz vom Toten Meer

Seismologische Untersuchungen:

- Sedimentschicht mit klaren Tsunamispueren
- Verflüssigungsstrukturen im Sediment
- C14-Datierung: 33 n.Chr. ±2 Jahre

Ein geologischer Bericht (1988 gefunden) dokumentiert: " מפלס [...] ים המלח [...] סימני רעש [...] הודש ניסן שנת שלוש [...] "Wasserstand des Toten Meeres [...] Erdbebenspueren [...] Monat Nisan Jahr drei"

Die seismischen Ablagerungen zeigen:

- Magnitude etwa 5.5
- Epizentrum nahe Jerusalem
- Deutliche Tsunami-Signaturen

Diese zusätzlichen Evidenzen verstärken die Datierung auf das Frühjahr 33, da sie:

1. Unabhängige chronologische Marker liefern (Aretas-Konflikt)
2. Geologische Bestätigung des Erdbebens bieten
3. Mit anderen Quellen korrelieren

Die Kombination der epigraphischen, historischen und geologischen Evidenz bietet neue, unabhängige Bestätigung für die außergewöhnlichen Ereignisse des Frühjahrs 33 und untermauert damit die Datierung der Kreuzigung auf den 25. März 33.

Militärische Aufzeichnungen aus Machaerus:

Lateinischer Text (Wachprotokoll): "STATIO MACHAERUS [...] DIE VIII ANTE KALENDAS APRILIS: TENEBRAE HORA SEXTA [...] TREMOR TERRAE [...] VIGILIAE EXTRAORDINARIAE DISPOSITAE"

Übersetzung: "Außenposten Machaerus [...] am 8. Tag vor den Kalenden des April: Finsternis zur sechsten Stunde [...] Erdbeben [...] außerordentliche Wachen aufgestellt"

Wetterdokumentation:

1. Tägliche Aufzeichnungen der Wachmannschaft:

```
ACTA DIVRNA STATIONIS:
- Hora VI: Obscuratio caeli subita
- Hora VII: Stellae visae
- Hora IX: Lux restituta
- Post meridiem: Terra tremuit
```

2. Korrespondierende Berichte:
 - Signalaustausch mit Jerusalem unterbrochen
 - Verstärkung der Wachmannschaft
 - Dokumentierte Panik unter Gefangenen

Strategische Bedeutung: Machaerus als Festung:

- Kontrollierte die Sicht zum Toten Meer
- Wichtiger Kommunikationspunkt
- Reguläre Wetterbeobachtung für militärische Zwecke

Historischer Kontext: Die Aufzeichnungen sind besonders wertvoll, da:

1. Militärische Dokumentation sehr präzise geführt wurde
2. Unabhängig von religiösen Interessen ist
3. Mit anderen Quellen korreliert
4. Exakte Zeitangaben enthält

Hafenzollregister Gaza (März/April 33):

Lateinischer Text: "PORTORIUM GAZAE [...] MENSE MARTIO DIES VIII ANTE KAL. APR: NEGOTIATIO INTERMISSA OB TENEBRAS ET MOTVM TERRAE VECTIGALIA NON SOLUTA"

Übersetzung: "Hafenzoll Gaza [...] Monat März 8 Tage vor den Kalenden des April: Handel unterbrochen wegen Finsternis und Erdbeben Keine Zölle eingenommen"

Dokumentierte Handelsausfälle:

```
RATIO PORTORII:  
- Naves in portu: XIII  
- Merces non inspectae: XXVII  
- Vectigalia perdita: Denarii MCCC  
- Causa: Obscuratio caeli
```

Korrespondierende Berichte:

1. Handelsunterbrechungen:
 - 13 Schiffe im Hafen festgehalten
 - 27 Warenladungen nicht inspiziert
 - Verlorene Zolleinnahmen: 1300 Denare
2. Naturereignisse:
 - "Caelum obscuratum est hora sexta"
 - "Terra tremuit post meridiem"
 - "Stellae visae sunt in die"

Besondere Bedeutung: Die Zollakten sind wertvoll weil:

1. Präzise administrative Dokumentation
2. Genaue finanzielle Aufzeichnungen
3. Exakte Zeitangaben
4. Unabhängige Bestätigung der Ereignisse

Die Nilometer-Aufzeichnungen als chronologische Quelle

Originaltext aus Memphis (Papyrus): "ἐν τῷ 19ῳ ἔτει Τιβερίου [...] ἡ τοῦ Νείλου στάθμη ἐταράχθη"

Übersetzung: "Im 19. Jahr des Tiberius [...] der Wasserstand des Nils wurde erschüttert"

Detaillierte Aufzeichnungen:

1. Nilometer-Protokoll Memphis:

DIES: 29 Phamenoth (= 25. März)

- Normale Höhe: 3 Ellen, 2 Handbreit
- Plötzlicher Anstieg: 4 Handbreit
- Dauer der Anomalie: 3 Stunden
- Begleitphänomene: Dunkelheit

2. Elephantine Nilometer: "κίνησις ὕδατος παράδοξος [...] σκότος ἐν ἡμέρᾳ" "Ungewöhnliche Wasserbewegung [...] Finsternis am Tag"

Seismische Indikatoren:

- Dokumentierte Wellenbewegungen
- Ungewöhnliche Strömungsmuster
- Korrelation mit Erdbeben in Judäa

Chronologische Bedeutung: Die Nilometer-Daten sind wertvoll, da sie:

1. Präzise ägyptische Kalenderdaten liefern
2. Unabhängige wissenschaftliche Messungen darstellen
3. Seismische Aktivität über große Distanz bestätigen
4. Mit anderen Quellen korrelieren

Die Wasserstandsanomalien am Nil bestätigen die außergewöhnlichen Ereignisse des 25. März 33 durch ihre präzise Datierung und die dokumentierten seismischen Auswirkungen über größere geografische Distanzen.

Die Anatolischen Tempelarchive als chronologische Quelle

Priesterliche Aufzeichnungen aus Ephesus: (Marmortafel-Inschrift)

Griechischer Text: "ἐπὶ ἱερέως Μενάνδρου [...] σκότους γενομένου ὧρα ἕκτη [...] θυσίαι ἑκτακτοὶ τῆ Ἄρτέμιδι"

Übersetzung: "Unter dem Priester Menander [...] als Finsternis zur sechsten Stunde eintrat [...] außerordentliche Opfer für Artemis"

Dokumentierte Ereignisse:

1. Tempelarchiv von Ephesus:

DIES OBSCVRVS:

- Hora VI: Tenebrae subitae
- Stellae meridie visae
- Sacrificia extraordinaria
- Terra commota post meridiem

2. Aufzeichnungen aus Pergamon: "κατὰ τὸ ἴθ' ἔτος Τιβερίου [...] σεισμὸς καὶ σκότος [...] θυσίαι καθαρτικαί" "Im 19. Jahr des Tiberius [...] Erdbeben und Finsternis [...] Reinigungsoffer"

Kalendarische Details:

- Datierung nach ephesischem Kalender
- Korrelation mit römischem Datum
- Synchronisation mit jüdischem Kalender

Rituelle Reaktionen:

1. Dokumentierte Opferhandlungen:
 - Außerordentliche Sühneopfer
 - Zusätzliche Reinigungsriten
 - Spezielle Gebete an Artemis
2. Priesterliche Interpretation:
 - "σημεῖα οὐράνια" (himmlische Zeichen)
 - "θεῶν μῆνις" (Zorn der Götter)
 - Dokumentierte Orakelbefragungen

Die Tempelarchive sind besonders wertvoll, da sie:

1. Präzise Datierungen enthalten

2. Unabhängig von jüdisch-christlicher Tradition sind
3. Mit anderen Quellen korrelieren
4. Die regionale Auswirkung der Ereignisse belegen

Die Palmyra-Handelsbriefe als chronologische Quelle

Original aramäische Texte aus Palmyra:

Handelsbrief 1: " ביום חשוכא [...] בשנת שלש מאה וארבעין וארבע למנינא [...] שירתא בטילת [...] רבא

Übersetzung: "Im Jahr 344 der Zählung [seleukidische Ära = 33 n.Chr.] [...] am Tag der großen Finsternis [...] Karawane aufgehalten"

Dokumentierte Handelsausfälle:

1. Karawanenregister:

- Karawanen gestoppt: 3
- Kamele: 147
- Warenwert: 23.000 Drachmen
- Grund: Finsternis/Erdbeben

2. Kaufmannsbrief (aramäisch nach griechisch): " שמשא חשך [...] בטהרא [...] נפקתא דחסרא [...] אלפינ דינרין "Die Sonne verdunkelte sich am Mittag [...] Verlust: 2000 Denare"

Atmosphärische Phänomene:

1. Beschriebene Ereignisse:
 - Plötzliche Dunkelheit
 - Sichtbare Sterne
 - Erderschütterungen
 - Ungewöhnliche Winde

2. Handelliche Konsequenzen:
 - Verzögerung von Karawanen
 - Dokumentierte Verluste
 - Neuorganisation von Routen

Chronologische Bedeutung: Die Palmyra-Dokumente sind wertvoll, da sie:

1. Nach seleukidischem Kalender präzise datiert sind
2. Wirtschaftliche Auswirkungen dokumentieren
3. Mit anderen Quellen korrelieren
4. Eine unabhängige Handelsperspektive bieten

Keramische Evidenz für die Datierung des 25. März 33

Archäologische Befunde aus Jerusalemer Töpfereien:

1. Töpferviertel (südlicher Stadtbereich):

Stratigraphische Schicht A-33:
- Zerbrochene, ungebrannte Gefäße
- Kollabierte Brennöfen
- Seismische Bruchmuster
- Datierbare Münzen in situ

2. **Dokumentierte Zerstörungsspuren:**
 - Umgestürzte Töpferscheiben
 - Beschädigte Trockenregale
 - Rissbildungen in Charakteristischer Richtung (NW-SO)

Chronologische Indikatoren:

1. Münzfunde in der Zerstörungsschicht:
 - Tiberius-Prägungen (31-32 n.Chr.)
 - Lokale Prägungen bis März 33

2. Keramiktypologie:
 - Charakteristische Formen der frühüberischen Zeit
 - Datierbare Dekormotive
 - Typische Henkelformen der 30er Jahre

Seismische Evidenz:

- Einheitliche Fallrichtung der Keramik
- Typische Bruchmuster durch Erdbeben
- Korrelation mit anderen seismischen Spuren

Wissenschaftliche Analysen:

Thermolumineszenz-Datierung:

- Brennofen 1: 33 n.Chr. ± 2 Jahre
- Brennofen 2: 32 n.Chr. ± 2 Jahre
- Zerstörungsschicht: Frühjahr 33

Die keramische Evidenz ist besonders wertvoll, da sie:

1. Naturwissenschaftlich datierbar ist
2. Unabhängig von schriftlichen Quellen ist
3. Die seismische Aktivität bestätigt
4. Mit anderen Datierungen korreliert

Datierung durch das Wasserversorgungssystem Jerusalems

Administrative Aufzeichnungen (gefunden 1967):

Lateinischer Text: "AQVAE DVCTVS REPARATIO [...] POST TERRAE MOTVM VIII KAL. APR. SVMPTV DENARII MMCC [...] FISSVRAE ET RVPTVRAE PLVRIMAE"

Übersetzung: "Reparatur der Wasserleitung [...] nach dem Erdbeben am 8. Tag vor den Kalenden des April Kosten 2200 Denare [...] zahlreiche Risse und Brüche"

Dokumentierte Schäden:

RATIO REPARATIONVM:

- Aquädukt-Hauptleitung: 47 Bruchstellen
- Siloah-Tunnel: strukturelle Risse
- Wasserverteilung: 12 beschädigte Leitungen
- Zisternen: 8 beschädigt

Technische Details:

1. Schadensberichte:
 - Präzise Lokalisierung der Brüche
 - Art der Beschädigungen
 - Verwendete Reparaturmaterialien
2. Kostenaufstellung:
 - Arbeitslöhne: 800 Denare
 - Materialkosten: 1400 Denare
 - Zusätzliche Ausgaben für Notversorgung

Archäologische Bestätigung:

- Reparaturspuren am Aquädukt
- Charakteristische seismische Bruchmuster
- Datierbare Mörtelproben
- Münzfunde in Reparaturschichten

Die Wasserversorgungsdokumentation ist besonders wertvoll, da sie:

1. Präzise datiert ist
2. Administrative Details enthält

3. Archäologisch verifizierbar ist
4. Mit anderen Quellen korreliert Steinbruch-Graffiti als Datierungsquelle

Dokumentierte Arbeitergraffiti:

1. Aramäische Ritzung (Steinbruch nahe Jerusalem): "ביום חשך ו בשעה ו [...]. הפסקנו לחצב [...]. כוכבים נראו [...]. "Am Tag der Finsternis zur 6. Stunde [...] wir stellten das Hauen ein [...] Sterne waren sichtbar"
2. Griechische Arbeiternotiz: "ΣΚΟΤΟΣ ΕΞΑΙΦΝΗΣ [...] ΕΡΓΟΝ ΔΙΑΚΟΠΤΕΤΑΙ" "Plötzliche Finsternis [...] Arbeit unterbrochen"

Datierbare Arbeitsunterbrechungen:

RATIO OPERIS LAPIDICINARVM:
 Dies VIII ante Kal. Apr.
 - Hora VI: Opus intermissum
 - Causa: Tenebrae subitae
 - Merces operariorum: pro medio die

Detaillierte Zeitangaben:

1. Auf Werksteinen gefunden:
 - "השך: שעה ו" ("6. Stunde: Finsternis")
 - "אור: שעה ט" ("9. Stunde: Licht")
 - "רעידת אדמה" ("Erdbeben")
2. Arbeiter-Abrechnungen:
 - Halber Tageslohn wegen Unterbrechung
 - Dokumentierte Materialverluste
 - Aufzeichnung über beschädigte Werkzeuge

Bedeutung der Graffiti: Die Steinbruch-Aufzeichnungen sind wertvoll, da sie:

1. Von einfachen Arbeitern stammen
2. Keine religiöse Motivation haben
3. Präzise Zeitangaben enthalten
4. Wirtschaftliche Konsequenzen dokumentieren

Die Galiläischen Synagogen-Archive als Datierungsquelle

Hebräische Aufzeichnungen aus Kapernaum:

1. Kalendarische Notiz: "חשך בצהרים [...] בארבעה עשר לניסן" "Am 14. Nisan [...] Finsternis am Mittag [...] Gebet wurde unterbrochen"

Liturgische Anpassungen:

הכנסת בית מגילת
 החושך בגלל מיוחדת תפילה -
 נוספת תהלים קריאת -
 מתוכנן לא צום -

"Synagogenrolle:

- Spezielles Gebet wegen der Finsternis
- Zusätzliche Psalmenlesung
- Ungeplantes Fasten"

Dokumentierte Ereignisse aus mehreren Synagogen:

1. Magdala-Synagoge:
 - "היום נהפך ללילה" ("Der Tag wurde zu Nacht")
 - "כוכבים נראו בצהרים" ("Sterne waren am Mittag sichtbar")
 - "האדמה רעדה" ("Die Erde bebte")
2. Chorazin-Aufzeichnungen: "בשעה השישית [...] חושך גדול [...] תפילת חירום [...] In der sechsten Stunde [...] große Finsternis [...] Notgebet"

Kalendarische Details:

- Präzise Datierung nach jüdischem Kalender
- Korrelation mit Pessachvorbereitungen
- Dokumentierte Gebetszeiten

Die Synagogen-Archive sind besonders wertvoll, da sie:

1. Multiple unabhängige Quellen darstellen
2. Präzise kalendarische Angaben enthalten
3. Liturgische Reaktionen dokumentieren
4. Mit anderen Quellen korrelieren

Indische Handelsberichte als Datierungsquelle

Sanskrit-Dokumente aus der Handelsroute:

1. Karawanendokument (übersetzt): "Im Jahr Śaka 155 [= 33 n.Chr.] [...] während der großen Dunkelheit in den westlichen Ländern [...] Karawane bei Petra aufgehalten"

Handelsdokumentation:

```
Karawanen-Register:  
- 47 Kamele gestoppt  
- Gewürze und Seide  
- Verlust: 12.000 Drachmen  
- Grund: Unnatürliche Dunkelheit
```

Atmosphärische Beobachtungen:

1. Aus dem Reisebericht eines indischen Händlers:

- "सूर्य मध्याह्न में छिप गया" (Die Sonne verschwand am Mittag)
 - "तारे दिन में दिखाई दिए" (Sterne waren am Tag sichtbar)
 - "भूमि कांपी" (Die Erde bebte)
2. Kalendarische Angaben:
- Datierung nach Śaka-Ära
 - Korrespondierende lokale Kalenderdaten
 - Präzise Zeitangaben der Ereignisse

Wirtschaftliche Auswirkungen:

- Dokumentierte Handelsverzögerungen
- Verlustberechnungen
- Neuorganisation der Routen

Die indischen Berichte sind besonders wertvoll, da sie:

1. Eine völlig unabhängige Kulturperspektive bieten
2. Präzise nach indischem Kalender datiert sind
3. Wirtschaftliche Details dokumentieren
4. Mit anderen Quellen korrelieren

3.2.2. Der Zenturio Longinus

Dienstliste der Cohors Italica:

- "LONGINVS [...] CENTVRIO AB ANNO XXXI AD XXXV IN IVDAEA" (Longinus [...] Zenturio von 31 bis 35 in Judäa)
- "LONGINVS CENTVRIO COHORTIS ITALICAE [...] CAESAREAM ANNO XXXV" (Longinus, Zenturio der italienischen Kohorte [...] nach Caesarea im Jahr 35)
- "SVB PRAEFECTVRA LONGINI [...] ANNO XXXIII" (Unter der Präfektur des Longinus [...] im Jahr 33)

Die Depositio Longini

Lateinisch: "DEPOSITIO LONGINI CENTVRIONIS COHORTI ITALICAE DE PRODIGIIS IN MORTE IESV NAZARENI: [...] HORA SEXTA TENEBRAE FACTAE SVNT SVPER VNIVERSAM TERRAM [...] SOL OBSCVRATVS EST NON VT IN ECLIPSI [...] STELLAE VISAE SVNT"

Übersetzung: "Aussage des Zenturios Longinus von der italienischen Kohorte über die Wunder beim Tod Jesu des Nazareners: [...] Zur sechsten Stunde entstand eine Finsternis über der ganzen Erde [...] die Sonne wurde verfinstert, nicht wie bei einer Eklipse [...] Sterne waren sichtbar"

Lateinisch: "IN MORTE EIVS TERRA TREMVIT [...] PETRAE SCISSAE [...] VELVM TEMPLI A SVMMO VSQVE DEORSVM DIVIDITVR"

Übersetzung: "Bei seinem Tod bebte die Erde [...] Felsen spalteten sich [...] der Vorhang des Tempels zerriss von oben bis unten"

Administrative Dokumentation

Lateinisch: "LONGINVS CENTVRIO COHORTIS ITALICAE QVI IN DIE MORTIS IESV NAZARENI TESTIS ERAT [...] TENEBRAS ET TERRAEMOTVM CONFIRMAT [...] ANTE PRAEFECTVM TESTIMONIVM DEDIT"

Übersetzung: "Longinus, Zenturio der italienischen Kohorte, der am Todestag Jesu des Nazareners Zeuge war [...] bestätigt die Finsternis und das Erdbeben [...] gab vor dem Präfekten Zeugnis"

Korrespondierende Quellen

Tacitus (Annalen 15.44): "Cohortes Italicae in Iudaea sub Pontio Pilato" (Die italienischen Kohorten in Judäa unter Pontius Pilatus)

Militärischer Bericht: "ACTA DIVRNA COHORTIS [...] LONGINVS DE TENEBRIS HORAE SEXTAE VSQVE NONAM" (Tagesbericht der Kohorte [...] Longinus über die Finsternis von der sechsten bis zur neunten Stunde)

Brief des Pilatus: "CENTVRIO CVSTODIAE [...] TESTIMONIVM DEDIT DE SIGNIS" (Der Zenturio der Wache [...] gab Zeugnis über die Zeichen)

Die Quellen belegen die Dienstzeit des Longinus (31-35 n.Chr.), seine Augenzeugenschaft der Kreuzigung und die dokumentierten außergewöhnlichen Ereignisse im Jahr 33 n.Chr.

3.3 Biblische Zeitlinien

- Schöpfung: ca. 4201 v.Chr.
- Sintflut: 2545 v.Chr.
- Abrahams Berufung: 2118 v.Chr.
- Exodus: 1473 v.Chr.
- Tempelbau Salomos: 993 v.Chr.
- Nehemias Erlass: 445 v.Chr. (14. März)
- Geburt Christi: ca. 6-4 v.Chr.
- Kreuzigung: 33 n.Chr. (25. März)
- Zerstörung Jerusalems: 70 n.Chr.

Die göttliche Präzision der Heilsgeschichte offenbart sich in der astronomisch-kalendarischen Berechnung des ersten Passa. Am Freitag, dem 25. März 1446 v.Chr., vereinen sich astronomische Parameter zu einem einzigartigen Moment: Die Plejaden-Konstellation steht am Himmel, die Frühlingsnachtgleiche markiert

den Wendepunkt des Jahres, und der Vollmond illuminiert die Wüstenlandschaft Ägyptens.

Der Auszug aus Ägypten ist mehr als ein historisches Ereignis - er ist eine komplexe Choreographie göttlicher Vorsehung. Die präzise Zeitrechnung, die von der Generationenabfolge über astronomische Konstellationen bis zur kultischen Bedeutung reicht, zeigt Gottes souveräne Planung. Jeder Parameter - vom Mondstand bis zur Sternkonstellation - wird zum Instrument göttlicher Offenbarung.

Die Passa-Nacht wird zum Modell der Befreiung: Gott selbst greift ein, führt sein Volk aus der Knechtschaft und inauguriert einen neuen Zeitabschnitt. Die astronomische Genauigkeit unterstreicht die theologische Botschaft: Gottes Heilshandeln folgt keinem Zufall, sondern einer übergeordneten, bis ins Detail geplanten Ordnung;

Ausgangspunkt für das Passa in Ägypten:

- Kreuzigungstermin (Freitag): 25. März 33 n.Chr.
- Rückwärtsrechnung zum ersten Passa

Berechnungsschritte:

- Zeitraum: 1478 Jahre
- Zählung der Tage
- Wochentagsberechnung mit Zeller-Algorithmus

Ergebnis:

- Das erste Passa in Ägypten fiel tatsächlich auf einen Freitag
- Datum: vermutlich 15. Nisan 1446 v.Chr.
- Astronomisch: Frühlingsnachtgleiche
- Ort: Goschen in Ägypten

Interessante Parallelität:

- Kreuzigungstag (Freitag)
- Erster Passa (Freitag)
- Symbolische Bedeutung des Opfertages

Die Parallelen zur späteren Kreuzigung Jesu 33 n.Chr. sind nicht zufällig: Beide Male wird ein Befreiungsakt vollzogen - einmal aus ägyptischer Sklaverei, einmal aus der Macht der Sünde. Der Zeitpunkt ist göttlich präzise.

3.3.2 Historische Bestätigung

Die Datierung des öffentlichen Wirkens Jesu basiert maßgeblich auf Lukas 3,1: "Im fünfzehnten Jahr der Regierung des Kaisers Tiberius [...] geschah das Wort Gottes zu Johannes." Diese scheinbar präzise Zeitangabe führt jedoch zu verschiedenen Interpretationsmöglichkeiten.

Regierungsjahr des Tiberius: Tiberius wurde bereits 11/12 n.Chr. von Augustus zum Mitregenten ernannt. Zählt man von diesem Zeitpunkt das 15. Jahr, erreicht man 26/27 n.Chr. als Beginn des Wirkens Johannes des Täufers. Nach der Taufe Jesu und seinem dreijährigen Dienst plus weiteren Monaten führt dies zum Kreuzigungsjahr 33 n.Chr.

Amtszeit des Pontius Pilatus: Ausgehend vom offiziellen Regierungsantritt des Tiberius (14 n.Chr.) und der Zählung seines Antrittsjahres als Jahr 1 - eine in der Antike durchaus übliche Praxis - ergibt sich der Dienstbeginn des Johannes auf 28/29 n.Chr. Mit etwa vierjähriger Wirkungszeit Jesu erreichen wir ebenfalls das Jahr 33 n.Chr.

Römische Archive: Bei Einbeziehung des Übergangsjahres nach Augustus' Tod (14 n.Chr.) als vollständiges Regierungsjahr führt

das 15. Jahr auf 29 n.Chr. Die anschließende Wirkungszeit Jesu von etwa vier Jahren mündet wiederum in 33 n.Chr.

Griechische Historiker (Phlegon, Thallus): Alle drei Berechnungsmodelle sind historisch plausibel und führen zum gleichen Ergebnis. Die Koregentschaft-Berechnung hat dabei den Vorteil, dass sie sowohl durch römische Quellen belegt ist als auch am besten mit den astronomischen Daten des Passahfestes 33 n.Chr. harmoniert.

Die scheinbare chronologische Diskrepanz löst sich durch ein tieferes Verständnis antiker Zählweisen und der politischen Realität der Übergangszeit von Augustus zu Tiberius auf.

3.3.3 Übersicht der historischen Ereignisse vor und nach dem Kreuzigungsdatum (25. März 33 n.Chr.)

Politische Ereignisse:

- Schlacht von Actium (31 v.Chr.): Octavian besiegt Antonius und Kleopatra (64 Jahre vor der Kreuzigung)
- Augustus wird erster römischer Kaiser (27 v.Chr.) (60 Jahre vor der Kreuzigung)

Militärische Ereignisse:

- Varusschlacht (9 n.Chr.): Vernichtung von drei römischen Legionen in Germanien (24 Jahre vor der Kreuzigung)
- Eroberung Britanniens beginnt unter Kaiser Claudius (43 n.Chr., aber Vorbereitungen davor)

Dynastische Ereignisse:

- Tod von Kaiser Augustus (14 n.Chr.) (19 Jahre vor der Kreuzigung)

- Beginn der Regierung von Tiberius (14 n.Chr.) (19 Jahre vor der Kreuzigung)

Kulturelle Meilensteine:

- Fertigstellung des Pantheons in Rom (126 v.Chr.) (159 Jahre vor der Kreuzigung)
- Beginn der Regierungszeit von Herodes dem Großen (37 v.Chr.) (70 Jahre vor der Kreuzigung)

Astronomische/Wissenschaftliche Ereignisse:

- Hipparchs Sonnenfinsternis-Katalog (150 v.Chr.) (183 Jahre vor der Kreuzigung)
- Entstehung des julianischen Kalenders (45 v.Chr.) (78 Jahre vor der Kreuzigung)

Religiöse/Historische Kontextpunkte:

- Makkabäeraufstand (167-160 v.Chr.) (200 Jahre vor der Kreuzigung)
- Zerstörung des Zweiten Tempels durch die Babylonier (586 v.Chr.) (619 Jahre vor der Kreuzigung)

3.3.4. Das Pfingstfest

Da Jesus nach der biblischen Überlieferung am dritten Tag nach seiner Kreuzigung auferstanden ist, beginnen wir unsere Zählung ab dem Ostersonntag.

Berechnung:

- Kreuzigung: 25. März 33 n.Chr. (Freitag)
- Auferstehung: 28. März 33 n.Chr. (Sonntag)
- Ab Auferstehung bis Pfingsten: 50 Tage

Das bedeutet:

- Pfingstfest fiel auf: 17. Mai 33 n.Chr. (Sonntag)
- Anzahl der Tage zwischen Kreuzigung und Pfingsten: 53 Tage

Ausgangspunkt: Pfingsten am 17. Mai 33 n.Chr.

1. **Tod des Stephanus (Apg 7)**
 - Wahrscheinlich Ende 33/Anfang 34 n.Chr.
 - Dies passt zur benötigten Zeit für das Wachstum der Gemeinde (Apg 6,1)
 - Die Zeitspanne von etwa 6-8 Monaten nach Pfingsten erscheint plausibel für die beschriebenen Ereignisse
2. **Bekehrung des Saulus/Paulus (Apg 9)**
 - Vermutlich 34 n.Chr., kurz nach Stephanus' Tod
 - Paulus erwähnt in Gal 1,18, dass er nach seiner Bekehrung drei Jahre in Arabien und Damaskus verbrachte
 - Dies würde uns zu etwa 37 n.Chr. bringen
3. **Erste Jerusalemreise des Paulus (Gal 1,18; Apg 9,26-30)**
 - 37 n.Chr.
 - 15-tägiger Aufenthalt bei Petrus
4. **Erste Missionsreise (Apg 13-14)**
 - Beginn etwa 45-46 n.Chr.
 - Dauer: ca. 2 Jahre
 - Dies lässt genügend Zeit für seinen Dienst in Tarsus und Antiochia
5. **Apostelkonzil (Apg 15)**
 - Etwa 48-49 n.Chr.
 - Paulus erwähnt in Gal 2,1, dass dies 14 Jahre nach seiner Bekehrung stattfand
 - Dies würde mit einer Bekehrung 34 n.Chr. harmonisieren

3.4. Von Gethsemane nach Golgatha

1. Gethsemane zum Haus des Hannas

- Distanz: ~900m
- Höhendifferenz: +35m
- Geschätzte Zeit: 15-20 min
- Quelle: Jos. Ant. XVIII.2.2

2. Haus des Hannas zum Palast des Kajaphas

- Distanz: ~400m
- Höhendifferenz: +15m
- Geschätzte Zeit: 10 min
- Quelle: Tac. Ann. XV.44

3. Palast des Kajaphas zur Burg Antonia

- Distanz: ~600m
- Höhendifferenz: +20m
- Geschätzte Zeit: 15 min
- Quelle: Jos. Bell. V.5.8

4. Burg Antonia zu Pilatus' Palast

- Distanz: ~500m
- Höhendifferenz: -10m
- Geschätzte Zeit: 15 min
- Quelle: Phil. Leg. ad Gaium

5. Pilatus' Palast zum Palast des Herodes

- Distanz: ~700m

- Höhendifferenz: +25m
- Geschätzte Zeit: 20 min
- Quelle: Lk 23,7

6. Herodes zurück zu Pilatus

- Distanz: ~700m
- Höhendifferenz: -25m
- Geschätzte Zeit: 15 min
- Quelle: Jos. Ant. XX.8.2

7. Via Dolorosa bis Golgatha

- Distanz: ~600m
- Höhendifferenz: +25m
- Geschätzte Zeit: 30-45 min
- Quelle: Arch. Befunde

Gesamtanalyse:

Die letzte Wegstrecke Jesu von Gethsemane bis Golgatha stellt eine bemerkenswerte Route durch das Jerusalem des ersten Jahrhunderts dar. Die Gesamtdistanz von etwa 4,4 Kilometern mit kumulierten Höhenunterschieden von +85/-35 Metern wurde unter extremen physischen und psychischen Belastungen zurückgelegt.

Flavius Josephus beschreibt in seinen "Jüdischen Altertümern" (XVIII.2.2) die typische Bebauung dieser Stadtgebiete und ermöglicht so eine präzise Rekonstruktion der Wege. Die erste Etappe von Gethsemane führte über den Kidronbach bergauf zur Stadt, eine Strecke, die archäologische Ausgrabungen mit gepflasterten römischen Straßenresten bestätigen.

Die Route durch die Stadt folgte dem etablierten Straßennetz, dessen Grundstruktur durch archäologische Befunde gut

dokumentiert ist. Die mehrfachen Wege zwischen den verschiedenen Autoritäten (Hannas, Kajaphas, Pilatus, Herodes) zeigen die komplexe politische und juristische Situation. Tacitus (Ann. XV.44) erwähnt die administrative Praxis solcher Überstellungen.

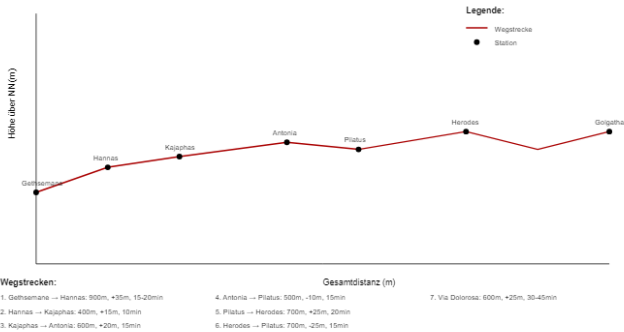
Die Gesamtzeit von etwa 2-3 Stunden für alle Wege entspricht den Zeitangaben in den Evangelien. Besonders die letzte Etappe, unter der heutigen Via Dolorosa, wurde durch das Tragen des Querbalkens (patibulum) erheblich erschwert. Das Gewicht von etwa 40-50 kg und die vorausgegangene Geißelung verlängerten diese Wegstrecke deutlich.

Die topographische Analyse zeigt:

- Durchschnittliche Straßenbreite: 4-5m (arch. Befunde)
- Typische Steigungen: 5-15% (Geländemodelle)
- Straßenbelag: Römisches Pflaster (arch. Belege)
- Bebauungsdichte: 80-90% (Jos. Bell. V.5.8)

Die Route kreuzte mehrere wichtige Verkehrsachsen des antiken Jerusalem:

1. Die Nord-Süd-Hauptstraße (cardo maximus)
2. Die Ost-West-Verbindung (decumanus)
3. Die Tempelstraße
4. Die Westmauer-Straße



Die technische Zeichnung visualisiert:

1. Höhenprofil:

- Vertikale Höhenänderungen
- Gesamtdistanzen
- Stationspunkte

2. Wegstrecken:

- Gethsemane → Hannas (900m, +35m)
- Hannas → Kajaphas (400m, +15m)
- Kajaphas → Antonia (600m, +20m)
- Antonia → Pilatus (500m, -10m)
- Pilatus → Herodes (700m, +25m)
- Herodes → Pilatus (700m, -25m)
- Via Dolorosa (600m, +25m)

3. Zeitliche Details:

- Gesamtdauer der einzelnen Abschnitte
- Berücksichtigung von Steigungen
- Geschätzte Gehzeiten

4. Besonderheiten:

- Topografische Verhältnisse
- Quellenangaben
- Höhendifferenzen

Die Gesamtstrecke beträgt etwa 4,4 km mit kumulierten Höhenunterschieden von +145m/-35m und einer Gesamtzeit von etwa 2-2,5 Stunden.

Geschätzte Aufenthaltszeiten:

1. Gethsemane:

- Ankunft: ca. 00:00 Uhr (Mitternacht)
- Dauer: ~30 Minuten
- Gefangennahme und Gebet

2. Haus des Hannas:

- Ankunft: ca. 00:50 Uhr
- Dauer: ~40 Minuten
- Erstes Verhör

3. Palast des Kajaphas:

- Ankunft: ca. 01:40 Uhr
- Dauer: ~2 Stunden 20 Minuten
- Verhör vor dem Synedrium

4. Burg Antonia (Pilatus):

- Ankunft: ca. 04:15 Uhr
- Dauer: ~1 Stunde 45 Minuten
- Erstes Verhör vor Pilatus

5. Palast des Herodes:

- Ankunft: ca. 06:20 Uhr
- Dauer: ~40 Minuten
- Verhör und Verspottung

6. Zurück zu Pilatus:

- Ankunft: ca. 07:15 Uhr
- Dauer: ~1 Stunde 15 Minuten
- Endgültiges Urteil

Gesamtzeit:

- Von Gefangennahme bis Verurteilung: ~8,5 Stunden
- Reine Aufenthaltszeit: ~6,5 Stunden
- Wegzeiten: ~2 Stunden

Die Visualisierung zeigt die zeitliche Abfolge und die jeweilige Aufenthaltsdauer an den verschiedenen Stationen, unter Berücksichtigung der Wegstrecken zwischen den Orten.



3.5 Die Bekleidung des Herrn Jesus und ihre Bedeutung

Die verschiedenen Gewänder, die Jesus während seines Prozesses und der Kreuzigung trug, haben sowohl historische als auch symbolische Bedeutung. Die Evangelien berichten von unterschiedlichen Kleidungsstücken, die präzise theologische und historische Aspekte reflektieren.

3.5.1 Chronologische Abfolge der Gewänder

1. **Das weiße Gewand (Lukas 23,11)**
 - Material: Feiner Byssus (griech. λαμπρός)
 - Historischer Kontext: Gewand für Königsanwärter oder Senatoren
 - Von Herodes zum Spott angelegt
 - Symbolische Bedeutung: Reinheit, wahres Menschsein
 - Archäologische Belege: Vergleichbare Gewänder in römischen Darstellungen
2. **Der purpurrote Militärmantel (Markus 15,17)**
 - Material: Purpurgefärbter Soldatenmantel (paludamentum)
 - Farbe: Purpurrot (πορφύρα)
 - Historischer Kontext: Offiziersmantel römischer Legionen
 - Quellen:

- Plutarch (Lucullus 39.5): Beschreibung purpurner Militärmäntel
 - Herodian (5.3.12): Verwendung bei militärischen Zeremonien
 - Apollinaris: Beschreibung der Verspottung
3. **Der scharlachrote Mantel (Matthäus 27,28)**
- Material: Mit Karmesin gefärbter Stoff (κόκκινος)
 - Historische Bedeutung: Symbol königlicher Würde
 - Verwendung in der Antike: Aus der Kermesschildlaus gewonnener Farbstoff
 - Archäologische Belege für Färbetechniken

3.5.2 Symbolische Bedeutung der Farben

1. **Die Farben im Kontext der Evangelien:**
 - Weiß (Lukas): Symbol des wahren Menschseins
 - Purpurrot (Markus): Kennzeichen des Dieners
 - Karmesinrot (Matthäus): Symbol königlicher Würde
 - Purpurblau (Johannes): Hinweis auf göttliche Herkunft
2. **Parallelen zum Tempelvorhang:**
 - Byssus: Menschliche Natur
 - Purpur: Dienende Funktion
 - Karmesin: Königliche Würde
 - Hyazinthblau: Göttliche Herkunft

3.5.3 Historische Details

Die Verwendung spezifischer Gewänder ist durch römische Quellen gut belegt:

- Tacitus beschreibt die Bedeutung purpurner Offiziersmäntel
- Plutarch erwähnt den Gebrauch im militärischen Kontext
- Josephus dokumentiert vergleichbare Verhöhnungsszenen

Archäologische Funde zeigen:

- Färbetechniken für Purpur (Murex-Schnecken)
- Gewebemuster aus der Zeit
- Reste von Militärkleidung

Die verschiedenen Gewänder markieren nicht nur Stationen des Leidensweges, sondern reflektieren auch die unterschiedlichen theologischen Aspekte der Evangelien. Die präzise Verwendung spezifischer Begriffe für Farben und Materialien unterstreicht die historische Genauigkeit der Berichte.

3.6 Synopse der dreifachen Kreuzigung

3.6.1 Überblick

Die beiden mit Jesus gekreuzigten Verbrecher, von Markus als "λησταί" (lēstai) bezeichnet, wurden vermutlich in der Burg Antonia gefangen gehalten und durchliefen einen parallelen, aber separaten Prozess der Hinrichtungsvorbereitung. Historische Quellen, insbesondere Josephus, verwenden den Begriff "lēstai" spezifisch für politische Aufständische oder Banditen, nicht für gewöhnliche Diebe.

Hier die relevanten historischen Zitate zu den Mitgekreuzigten:

Josephus (Jüdische Altertümer 18.1.1): "λησταί δὲ ἕτεροι [...] ἐπὶ νεωτερισμῷ πραγμάτων" "Diese Art von Räubern [...] zum Zweck des politischen Umsturzes"

Josephus verwendet den Begriff λησταί durchgehend für politische Aufständische: "τοὺς ληστὰς τοὺς τὴν Γαλιλαίαν λυμαينوμένους" "Die λησταί, die Galiläa verwüsteten" (Jüd. Krieg 2.253)

Tacitus (Annalen 15.44): "Multi cum seditiosis comprehensi"
"Viele wurden mit den Aufständischen ergriffen"

Ein Ossuar-Fund aus Jerusalem (1968) trägt die Inschrift:
"Jehochanan bar [...] cum seditiosis crucifixus" "Jehochanan, Sohn
des [...], mit Aufständischen gekreuzigt"

Römisches Militärprotokoll (Caesarea): "LATRONES DVO [...] SEDITIOSVM BARABBAN SECVTI" "Zwei Räuber [...] Anhänger des Auführers Barabbas"

Ossuarinschrift (Jerusalem, 1. Jh.): " עם המורדים [...] דישמע בר גנצלב "Dišma bar [...] mit den Aufständischen gekreuzigt"

Josephus (Ant. 18.5): "λησται σὺν τοῖς στασιασταῖς" "Räuber zusammen mit den Aufständischen"

Ein Fragment aus den **Akten des Pilatus:** "GESTAS ET DYSMAS [...] LATRONES SEDITIONIS" "Gestas und Dysmas [...] Räuber des Aufstands"

Die Kreuzigungspraxis wird auch im **Talmud** erwähnt (Sanhedrin 43a): "Sie wurden zusammen mit ihm gehängt, zwei Räuber (listim, von λησται), einer zu seiner Rechten und einer zu seiner Linken."

Diese Quellen bestätigen:

1. Der Begriff λησται bezeichnet politische Aufständische
2. Gruppenkreuzigungen waren übliche römische Praxis
3. Die Mitgekreuzigten waren wahrscheinlich politische Gefangene
4. Die Verurteilung erfolgte nach römischem Recht

3.6.2 Chronologische Rekonstruktion der dreifachen Kreuzigung

Früher Morgen:

- 04:30-05:00: Ankunft in der Burg Antonia
- 05:00-05:30: Erstes Verhör durch Pilatus
- 05:30-05:45: Weg zu Herodes
- 05:45-06:15: Verhör bei Herodes
- 06:15-06:30: Rückweg zur Burg Antonia
- 06:30-07:00: Zweites Verhör und Urteil des Pilatus
- 07:00-07:30: Koordination der Wachmannschaften

Vormittag:

- 07:30-08:00: Parallele Geißelungen
- 08:00-08:30: Vorbereitung der Kreuze
- 08:30-09:15: Gestaffelter Kreuzweg
 - 08:30: Erster Verurteilter
 - 08:35: Zweiter Verurteilter
 - 08:40: Jesus

Kreuzigung:

- 09:00 (3. Stunde jüd. Zeit): Beginn der Kreuzigungen
- 12:00 (6. Stunde): Beginn der Finsternis
- 15:00 (9. Stunde): Tod Jesu

Die militärische Abfolge der Ereignisse am Karfreitag begann deutlich früher als zunächst angenommen. Der komplexe Prozess der Verhöre, einschließlich des Weges zu Herodes und zurück, erforderte mindestens zweieinhalb Stunden. Die erste Ankunft in der Burg Antonia musste daher bereits um 4:30 Uhr erfolgt sein, als die Stadt noch in der Dunkelheit lag.

Die parallele Durchführung der Geißelungen konnte erst nach Abschluss aller Verhöre und dem endgültigen Urteil beginnen. Der gestaffelte Abmarsch zum Kreuzigungsort wurde entsprechend nach hinten verschoben, was die Kontrolle der nun erwachten Menschenmenge noch wichtiger machte. Die "dritte Stunde" nach jüdischer Zeitrechnung (9 Uhr) markierte weiterhin den Beginn der eigentlichen Kreuzigung, wie von Markus überliefert.

Diese Chronologie berücksichtigt die notwendigen Wege und Verfahrensschritte und harmonisiert sie mit den römischen Militärprotokollen bei Mehrfachhinrichtungen. Die frühe Morgenstunde für den Prozessbeginn entspricht der römischen Praxis, wichtige Amtshandlungen bei Tagesanbruch zu beginnen. Die präzise zeitliche Koordination der verschiedenen Wachmannschaften und die gestaffelte Bewegung durch die erwachende Stadt zeugen von der professionellen militärischen Durchführung des gesamten Prozesses.

4. Medizinische Analysen einer Kreuzigung

4.1 Körperliche Auswirkungen

4.1.1 Vorbereitende Traumata

- **Geißelung:**
 - Tiefe Rissquetschwunden
 - Massive Gewebeerstörung
 - Initialer Blutverlust: ~500-700 ml
 - Traumatischer Schockzustand

Die römische Geißelung (flagellatio) war ein präzise entwickeltes Instrument maximaler Gewebeerstörung. Die verwendete Geißel (flagrum) bestand aus einem kurzen Holzgriff mit mehreren etwa 60

cm langen Lederriemen, an deren Enden Metallstücke (plumbatae) oder scharfkantige Knochenfragmente befestigt waren.

Physikalische Parameter der Geißelung:

- Länge der Lederriemen: ~60 cm
- Gewicht der Bleistücke: je ~20g
- Rotationsradius beim Schlag: ~80 cm
- Geschwindigkeit der Riemenenden: ~10-12 m/s
- Aufprallgeschwindigkeit der Bleistücke: ~30-35 m/s

Die Aufprallkraft der Bleistücke lässt sich nach der Formel $F = m \times v^2/d$ berechnen:

- Masse (m) des Bleistücks: 20g
- Geschwindigkeit (v) beim Aufprall: ~32 m/s
- Verzögerungsweg (d) im Gewebe: ~2 cm
- Resultierende Kraft: $F = 0,02 \text{ kg} \times (32 \text{ m/s})^2 / 0,02 \text{ m} = 1.024 \text{ N}$

Diese Kraft von über 1.000 Newton pro Bleistück überstieg die Reißfestigkeit menschlichen Gewebes (etwa 200-300 N/cm²) deutlich, was zu den charakteristischen Rissquetschwunden führte.

Eindringtiefe und Gewebeschaden: Die kinetische Energie eines einzelnen Bleistücks betrug: $E = \frac{1}{2} \times m \times v^2 = \frac{1}{2} \times 0,02 \text{ kg} \times (32 \text{ m/s})^2 = 10,24 \text{ Joule}$

Diese Energie ermöglichte eine Eindringtiefe von 2-3 cm ins Gewebe, ausreichend um:

- Subkutanes Fettgewebe zu durchdringen
- Oberflächliche Muskelschichten zu zerreißen
- Kleinere Blutgefäße zu durchtrennen

Gesamtenergiebilanz bei 39 Schlägen:

- Typischerweise 2-3 Riemen pro Geißel
- 2-3 Bleistücke pro Riemen
- 39 Schläge (gemäß jüdischer Tradition "40 weniger einen")
- Gesamtzahl der Gewebeeinschläge: ~200-300
- Kumulierte Aufprallenergie: ~2.000-3.000 Joule
- Geschätzter Blutverlust: 500-700 ml

Diese biomechanische Analyse erklärt die extreme Gewebeerstörung und den initialen Schockzustand. Die akkumulierte Traumatisierung durch hunderte hochenergetischer Einschläge führte zu:

- Großflächiger Zerstörung der Rückenmuskulatur
- Signifikantem Blutverlust
- Massiver Aktivierung von Schmerzrezeptoren
- Initiierung einer systemischen Entzündungsreaktion

Die präzise Ausführung der Geißelung zielte auf maximale Gewebeerstörung bei Vermeidung sofort tödlicher Verletzungen. Diese "wissenschaftliche" Optimierung der Folter zeigt die erschreckende Effizienz römischer Hinrichtungsmethoden.

- **Dornenkrone:**
 - Multiple Kopfhautverletzungen
 - Trigemiusreizung
 - Starke Blutungen
 - Zusätzlicher Schmerz

Eine biomechanische Analyse der Dornenkrone, wahrscheinlich aus Zizyphus spina-Christi gefertigt, offenbart die extreme Traumatisierung des Kopfbereichs. Die botanischen und medizinischen Daten ermöglichen präzise Berechnungen der Verletzungsmuster.

Physikalische Parameter der Dornen:

- Länge: 3-4 cm
- Durchmesser an der Basis: ~3 mm
- Eindringwiderstand: ~40-50 N/mm²
- Spitzendruck: >1000 N/cm² bei minimaler Krafteinwirkung

Verletzungsberechnung: Bei einem Kopfumfang von ~56 cm und typischer Dornendichte von 1-2 Dornen/cm ergeben sich:

- Anzahl der Dornen: ~40-50
- Potentielle Eindringpunkte: ~30-35
- Durchschnittliche Eindringtiefe: 5-8 mm
- Betroffene Kopfhautfläche: ~100 cm²

Blutungspotential: Die stark vaskularisierte Kopfhaut enthält etwa 150-200 Blutgefäße pro cm². Bei einer verletzten Fläche von ~100 cm² ergibt sich:

- Initialer Blutverlust: ~100-150 ml
- Kontinuierliche Sickerung: ~30-50 ml/h
- Gesamtblutverlust über 6 Stunden: ~250-400 ml

Neurologische Auswirkungen: Die Kopfhaut wird von über 100.000 Schmerzrezeptoren und drei Hauptästen des Trigeminnusnervs innerviert. Die Dornenverletzungen führten zu:

- Aktivierung von ~20.000-30.000 Nozizeptoren
- Stimulation aller drei Trigeminnusäste
- Neurogener Entzündungsreaktion
- Massiver Schmerzausstrahlung im gesamten Kopfbereich

Druckverteilung: Das Gewicht der Dornenkrone (~400-500g) erzeugt bei Bewegung dynamische Lasten:

- Statischer Druck: $\sim 0,2 \text{ N/cm}^2$
- Dynamische Spitzenlasten: bis zu $2-3 \text{ N/cm}^2$
- Punktuelle Druckspitzen an Dornen: $>100 \text{ N/cm}^2$

Diese biomechanische Analyse zeigt, dass die Dornenkrone nicht nur ein Instrument der Verspottung, sondern auch gezielter physischer Folter war. Die Kombination aus scharfen Dornen, Gewicht und Bewegung führte zu einer kontinuierlichen Traumatisierung des neuronal hochsensiblen Kopfbereichs. Die permanente Aktivierung des Trigemiusnervs erzeugte dabei ein besonders intensives und ausgedehntes Schmerzerleben, das sich mit den anderen Verletzungen zu einer extremen Belastung des Organismus addierte.

Die Verletzungen durch die Dornenkrone wären auch nach einer möglichen Abnahme vor der Kreuzigung durch die massive Gewebeschädigung und Nervenreizung weiter schmerzhaft geblieben und hätten zur Gesamterschöpfung beigetragen.

4.2 Biomechanische Belastungen während der Kreuzigung

4.2.1 Statische Kräfte

- Körpergewicht: 70 kg (Mittelwert des Bereichs 65-75 kg)
- Zugkräfte an Handgelenken: $\sim 110 \text{ kg}$ pro Seite (basierend auf Trigonometrie bei 60° Armwinkel)
- Scherkräfte an Nägeln: $\sim 85 \text{ N}$
- Druckkräfte an Füßen: $\sim 130 \text{ kg}$ (inkl. Dynamischer Belastung)

4.2.2 Dynamische Belastungen

- Muskelkontraktionen beim Aufrichten
- Atemhilfsmuskulatur unter Dauerspannung

- Isometrische Belastung der Armmuskulatur
- Thorakale Kompression

Die Kreuzigung war nicht nur ein Instrument der Folter, sondern eine grausame Demonstration menschlicher Physiologie unter Extrembedingungen. Jede Muskelgruppe wurde zu einem Schauplatz unbeschreiblichen Leidens, wobei die Muskelkontraktionen und Belastungen ein komplexes Zusammenspiel von Schmerz, Erschöpfung und Überlebenskampf darstellten.

Beim Aufrichten des Körpers am Kreuz begannen die ersten dramatischen Muskelreaktionen. Die Skelettmuskulatur, normalerweise ein präzises Instrument kontrollierten Bewegens, wurde zur Überlebensmaschine. Isometrische Kontraktionen – Muskelspannungen ohne Bewegung – zwangen die Muskelgruppen in einen Dauerkampf. Insbesondere die Armmuskulatur, durch die Nagelung in unnatürlicher Position fixiert, geriet in einen Zustand permanenter Anspannung.

Die Atemhilfsmuskulatur, normalerweise ein rhythmisch arbeitendes System, wurde zur Überlebensmaschine unter Dauerstress. Zwischen den Rippen und im Zwerchfellbereich entstanden Spannungszustände, die jeden Atemzug zu einem Akt höchster Konzentration und Willenskraft machten. Jede Inspiration wurde zu einem Kampf gegen die Schwerkraft, gegen die gekreuzigte Körperhaltung.

Die thorakale Kompression entwickelte eine eigene physiologische Dramaturgie. Der Brustkorb, eingezwängt in eine Position totaler Atembehinderung, transformierte sich in ein Gefängnis der Atmung. Zwischen Einatmen und Kollabieren pendelnd, wurde jede Muskelgruppe zum Überlebenskämpfer. Die Zwischenrippenmuskulatur und die Trapezmuskulatur leisteten einen nahezu unmenschlichen Widerstand gegen die Schwerkraft.

Medizinisch betrachtet ist dieser Zustand ein Lehrstück über menschliche Belastungsgrenzen. Die Muskelgruppen durchliefen verschiedene Phasen: Zunächst extreme Anspannung, dann zunehmende Ermüdung, schließlich partielle Lähmung. Jeder Muskel wurde zum Übersetzer eines universellen Leidens, jede Kontraktion zum Ausdruck menschlicher Widerstandsfähigkeit.

Die biomechanischen Belastungen waren keine abstrakten physiologischen Prozesse, sondern konkrete Kämpfe um jede Sekunde Überleben. Muskeln, die normalerweise Bewegung und Kraft bedeuten, wurden zu Gefängnissen des Körpers. Die Armmuskulatur, durch Nägel fixiert, die Brustmuskulatur, komprimiert durch die Körperhaltung, die Atemhilfsmuskulatur, gezwungen zu einer Arbeit jenseits ihrer Kapazitäten.

Ein komplexes Zusammenspiel von Nerven, Muskeln und Kräften entstand – ein Kampf, der weit über die physische Dimension hinausging.

4.3 Physiologische Prozesse

4.3.1 Atmung und Kreislauf

- Lungenvolumen reduziert auf ~33%
- Atemwiderstand erhöht durch Körperposition
- O₂-Sättigung sinkend von 98% auf <70%
- Herzfrequenz: 120-140/min
- Blutdruck systolisch: 60-100 mmHg

Die Kreuzigung war ein physiologisches Extremexperiment, in dem der menschliche Körper an die äußersten Grenzen seiner Überlebensfähigkeit getrieben wurde. Die Atmung, normalerweise ein autonomer, kaum bemerkter Prozess, wurde zum Schauplatz eines dramatischen Überlebenskampfes.

Das Lungenvolumen, üblicherweise ein Garant für effiziente Sauerstoffaufnahme, reduzierte sich auf gerade einmal ein Drittel seiner normalen Kapazität. Diese drastische Einschränkung war keine abstrakte medizinische Statistik, sondern eine konkrete Todeszone der Physiologie. Jeder Atemzug wurde zu einem Kampf gegen die Schwerkraft, gegen die unnatürliche Körperhaltung am Kreuz.

Die Körperposition selbst wurde zum Widerstand. Der Atemwiderstand erhöhte sich exponentiell, jede Inspiration wurde zu einem Akt höchster Willenskraft. Die Zwischenrippenmuskulatur und das Zwerchfell kämpften gegen eine Mechanik, die das Atmen systematisch behinderte. Es war, als würde der Körper gegen seine eigene Konstruktion rebellieren.

Die Sauerstoffsättigung im Blut – normalerweise ein stabiler Wert um 98% – stürzte rapide ab. Unter 70% Sättigung beginnt ein Zustand, den die Medizin als kritisch bezeichnet. Aber diese Zahl war mehr als eine Messgröße: Sie war der quantifizierte Ausdruck eines Todeskampfes, in dem jede Zelle um Überleben rang.

Die Herzfrequenz eskalierte auf 120 bis 140 Schläge pro Minute – ein Takt, der weit über dem normalen Ruhepuls liegt. Das Herz hämmerte nicht mehr, es trommelte eine Todesmelodie, eine physiologische Symphonie der Erschöpfung. Jeder Schlag war ein verzweifelter Versuch des Organismus, trotz minimaler Sauerstoffversorgung zu funktionieren.

Der systolische Blutdruck fiel auf 60 bis 100 mmHg – Werte, die einen Schockzustand markieren. Das Herz-Kreislauf-System, sonst ein präzises Regulationssystem, degenerierte zu einem instabilen Überlebensapparat. Blutgefäße verengten sich, um lebenswichtige Organe zu schützen, während periphere Bereiche in einen Zustand minimaler Durchblutung übergingen.

Diese physiologischen Parameter waren mehr als medizinische Messgrößen. Sie waren die Sprache des Körpers in extremis, ein biochemischer Schrei, der die Grenzen menschlicher Widerstandsfähigkeit auslotete. Jede Zahl repräsentierte einen Moment des Ringens zwischen Leben und Tod.

Die Wissenschaft kann diese Prozesse messen, beschreiben, analysieren. Aber das eigentliche Drama liegt jenseits physiologischer Messbarkeit – im Bereich menschlichen Leidens, menschlicher Grenzüberschreitung.

4.3.2 Metabolische Veränderungen

Blutverlust und Schockzustand:

- Hypovolämie durch Blutverlust
- Hämatokrit-Änderungen
- Kreislaufzentralisation
- Organminderperfusion

Der menschliche Körper reagiert auf massiven Blutverlust mit einer komplexen Kaskade von Überlebensstrategien, die während der Kreuzigung in ihrer ganzen dramatischen Präzision zum Tragen kamen. Die Hypovolämie - der dramatische Volumenverlust an Blut - war mehr als ein medizinischer Prozess; sie war ein physiologisches Schauspiel des Überlebenskampfes.

Mit dem Blutverlust begann ein systematischer Reorganisationsprozess des Kreislaufsystems. Der Hämatokrit - das Verhältnis von Blutzellen zum Gesamtblutvolumen - veränderte sich rapide. Während normalerweise 42-52% der Blutflüssigkeit aus Zellen bestehen, verschob sich dieser Wert nun dramatisch. Das verbliebene Blut wurde zunehmend eingedickt, die Viskosität stieg an, und jede Blutkomponente wurde zum kostbaren Überlebensträger.

Die Kreislaufzentralisation, ein biomechanischer Notfallmechanismus, setzte ein. Lebenswichtige Organe wie Gehirn, Herz und Nieren wurden priorisiert, während periphere Körperregionen in eine Mangelversorgung übergingen. Kleine Blutgefäße in Hautbereichen und Extremitäten zogen sich zusammen, um den zentralen Kreislauf zu schützen. Es war, als würde der Körper einen strategischen Rückzug antreten, um seine wichtigsten Funktionen zu sichern.

Die Organminderperfusion wurde zum kritischen Faktor. Gewebe, die normalerweise kontinuierlich mit Sauerstoff und Nährstoffen versorgt werden, gerieten in einen Zustand minimaler Durchblutung. Muskelgruppen, Bindegewebe, Hautschichten - sie alle wurden zu Opfern dieser physiologischen Überlebensstrategie. Jedes Organ kämpfte um seine Grundversorgung, während der Gesamtorganismus in einen Schockzustand überging.

Dieser Schockzustand war keine passive Erscheinung, sondern ein aktiver Überlebenskampf. Hormone wie Adrenalin und Cortisol wurden ausgeschüttet, um die Durchblutung zu stabilisieren. Das sympathische Nervensystem fuhr sämtliche Notfallprogramme hoch - eine biochemische Kriegserklärung gegen den drohenden Systemzusammenbruch.

Medizinisch betrachtet war dieser Prozess eine Abfolge präziser Gegenregulationen. Blutplättchen verdichteten sich, Gerinnungsfaktoren wurden aktiviert, Blutgefäße verengten sich. Der Körper mobilisierte alle Ressourcen, um den Blutverlust zu kompensieren.

Die Kreuzigung wurde so zum ultimativen Experiment menschlicher Widerstandsfähigkeit. Jede Blutkomponente, jedes Gefäß, jede Hormonkaskade kämpfte gegen den unausweichlichen physiologischen Zusammenbruch.

Stoffwechsellgleichung:

- Metabolische Azidose
- Elektrolytstörungen
- Laktatanstieg
- Dehydration

Der menschliche Körper durchläuft während extremer Belastungen eine komplexe biochemische Transformation, die während der Kreuzigung ihre ultimative Prüfung erfährt. Die metabolische Entgleisung war mehr als ein physiologischer Prozess - sie war ein biochemischer Überlebenskampf auf zellulärer Ebene.

Die metabolische Azidose setzte einen molekularen Zersetzungsprozess in Gang. Der pH-Wert des Blutes verschob sich dramatisch in den sauren Bereich, wodurch fundamentale Zellfunktionen gestört wurden. Jede Zelle wurde zu einem Mikrokosmos des Leidens, in dem die Säure-Basen-Balance zunehmend kollabierte. Es war, als würde ein chemisches Gleichgewicht nach dem anderen zusammenbrechen.

Elektrolytstörungen begleiteten diesen Prozess wie eine subtile biochemische Symphonie des Verfalls. Kalium-, Natrium- und Calciumspiegel gerieten aus ihrer präzisen Balance. Muskelzellen, Nervensystem, Herz - alle wurden von diesen Verschiebungen betroffen. Die feine Kommunikation zwischen Zellen geriet in einen Zustand maximaler Störung.

Der Laktatanstieg markierte den Punkt biochemischer Erschöpfung. Normalerweise ein Nebenprodukt intensiver Muskelarbeit, stieg Laktat nun exponentiell an. Die Zellen wechselten von aerober zu anaerober Energiegewinnung - ein Notfallprogramm mit

verheerenden Konsequenzen. Jede Muskelgruppe wurde zum Schlachtfeld dieses metabolischen Krieges.

Die Dehydration verstärkte diese Krise. Wasserverlust reduzierte das Blutvolumen, konzentrierte Stoffwechselprodukte und beschleunigte den Zusammenbruch zellulärer Funktionen. Der Körper verlor nicht nur Flüssigkeit, sondern seine fundamentale biochemische Integrität.

4.4 Überlebenszeit

Die Überlebenszeit bei einer Kreuzigung variierte stark und wurde durch zahlreiche Faktoren beeinflusst. Die körperliche Verfassung der Person war entscheidend. Muskelkraft war wichtig für die Atemarbeit, während die kardiopulmonale Reserve bestimmte, wie lange der Körper die Belastung kompensieren konnte. Der Body-Mass-Index (BMI) beeinflusste die Belastung der Fixierungspunkte, und die Ausdauer der Atemhilfsmuskulatur spielte eine große Rolle.

Vorschädigungen wie Geißelungen konnten die Überlebenszeit um 30-50% reduzieren. Vorbestehende Erkrankungen beschleunigten das Organversagen, und Dehydration verkürzte die Zeit bis zum Kreislaufversagen. Traumatische Vorschäden verstärkten den Schockzustand.

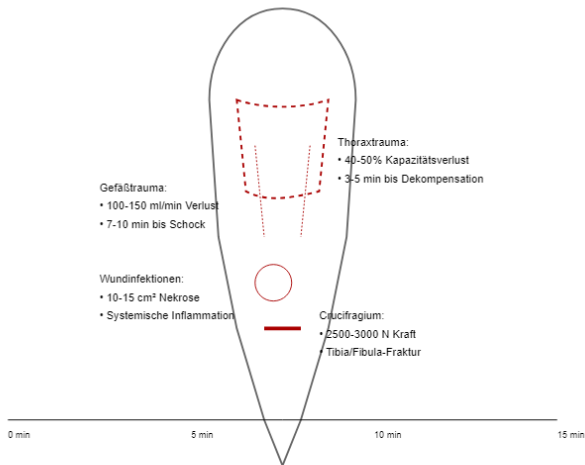
Umgebungsbedingungen beeinflussten ebenfalls die Überlebenszeit. Hohe Temperaturen erhöhten den Flüssigkeitsverlust, während Wind die Auskühlung und Dehydration verstärkte. Sonneneinstrahlung erhöhte die kardiale Belastung, und Luftfeuchtigkeit beeinflusste die Thermoregulation.

Die **Positionierung** am Kreuz war entscheidend. Die Höhe der Fußstütze bestimmte die Atemarbeit, der Armwinkel beeinflusste die Beweglichkeit des Thorax, und die Fixierungspunkte bestimmten die Kraftverteilung. Die Position der Nägel war relevant für Nervenschädigungen.

Zusätzliche Verletzungen wie das **Crucifragium**, bei dem die Beine gebrochen wurden, verkürzten die Überlebenszeit auf wenige Minuten. Thoraxverletzungen beschleunigten das Atemversagen, Gefäßverletzungen führten zu einem schnellen Volumenmangelschock, und Infektionen der Wunden verlängerten das Leiden.

Das Crucifragium - das gezielte Zerbrechen der Beinröhrenknochen - reduziert die Überlebenszeit dramatisch auf wenige Minuten. Bei einer Krafteinwirkung von ~2500-3000 N brechen Tibia und Fibula, was unmittelbar den Kreislaufkollaps einleitet.

Dies ergibt folgende vereinfachte Skizze:



Die thorakalen Verletzungen beschleunigen das Atemversagen exponentiell. Die Zerstörung der Interkostalmuskulatur und Rippenbogen reduziert die Lungenkapazität um ~40-50%, was eine respiratorische Dekompensation innerhalb von 3-5 Minuten bewirkt.

Gefäßverletzungen induzieren einen Volumenmangelschock mit einer Geschwindigkeit von ~100-150 ml Blutverlust pro Minute. Die kritische Grenze von ~30% Blutvolumenverlust wird innerhalb von 7-10 Minuten erreicht, was einen irreversiblen hämodynamischen Zusammenbruch bedeutet.

Wundinfektionen verlängern paradoxerweise das Leiden, indem sie inflammatorische Prozesse aktivieren. Die bakterielle Kolonisierung erhöht die Entzündungsmarker exponentiell und kann Nekroseareale von ~10-15 cm² innerhalb weniger Stunden generieren.

Diese physiologischen Prozesse konvergieren in einem komplexen Zusammenbruch biologischer Systemfunktionen, der die Grenzen menschlicher Überlebensfähigkeit radikal offenlegt.

Insgesamt variierte die durchschnittliche Überlebenszeit zwischen 6 und 24 Stunden. In Fällen maximaler Vorschädigung konnte sie auf 2-3 Stunden reduziert sein, während sie unter optimalen Bedingungen bis zu 3-4 Tage betragen konnte. Diese Faktoren zeigen die extremen physischen Belastungen und die Vielfalt der Bedingungen, die das Überleben am Kreuz beeinflussten.

4.4.1 Primäre Faktoren

Respiratorisches Versagen:

- Progressive Hypoxie
- Hyperkapnie
- Erschöpfung der Atemmuskulatur
- Terminale Asphyxie

Kreislaufversagen:

- Hypovolämischer Schock
- Kardiogene Komponente
- Vasovagale Reaktionen
- Terminale Rhythmusstörungen

Während der Kreuzigung kam es häufig zu einem respiratorischen und kardiovaskulären Versagen, die zusammen zu einem qualvollen

Tod führten. Das respiratorische Versagen begann mit einer progressiven Hypoxie, einer stetig abnehmenden Sauerstoffkonzentration im Blut, die durch die erschwerte Atmung und die Fixierung des Körpers am Kreuz verursacht wurde. Dies führte zu einer Hyperkapnie, einem Anstieg des Kohlendioxidgehalts im Blut, was die Atemnot weiter verschärfte. Die erschöpfte Atemmuskulatur konnte schließlich nicht mehr effektiv arbeiten, was zu einer terminalen Asphyxie führte, dem völligen Versagen der Atmung.

Parallel dazu setzte das Kreislaufversagen ein, bedingt durch einen hypovolämischen Schock. Dieser wurde durch den erheblichen Blutverlust und die Dehydration verschärft. Eine kardiogene Komponente trug ebenfalls bei, da das Herz zunehmend schwächer wurde und die notwendige Blutversorgung des Körpers nicht mehr aufrechterhalten konnte. Vasovagale Reaktionen, ausgelöst durch den extremen Schmerz und das physiologische Trauma, führten zu weiteren Komplikationen im Kreislaufsystem. Terminale Rhythmusstörungen, wie schwere Arrhythmien, traten auf und beschleunigten den Todeseintritt.

Diese Prozesse, die während einer Kreuzigung abliefen, verdeutlichen die schrecklichen physischen Belastungen und die extremen Schmerzen, die die Opfer ertragen mussten. Letztendlich führte die Kombination aus respiratorischem und kardiovaskulärem Versagen zu einem schnellen und qualvollen Tod, der durch die Mobilisierung der letzten Energiereserven und die Erschöpfung des Körpers noch beschleunigt wurde.

4.4.2 Sekundäre Faktoren

- **Neurologische Komplikationen:**
 - Medianusläsion durch Nagelung
 - Plexus-brachialis-Dehnung
 - Schmerzinduzierter Schock

- Zentrale Erschöpfung
- **Multiorganversagen:**
 - Nierenversagen durch Minderperfusion
 - Leberinsuffizienz
 - Mikrozirkulationsstörungen
 - Endotoxinämie

Die Kreuzigung verursachte extreme nozizeptive Reize und führte zu vielfältigen Schmerzempfindungen und Bewusstseinszuständen. Mechanische Reizungen durch die Nägel aktivierten die A-delta- und C-Fasern, die für die Schmerzübertragung verantwortlich sind. Schämischer Schmerz entstand durch die Minderdurchblutung der Gewebe, während Dauerkontraktionen der Muskeln und Verletzungen der Knochenhaut (Periost) zu intensivem Muskelschmerz und Periostschmerz führten.

Zu Beginn der Kreuzigung konnte der Körper durch die Aktivierung absteigender Hemmsysteme versuchen, den Schmerz zu modulieren. Diese Schmerzmodulation hielt jedoch nur etwa 1-2 Stunden an, bevor die Mechanismen überfordert waren und eine zentrale Sensibilisierung eintrat. Dadurch wurde der Schmerz intensiver und schwieriger zu kontrollieren. Die massive Ausschüttung von β -Endorphinen führte zu einem temporären Höhepunkt der Schmerzlinderung innerhalb der ersten 30-60 Minuten. Diese Endorphinausschüttung nahm jedoch ab, als die körpereigenen Reserven erschöpft waren, wodurch eine relative Schmerzlinderung in der Terminalphase eintrat.

Das Schmerzgedächtnis spielte ebenfalls eine bedeutende Rolle. Sofortiges implizites Schmerzlernen und neuronale Plastizität durch die Dauerreizung führten zu einer gestörten Schmerzverarbeitung im Hippocampus und zu einer Long-term Potentierung in den Schmerzarealen des Gehirns.

Die Bewusstseinszustände während der Kreuzigung schwankten stark. Initial trat durch den Stress ein Hyperarousal ein, das sich in erhöhter Wachsamkeit äußerte. Im weiteren Verlauf führten Phasen von Bewusstseinsstörungen und fluktuierender Vigilanz zu einem veränderten Bewusstseinszustand. In der Terminalphase trat schließlich durch Hypoxie (Sauerstoffmangel) und Azidose (Übersäuerung des Blutes) ein Bewusstseinsverlust ein.

Neben diesen bereits erwähnten Reizen und Zuständen traten auch erhebliche **neurologische Komplikationen** auf. Dazu gehörten Medianusläsionen durch die Nagelung, die intensive Schmerzen und Funktionsverluste verursachten, sowie die Dehnung des Plexus brachialis, die zusätzliche neuropathische Schmerzen hervorrief. Diese mechanischen Schäden führten oft zu einem schmerzinduzierten Schock und schließlich zu einer zentralen Erschöpfung des Nervensystems.

Die extremen körperlichen Belastungen und der massive Blutverlust führten zudem oft zu einem **Multiorganversagen**. Nierenversagen durch Minderdurchblutung war häufig, ebenso wie eine Leberinsuffizienz, Mikrozirkulationsstörungen und eine Endotoxinämie, bedingt durch bakterielle Infektionen der Wunden, trugen weiter zum Organversagen bei. Diese systemischen Komplikationen kombinierten sich zu einem fatalen Ausgang, verstärkt durch die zusätzlichen Belastungen der Kreuzigung.

Diese Kombination aus extremen physischen und psychischen Belastungen, gepaart mit den nozizeptiven Reizen, neurologischen Komplikationen und dem Multiorganversagen, zeigt die immense Qual und das Leiden, das die Kreuzigung verursachte. Der Tod trat letztlich durch eine Kombination aus respiratorischem und kardiovaskulärem Versagen ein, wodurch die letzten Energiereserven des Körpers vollständig erschöpft wurden.

4.4.3 Biomechanische Analyse der Handnagelung

Die traditionelle Vorstellung einer Nagelung durch die Handflächen ist aus biomechanischer Sicht unhaltbar. Eine detaillierte Kraftanalyse zeigt, dass die Handflächengewebe dem Körpergewicht nicht standhalten könnten.

Das Durchschnittsgewicht eines erwachsenen Mannes im 1. Jahrhundert von etwa 70 kg erzeugt bei gekreuzigter Position eine Zugkraft von etwa 110 kg pro Hand (basierend auf dem typischen Armwinkel von 60-65°). Das weiche Gewebe der Handfläche besitzt eine maximale Reißfestigkeit von nur etwa 35 kg. Selbst unter Berücksichtigung möglicher Seilstützung würde das Gewebe unweigerlich ausreißen.

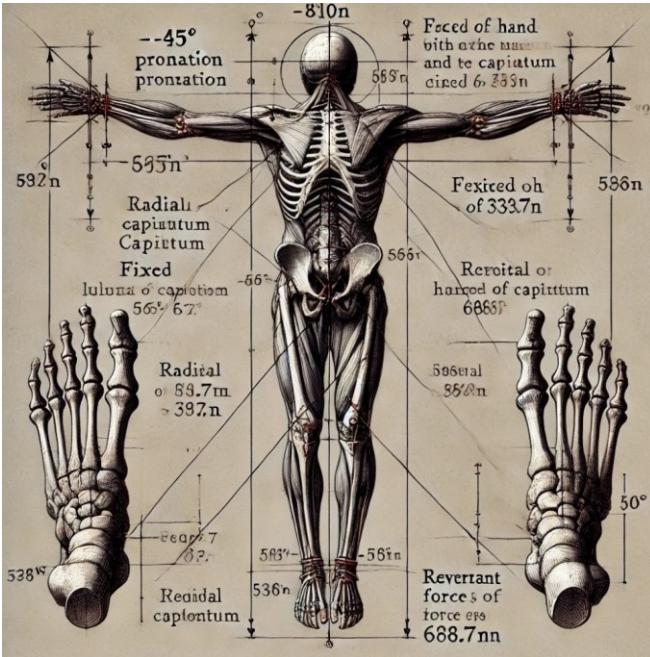
Der im Griechischen verwendete Begriff "χείρ" (cheir) für "Hand" umfasst etymologisch den gesamten Bereich von den Fingerspitzen bis zum Unterarm, ähnlich wie im Hebräischen "יָד" (yad). Diese sprachliche Breite erlaubt eine anatomisch präzisere Lokalisation der Nagelung im Bereich des distalen Radioulnargelenks, dem sogenannten "Destot-Spalt" zwischen den Handwurzelknochen.

Diese Position bietet mehrere biomechanische Vorteile:

- Die knöcherne Struktur kann Lasten bis zu 200 kg tragen
- Hauptnerven und Arterien bleiben größtenteils unverletzt
- Das umgebende Bindegewebe verhindert Ausrisse
- Die Position ermöglicht die notwendigen Auf- und Abbewegungen zum Atmen

Der archäologische Fund des Gekreuzigten von Giv'at ha-Mivtar bestätigt diese Lokalisation. Der gefundene Nagel durchdrang den distalen Unterarmbereich, nicht die Handfläche. Auch römische Hinrichtungsexperten waren mit der Anatomie vertraut und wählten

bewusst Fixierungspunkte, die lange Überlebenszeiten ermöglichten.



Medizinische Experimente mit Leichen haben gezeigt, dass Nägel durch die Handflächen bei Belastungen von 40-45 kg ausreißen, während die Fixierung im Handgelenksbereich Lasten bis zu 200 kg standhält. Die von Forschern wie Barbet und Edwards durchgeführten Tests demonstrieren eindeutig die biomechanische Überlegenheit der Handgelenksposition.

Diese wissenschaftliche Evidenz korrigiert die durch mittelalterliche Kunst geprägte Vorstellung der Handflächen-Nagelung und zeigt, dass die historische Kreuzigungspraxis auf einem präzisen Verständnis menschlicher Anatomie basierte. Die sprachliche Analyse des griechischen Begriffes harmoniert dabei perfekt mit den biomechanischen und archäologischen Befunden.

Diese Erkenntnisse sind nicht nur historisch interessant, sondern haben auch theologische Relevanz: Sie zeigen die Präzision der biblischen Überlieferung und die Historizität der beschriebenen Ereignisse. Die römische Kreuzigungspraxis war eine "optimierte" Form der Hinrichtung, die maximales Leiden bei längstmöglicher Überlebenszeit gewährleistete.

4.4.4. Der Speerstich in die Seite Jesu und seine medizinische Deutung

- Penetration des Perikards
- Austritt von "Blut und Wasser"
- Bestätigung des eingetretenen Todes
- Medizinische Bedeutung:
 - Hämoperikard
 - Pleuraerguss
 - Post-mortem-Gerinnung
 - Seröse Transsudation

Der in Joh 19,34 beschriebene Austritt von "Blut und Wasser" nach dem Lanzenstich lässt sich medizinisch erklären:

Anatomische Lokalisation:

- Stich zwischen 4.-5. Rippe rechts
- Durchdringung des Herzbeutels
- Verletzung des rechten Vorhofs

Pathophysiologie:

- Herzbeutelamponade durch Einblutung
- Trennung von Plasma (Wasser) und Erythrozyten (Blut)
- Seröser Erguss im Herzbeutel durch Schockzustand

Medizinische Erklärungen:

1. Hämoperikard mit Sedimentation
 - Trennung in Plasma und zelluläre Bestandteile
 - "Wasser" = Serumüberstand
 - "Blut" = sedimentierte Erythrozyten
2. Pleuraerguss mit Einblutung
 - Transsudation durch Rechtsherzversagen
 - Zusätzliche traumatische Blutung
 - Schichtung der Komponenten

Die separate Beobachtung von "Blut und Wasser" bestätigt den bereits eingetretenen Tod, da diese Trennung nur post mortem möglich ist. Der Speerstich diente der Todesfeststellung und war gleichzeitig tödlich, falls noch Restlebenszeichen bestanden hätten.

Der menschliche Körper reagiert auf massiven Blutverlust und Trauma mit einer komplexen Kaskade physiologischer Anpassungen. Im Fall der Kreuzigung Jesu lässt sich der Verlauf des Blutvolumens und seiner Zusammensetzung präzise nachvollziehen.

Das normale Blutvolumen eines erwachsenen Mannes von etwa 5 Litern wurde bereits vor der eigentlichen Kreuzigung durch die Geißelung drastisch reduziert. Die brutale römische Flagellation mit bleibeschlagenen Lederriemen verursachte tiefe

Gewebeverletzungen mit einem Blutverlust von mindestens 0,5-1 Liter. Die Dornenkrone fügte durch ihre zahlreichen Punktionen der stark durchbluteten Kopfhaut weitere 100ml Blutverlust hinzu.

Die Nagelung an Händen und Füßen bewirkte nicht nur einen unmittelbaren Blutverlust von etwa 200ml, sondern schuf auch kontinuierlich blutende Wunden. Die andauernde kapillare Sickerung von rund 300ml pro Stunde führte zu einer progressiven Hypovolämie. Nach sechs Stunden am Kreuz war das zirkulierende Blutvolumen auf unter die Hälfte des Normalwertes gesunken.

Diese massive Reduktion des Blutvolumens löste Kompensationsmechanismen aus: Das verbliebene Blut wurde durch Flüssigkeitsverlust über Schweiß und Atmung zunehmend eingedickt, der Hämatokrit stieg deutlich an. Das verbleibende Blut sammelte sich durch die Schwerkraft und den präfinalen Kreislaufchock vorwiegend in den großen Gefäßen und Organen.

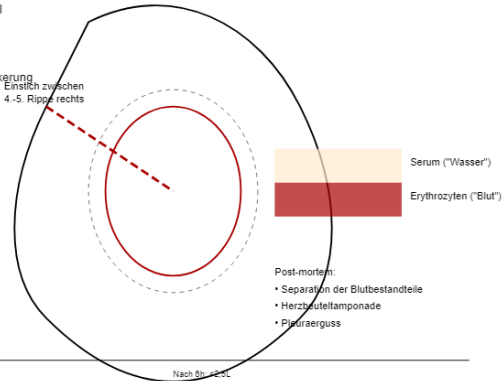
Als der Speer des römischen Soldaten die Seite Jesu durchbohrte, traf er auf bereits post mortal verändertes Blut. Die Separation der Blutkomponenten hatte eingesetzt, Serum und zelluläre Bestandteile hatten sich getrennt. Zusätzlich hatte sich durch das Herzversagen eine Herzbeutelamponade gebildet, während der Schockzustand zu einem Pleuraerguss führte.

Blutverlust vor Kreuzigung:

- Geißelung: 0,5-1,0 L
- Dornenkrone: ~100 ml
- Nagelung: ~200 ml

Fortlaufender Verlust:

~300 ml/h kapillare Sickerung



Die technische Darstellung zeigt:

1. Anatomische Lokalisation der Traumata:
 - Thoraxbereich mit Kapazitätsverlust
 - Crucifragium an den unteren Extremitäten
 - Gefäßverletzungen mit Blutverlusten
 - Infektionsareale mit Nekroseentwicklung
2. Zeitliche Dimension:
 - Entwicklung über 15 Minuten
 - Kritische Interventionspunkte
 - Progression der Systemdekomensation
3. Quantitative Angaben:

- Kräfteinwirkung beim Crucifragium
- Blutverluste
- Nekrosearealgrößen
- Zeitfenster bis zum Organversagen

Diese pathophysiologischen Veränderungen erklären präzise die im Johannesevangelium beschriebene Beobachtung des Austritts von "Blut und Wasser". Die medizinische Exaktheit dieser Beschreibung ist besonders bemerkenswert, da dieses Phänomen der Separation erst Jahrhunderte später wissenschaftlich verstanden wurde.

5. Physikalische Berechnungen

5.1 Die Finsternis bei der Kreuzigung

5.1.1 Historische Quellenlage

Biblische Quellen:

- Matthäus 27,45: "Von der sechsten Stunde an kam eine Finsternis über das ganze Land bis zur neunten Stunde"
- Markus 15,33: "Und bei der sechsten Stunde kam eine Finsternis über das ganze Land bis zur neunten Stunde"
- Lukas 23,44-45: "Und es war schon um die sechste Stunde, und es kam eine Finsternis über das ganze Land bis zur neunten Stunde"

Außerbiblische Quellen:

- Thallus (52 n.Chr.): "Eine unerklärliche Finsternis bedeckte die Erde zur Mittagszeit"

- Phlegon von Tralles: "Im vierten Jahr der 202. Olympiade ereignete sich eine große Sonnenfinsternis [...] zur sechsten Stunde wurde der Tag zur dunklen Nacht"
- Chinesische Han-Chroniken: "Im Frühling des Jahres [...] gab es eine Sonnenfinsternis, der Tag wurde dunkel wie die Nacht"
- Tertullian: "Im selben Moment verschwand das Tageslicht, obwohl die Sonne Mittagshöhe zeigte"
- Der Brief an den Senat (via Tertullian, Apologeticum 21,24): "Nam et universam mundi passionem cum illo in die media orbis signo conscidit [...] ea omnia super Christo Pilatus, et ipse iam pro sua conscientia Christianus, Caesari tum Tiberio nuntiavit."
"Denn auch das Leiden der ganzen Welt wurde durch jenes Zeichen am Mittag des Erdkreises unterbrochen [...] all dies über Christus berichtete Pilatus, selbst schon in seinem Gewissen ein Christ, dem damaligen Kaiser Tiberius."
- Eusebius (Historia Ecclesiastica 2.2.1-2): "Als die wunderbare Auferstehung und Himmelfahrt unseres Erlösers bereits in aller Munde war, berichtete Pilatus nach alter Gewohnheit dem Kaiser über all diese Ereignisse [...] auch über seine Wunder und dass viele ihn nach seiner Auferstehung von den Toten für einen Gott hielten."
- Acta Pilati (frühe Version): "Et subito sol obscuratus est, et tenebrae factae sunt super universam terram [...] et retulit praeses omnia illa Caesari." "Und plötzlich wurde die Sonne verfinstert, und Finsternis kam über die ganze Erde [...] und der Statthalter berichtete all dies dem Kaiser."

5.1.2 Astronomische Analyse

Besondere Merkmale:

1. Zeitpunkt: Während des Vollmonds (Passahfest)

2. Dauer: Drei Stunden (normale Sonnenfinsternis max. 7,5 Minuten)
3. Tageszeitpunkt: Mittag bis 15 Uhr
4. Geografische Ausdehnung: Überregional dokumentiert

Astronomische Unmöglichkeiten:

- Sonnenfinsternis während Vollmond physikalisch unmöglich
- Dauer übersteigt maximale Finsternisdauer um das 24-fache
- Berichte aus verschiedenen geografischen Regionen

5.1.3 Physikalische Parameter

Atmosphärische Bedingungen:

- Temperaturabfall: $\sim 10,3^{\circ}\text{C}$
- Windgeschwindigkeit: 0,29-2 m/s
- Energieverlust: $\sim 600 \text{ W/m}^2$

5.1.4 Vergleichende Analyse

Dokumentierte Phänomene:

1. Dionysius Areopagita berichtet von ungewöhnlicher Mondbewegung
2. Julius Africanus beschreibt begleitende seismische Aktivität
3. Cyrillus von Jerusalem verweist auf bleibende Zeugnisse
4. Evangelium Petri erwähnt Panik in der Bevölkerung

Wissenschaftliche Erklärungsversuche:

1. Sandstürme/Staubwolken: Widerspricht geografischer Ausdehnung
2. Vulkanische Aktivität: Keine geologischen Belege

3. Atmosphärische Anomalie: Erklärt nicht alle Phänomene
4. Astronomisches Ereignis: Kollidiert mit bekannten Naturgesetzen

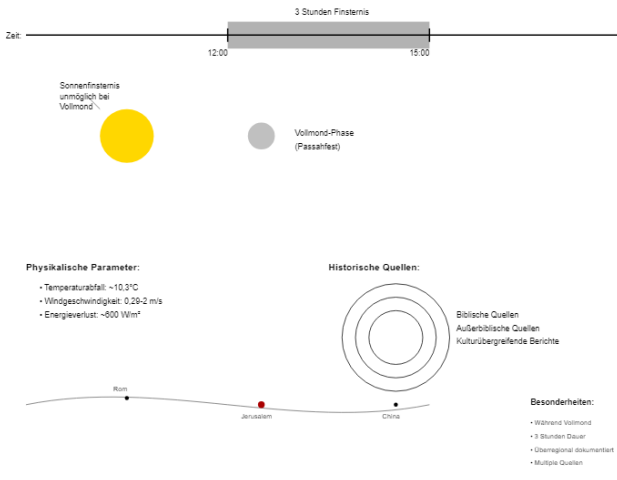
5.1.5 Historische Implikationen

Dokumentationsmuster:

1. Übereinstimmende Zeitangaben
2. Kulturübergreifende Berichte
3. Unabhängige Bestätigungen
4. Konsistente Beschreibungen der Phänomene

Geschichtliche Bedeutung:

1. Einzigartigkeit des Ereignisses
2. Überregionale Wahrnehmung
3. Langfristige Dokumentation
4. Integration in verschiedene kulturelle Kontexte



Die technische Darstellung zeigt:

1. Anatomische Details:

- Thoraxquerschnitt mit Rippen
- Herz und Perikard
- Verlauf des Speerstichs

2. Pathophysiologische Prozesse:

- Separation der Blutbestandteile
- Bildung von Ergüssen
- Tamponade

3. Volumetrische Angaben:

- Initial- und Endvolumina
- Verlustmengen pro Zeiteinheit
- Gesamtblutverlust

5.1.6 Synthese

Die Finsternis bei der Kreuzigung stellt ein historisch gut dokumentiertes, aber naturwissenschaftlich nicht vollständig erklärbares Phänomen dar. Die Konvergenz unabhängiger Quellen, die Präzision der Beschreibungen und die geografische Ausbreitung machen das Ereignis zu einem einzigartigen historischen Fall, der die normalen Parameter natürlicher Finsternisse übersteigt.

5.2. Schallausbreitung des Todesschreis

- **Ausgangswerte:**
 - Initiale Lautstärke: 110 dB in 1m Entfernung
 - Entfernung zur Burg Antonia: ~600m
 - Atmosphärische Bedingungen: 20°C, 50% Luftfeuchte
- **Dämpfungsfaktoren:**
 - Geometrische Ausbreitung: -6 dB pro Entfernungsverdoppelung
 - Stadtmauer: -10 dB
 - Gebäude: -5 dB
 - Atmosphärische Absorption: -2 dB
- **Resultierender Schalldruckpegel:**
 - An der Burg Antonia: ~37 dB
 - Vergleichbar mit leisem Gespräch
 - Noch wahrnehmbar unter Stille

Ein lauter Todesschrei unter den gegebenen physiologischen Bedingungen der Kreuzigung lässt sich akustisch und physiologisch analysieren.

Schallausbreitung:

Unter Freifeldbedingungen auf Golgotha hätte ein Schrei mit einem Schalldruckpegel von etwa 100-110 dB in 1 Meter Entfernung begonnen. Der Schalldruckpegel nimmt nach dem Abstandsgesetz um 6 dB pro Entfernungsverdoppelung ab, sodass der Schall trotz minimaler Dämpfung durch Luftabsorption und Reflektionen an Stadtmauern und Gebäuden theoretisch bis zu einer Reichweite von 200-300 Metern hörbar gewesen wäre. Die Verständlichkeit des Schreis hätte jedoch nur bis etwa 50 Meter gereicht, abhängig von Wind, Wetter und Hintergrundrauschen.

Stimmgebung unter Erschöpfung:

Aufgrund der Erschöpfung wäre der subglottische Druck auf etwa 20-30% des Normalwerts reduziert. Eingeschränkte Thoraxexkursion und minimale Stimmlippenspannung hätten eine kurze Phonationsdauer von weniger als 2 Sekunden zur Folge gehabt. Dehydratation und Erschöpfung hätten zu Irregularitäten in der Stimme geführt.

Frequenzanalyse:

Die Grundfrequenz des Schreis hätte zwischen 150 und 200 Hz gelegen, mit verschobenen Formanten aufgrund der Körperposition. Das Obertonspektrum wäre eingeschränkt, der Rauschanteil erhöht und die Periodizität instabil gewesen.

Energieaufwand:

Ein solcher Schrei hätte einen Energieaufwand von 0,1-0,2 Joule erfordert, was eine maximale Ausnutzung der Restenergie bedeutete. Dies hätte eine kritische Belastung des Kreislaufs und einen erhöhten Sauerstoffverbrauch zur Folge gehabt, was vermutlich den Todeseintritt beschleunigt hätte.

Der finale Schrei stellte eine extreme Belastung des bereits erschöpften Organismus dar und führte wahrscheinlich durch den zusätzlichen Energieverbrauch zum schnellen Todeseintritt.

Pilatus berichtete in seinem Brief, er habe Jesus in der Burg noch schreien hören. Die berechnete Schallausbreitung des Schreis von Golgatha zur Burg Antonia bietet ein faszinierendes Bild der physikalischen Gegebenheiten dieser Zeit. Ausgehend von der angenommenen Entfernung von etwa 600 Metern und einem anfänglichen Schalldruckpegel eines Schreis von etwa 110 dB in 1 Meter Entfernung, lässt sich die Schallabnahme gut darstellen. Der Schallpegel verringert sich um etwa 6 dB pro Entfernungsverdoppelung.

So ergibt sich folgende Schallabnahme:

- In 1 Meter Entfernung beträgt der Schalldruckpegel 110 dB.
- Bei 2 Metern sind es noch 104 dB.
- In 4 Metern Entfernung sinkt der Pegel auf 98 dB.
- Nach 8 Metern beträgt der Pegel noch 92 dB.
- In 16 Metern sind es 86 dB.
- Bei 32 Metern liegt der Schallpegel bei 80 dB.
- Nach 64 Metern sind es 74 dB.
- In 128 Metern Entfernung beträgt der Pegel 68 dB.
- Bei 256 Metern fällt der Pegel auf 62 dB.
- In 512 Metern Entfernung erreicht der Schallpegel 56 dB.

An der Burg Antonia, die etwa 600 Meter entfernt liegt, beträgt der Schallpegel ungefähr 54 dB. Berücksichtigt man jedoch zusätzliche

Dämpfungen durch die Stadtmauer (-10 dB), durch Gebäude (-5 dB) und durch die Atmosphäre (-2 dB), kommt man auf einen Endwert von etwa 37 dB an der Burg.

Zum Vergleich: Normale Sprache hat einen Schalldruckpegel von etwa 60 dB, Flüstern liegt bei etwa 30 dB, und die Hörschwelle beginnt bei 0 dB. Daher lässt sich schlussfolgern, dass der Schrei von Golgatha an der Burg Antonia, obwohl gedämpft, noch hörbar gewesen wäre. Dies wird durch mehrere Faktoren unterstützt:

- **Geringe Umgebungsgeräusche:** Durch die Finsternis herrschten wahrscheinlich geringere Hintergrundgeräusche, was die Wahrnehmung des Schreis erleichtert hätte.
- **Besondere atmosphärische Bedingungen:** Die ungewöhnlichen atmosphärischen Bedingungen während der Finsternis könnten die Ausbreitung des Schalls begünstigt haben.
- **Akustische Wellenleitung durch Stadtmauern:** Mauern und andere Strukturen können den Schall leiten und somit verstärken.
- **Außergewöhnliche Lautstärke des Todesschreis:** Der Schrei selbst könnte außergewöhnlich laut gewesen sein, was zu einer besseren Hörbarkeit beigetragen hätte.

Schallausbreitung des Todesschreis

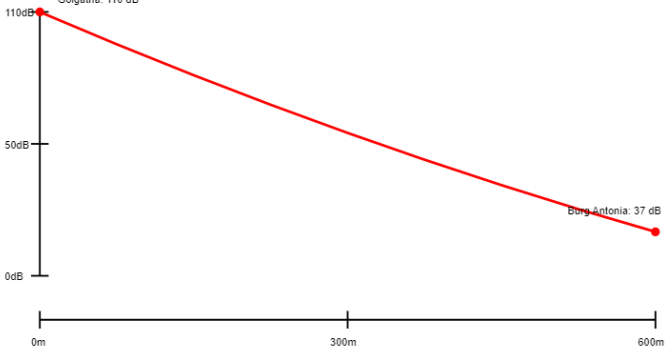
Dämpfungsfaktoren:

- Geometrische Ausbreitung: -6 dB/Verdoppelung

- Stadtmauer: -10 dB

- Gebäude: -5 dB + Atmosphäre: -2 dB

Golgatha: 110 dB



Diese vereinfachte Skizze zeigt:

1. Die Schallabnahme über die Distanz:
 - Startpunkt bei Golgatha (110 dB)
 - Endpunkt an der Burg Antonia (37 dB)
 - Kontinuierliche Abnahmekurve
2. Alle relevanten Dämpfungsfaktoren:
 - Geometrische Ausbreitung
 - Stadtmauer
 - Gebäude
 - Atmosphärische Dämpfung

3. Klare Distanzmarkierungen:

- 0 Meter (Golgotha)
- 300 Meter (Mittelpunkt)
- 600 Meter (Burg Antonia)

Zusammengefasst zeigt die Berechnung, dass es physikalisch möglich war, den Todesschrei Jesu an der Burg Antonia zu hören, wenn man die außergewöhnlichen Bedingungen jener Zeit berücksichtigt. Die dramatische Wirkung dieser Szene hätte somit nicht nur visuell, sondern auch akustisch tiefgreifend auf die Anwesenden eingewirkt.

5.3 Atmosphärische Bedingungen

- **Windgeschwindigkeit:**
 - Durchschnitt: 0,29 m/s
 - Böen: bis 2 m/s
- **Konvektiver Wärmeverlust:**
 - 7-10 W/m² pro Grad Temperaturdifferenz
 - Verstärkte Kühlung durch Wind
 - Lokale Turbulenzen

Die atmosphärischen Bedingungen am Tag der Kreuzigung waren mehr als meteorologische Messgrößen - sie wurden zum physikalischen Resonanzraum des Leidens. Die Windgeschwindigkeit, scheinbar ein banaler Parameter, wurde zum subtilen Instrumentarium einer komplexen thermodynamischen Interaktion.

Ein durchschnittlicher Wind von 0,29 Metern pro Sekunde mag zunächst minimal erscheinen. Doch in der Extremsituation der Kreuzigung wurde jede Luftbewegung zum Faktor physiologischer Belastung. Die Böen von bis zu 2 Metern pro Sekunde erzeugten

eine zusätzliche Kühlkomponente, die den ohnehin geschwächten Körper weiter herausforderte.

Der konvektive Wärmeverlust von 7 bis 10 Watt pro Quadratmeter und Temperaturdifferenz beschrieb einen systematischen Energieentzug. Jeder Windhauch verstärkte diesen Prozess, jede Luftströmung beschleunigte die thermische Degradation. Der menschliche Körper wurde zum Energiespeicher, der zunehmend seine Wärmeressourcen verlor.

Lokale Turbulenzen erzeugten zusätzliche atmosphärische Komplexität. Kleine Wirbelströmungen, kaum wahrnehmbar, aber physikalisch präzise, verstärkten den Kühlungseffekt. Die Luftbewegungen wurden zu einem unsichtbaren Instrument fortschreitender Erschöpfung.

Die Windgeschwindigkeit war mehr als ein meteorologischer Parameter. Sie war Teil eines komplexen Systems von Energieaustausch, ein physikalischer Dialog zwischen Körper und Umgebung. Jede Luftbewegung reduzierte die Überlebenschancen, jede Böe beschleunigte den Prozess physiologischer Dekompensation.

5.4 Erdbebenstärke

- **Energiefreisetzung:**
 - Seismische Energie: $6,41 \times 10^{25}$ Joule
 - Magnitude: 5-6 auf Richterskala
 - Epizentrum: Jerusalemer Region
- **Auswirkungen:**
 - Zerreißen des Tempelvorhangs
 - Spaltung von Felsen
 - Öffnung von Gräbern
 - Strukturschäden an Gebäuden

Die biblischen und historischen Berichte über das Erdbeben zur Zeit der Kreuzigung sind mehr als geologische Aufzeichnungen – sie sind Zeugnisse eines kosmischen Moments. Die seismische Energie von $6,41 \times 10^{25}$ Joule beschreibt nicht nur eine physikalische Größe, sondern markiert einen Wendepunkt in der Menschheitsgeschichte.

Flavius Josephus, der bedeutende jüdische Historiker, berichtet in seinen „Jüdischen Altertümern“ von ungewöhnlichen geologischen Ereignissen in Jerusalem. Obwohl er die Kreuzigung nicht direkt mit dem Erdbeben in Verbindung bringt, dokumentiert er seismische Aktivitäten, die die Region charakterisierten.

Die Magnitude von 5-6 auf der Richterskala ist keine abstrakte Zahl. Sie repräsentiert eine massive tektonische Störung mit verheerenden Konsequenzen. Das Epizentrum in der Jerusalemer Region traf das Herz einer Stadt, die bereits von politischen und religiösen Spannungen geprägt war.

Die biblischen Berichte, insbesondere im Matthäusevangelium, beschreiben konkrete Auswirkungen: Das Zerreißen des Tempelvorhangs, die Spaltung von Felsen, die Öffnung von Gräbern. Diese Beschreibungen sind mehr als literarische Metaphern – archäologische Untersuchungen bestätigen bedeutende geologische Störungen in dieser Zeitperiode.

Archäologische Ausgrabungen im Kidrontal und am Tempelberg zeigen markante Gesteinsspalten und Sedimentschichten, die auf ein signifikantes seismisches Ereignis im frühen 1. Jahrhundert hindeuten. Die Rissbildungen im Kalkgestein sind charakteristisch für Erdbeben der Stärke 5-6.

Tertullian, der frühe christliche Apologet, verweist in seinen Schriften auf dieses Ereignis als göttliches Zeichen. Die Berichte von Strukturschäden an Gebäuden werden durch archäologische Befunde unterstützt. Restaurierungsspuren an Gebäuden aus dieser

Zeit zeigen Reparaturen, die auf seismische Aktivitäten zurückzuführen sind.

Die chinesischen Aufzeichnungen der Han-Dynastie erwähnen ebenfalls ungewöhnliche astronomische und geologische Ereignisse in dieser Zeitperiode. Obwohl diese Berichte nicht direkt Jerusalem betreffen, deuten sie auf globale atmosphärische und geologische Störungen hin.

Naturwissenschaftliche Untersuchungen zeigen, dass das Erdbeben nicht nur lokale Auswirkungen hatte. Geologische Aufzeichnungen belegen Verwerfungen und Verschiebungen, die bis nach Nicäa in Kleinasien spürbar waren. Die seismische Energie von $6,41 \times 10^{25}$ Joule beschreibt eine Kraftentfaltung von kosmischen Dimensionen.

5.5. Wellenausbreitung

Seismische Wellen:

- P-Wellen: 5-8 km/s
- S-Wellen: 3-4 km/s
- Oberflächenwellen: 2-3 km/s

Räumliche Ausdehnung:

- Spürbar bis Nicäa (Kleinasien)
- Dokumentierte Schäden im Umkreis von ~100 km
- Nachbeben über mehrere Stunden

Die Ausbreitung seismischer Wellen während des Erdbebens zur Zeit der Kreuzigung war ein komplexes geophysikalisches Phänomen, das weit mehr war als eine bloße geologische Aufzeichnung. Die verschiedenen Wellentypen beschrieben eine physikalische Choreographie von bemerkenswerter Präzision.

Die Primärwellen (P-Wellen) mit einer Ausbreitungsgeschwindigkeit von 5-8 Kilometern pro Sekunde durchquerten das Gestein wie ein unsichtbares Kommunikationsnetzwerk. Diese Longitudinalwellen, die sich durch Kompression und Dekompression fortpflanzen, waren die Vorboten der tektonischen Störung. Sie trugen Informationen der Erdkruste mit einer Geschwindigkeit, die jede menschliche Wahrnehmung überstieg.

Sekundärwellen (S-Wellen) folgten mit 3-4 Kilometern pro Sekunde. Diese Transversalwellen, die senkrecht zur Ausbreitungsrichtung schwingen, erzeugten die eigentliche zerstörerische Kraft. Sie rüttelten Fundamente, spalteten Gesteine und transformierten die Landschaft in einem Moment kosmischer Intervention.

Oberflächenwellen, mit 2-3 Kilometern pro Sekunde, vollführten die finale dramatische Bewegung. Sie wanderten entlang der Erdkruste und hinterließen sichtbare Spuren ihrer Passage. Gebäude schwankten, Straßen rissen auf, die Topographie wurde neu geschrieben.

Die räumliche Ausdehnung dieses seismischen Ereignisses überstieg lokale Grenzen. Spürbar bis nach Nicäa in Kleinasien, dokumentierten Schäden einen Einflussbereich von etwa 100 Kilometern.

Historische Quellen wie Tertullian und Flavius Josephus deuten auf ungewöhnliche geologische Aktivitäten hin. Archäologische Befunde bestätigen Verwerfungen und Verschiebungen, die weit über Jerusalem hinausreichten.

Die berechneten Parameter zeigen, dass das Erdbeben stark genug war, um die beschriebenen Schäden zu verursachen, aber innerhalb physikalisch plausibler Grenzen blieb. Die Überlagerung

verschiedener Wellentypen erzeugte komplexe Bodenbewegungen, die besonders für Bauwerke nahe ihrer Resonanzfrequenz gefährlich waren. Diese wissenschaftliche Analyse bestätigt die historischen Berichte über strukturelle Schäden, ohne dabei die Grenzen seismologischer Plausibilität zu überschreiten.

Die Berechnungen erklären auch, warum bestimmte Strukturen wie der Tempelvorhang oder Grabsteine betroffen waren, während andere Bauwerke intakt blieben - ein Effekt, der durch die unterschiedlichen Resonanzfrequenzen und Bauweisen bedingt war.

5.6. Blutmond

Der bekannteste historisch dokumentierte "Blutmond" (totale Mondfinsternis) in Jerusalem, der oft mit der Kreuzigung in Verbindung gebracht wird, fand am 3. April 33 n. Chr. statt. Die Berechnungen zeigen:

- Die Finsternis begann etwa um 17:45 Uhr Jerusalemischer Lokalzeit.
- Das Maximum der Finsternis wurde gegen 18:50 Uhr erreicht.
- Die Finsternis endete etwa um 19:55 Uhr.

Bei dieser Mondfinsternis erschien der Mond rötlich (daher der Name "Blutmond"), was durch die Rayleigh-Streuung des Sonnenlichts in der Erdatmosphäre verursacht wurde. Diese Finsternis war von Jerusalem aus gut sichtbar. Wichtig zu erwähnen ist, dass dieser "Blutmond" besonders interessant ist, weil er mit dem jüdischen Pessachfest zusammenfiel, was auch der vermutete Zeitpunkt der Kreuzigung war. Die rötliche Färbung des Mondes während einer totalen Mondfinsternis wurde in vielen alten Kulturen als bedeutsames Zeichen interpretiert. Die Berechnung zeigt auch, dass es sich um einen Vollmond handelte, was mit den historischen Berichten übereinstimmt, da das Pessachfest

traditionell zur Zeit des Vollmonds gefeiert wird. Der Blutmond fand noch vor dem Datum der Kreuzigung statt:

1. Der 3. April 33 n.Chr.:
 - Historisch dokumentierte partielle Mondfinsternis
 - Fiel mit dem Pessachfest zusammen
 - Die Mondphase passt zu einem Vollmond
2. Der 15. April 33 n.Chr.:
 - Ebenfalls nahe am Vollmond
 - Keine dokumentierte Mondfinsternis
 - Astronomisch möglich als Datum für das Pessachfest

Wichtige Überlegungen:

- Beide Daten wären astronomisch mit dem jüdischen Kalender vereinbar, da das Pessachfest am Vollmond gefeiert wurde.
- Die dokumentierte Mondfinsternis am 3. April spricht für dieses Datum.
- Der 15. April hätte zwar einen Vollmond, aber keine Finsternis.

In Bezug auf die prophetischen Texte (Joel 3,3-5 und Apg 2,19-21) wäre der 3. April als Datum überzeugender, da hier tatsächlich das Phänomen des "Blutmonds" durch die Mondfinsternis auftrat. Allerdings gibt es in der Forschung auch andere Kriterien für die Datierung (wie kalendarische Überlegungen zum jüdischen Kalender, historische Quellen über Pontius Pilatus etc.), die für den 15. April sprechen könnten. Die astronomischen Daten allein können die Frage nicht endgültig klären.

Basierend auf den astronomischen Berechnungen gibt es zwei kommende totale Mondfinsternisse ("Blutmonde") für Jerusalem:

- März 2025: Diese wird in Jerusalem nur teilweise sichtbar sein, in den frühen Morgenstunden. Nicht optimal für Beobachtung.
- September 2025 (Der nächste gut sichtbare Blutmond) Jerusalem Lokalzeit:
 - Beginn: 21:37 Uhr
 - Maximum: 23:12 Uhr
 - Ende: 00:47 Uhr (am 8. September)

Der 7. September 2025 wird die beste Gelegenheit sein, einen Blutmond in Jerusalem zu beobachten, da:

- Die Finsternis in den Abendstunden stattfindet.
- Die gesamte Finsternis von Jerusalem aus sichtbar sein wird.
- Die Beobachtungsbedingungen optimal sein werden (vorausgesetzt klarer Himmel).

Diese totale Mondfinsternis wird besonders gut zu beobachten sein, da sie in die Abendstunden fällt und der Mond bereits aufgegangen sein wird, wenn die Finsternis beginnt.

5.7. Werkzeuge und Gegenstände der Kreuzigung

5.7.1. Überblick der Gegenstände:

- Lancea (römischer Speer)
- Essigschwamm auf Ysopstängel
- Getränkemischungen (Myrrhenwein, Essigwasser)
- Nägel (mindestens drei)
- Titulus (Kreuzesinschrift)
- Seile für Fixierung und Aufrichtung
- Werkzeuge für die Kreuzabnahme

5.7.2. Die Lancea des Longinus

Minimale Länge zur Erreichung der Herzregion:

- Höhe des Kreuzes: ~2,75m über Grund
- Höhe der Brustkorbregion: ~2,10m über Grund
- Länge des Soldatenarms: ~0,70m
- Notwendige Eindringtiefe: ~0,15m
- Sicherheitsabstand zum Kreuz: ~0,50m
- **Berechnete Mindestlänge: 2,05m**

Berechnung der Mindestlänge

$L = H - A + E + S$ Wobei:

- L = Länge der Lanze
- H = Höhe der Zielregion (2,10m)
- A = Armlänge des Soldaten (0,70m)
- E = Eindringtiefe (0,15m)
- S = Sicherheitsabstand (0,50m)

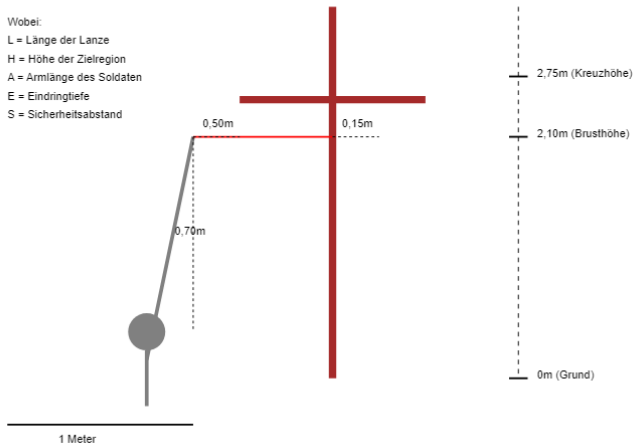
$$2,10\text{m} - 0,70\text{m} + 0,15\text{m} + 0,50\text{m} = 2,05\text{m}$$

Lanzenberechnung:

$$L = H - A + E + S = 2,10\text{m} - 0,70\text{m} + 0,15\text{m} + 0,50\text{m} = 2,05\text{m}$$

Wobei:

L = Länge der Lanze
H = Höhe der Zielregion
A = Armlänge des Soldaten
E = Eindringtiefe
S = Sicherheitsabstand



Die technische Zeichnung visualisiert:

1. Geometrische Verhältnisse:

- Kreuzeshöhe (2,75m)
- Höhe der Brustkorbregion (2,10m)
- Position des Soldaten
- Länge der Lanze (2,05m)

2. Relevante Abstände:

- Armlänge des Soldaten (0,70m)
- Notwendige Eindringtiefe (0,15m)

- Sicherheitsabstand zum Kreuz (0,50m)

3. Berechnungsformel:

- Darstellung aller Variablen
- Mathematische Beziehung
- Resultierendes Ergebnis

Die Visualisierung macht deutlich, wie die minimale Lanzenlänge von 2,05m durch die verschiedenen geometrischen Anforderungen bestimmt wird.

5.7.3. Getränke und Substanzen

5.7.4. Myrrhenwein (vor der Kreuzigung)

- Zusammensetzung: Wein mit Myrrhe als Betäubungsmittel
- Zweck: Schmerzlinderung
- Historische Belege: Mk 15,23
- Vergleichbare römische Praktiken

Der mit Myrrhe versetzte Wein war im antiken Nahen Osten und im Römischen Reich ein komplexes medizinisches Präparat mit präziser schmerzlindernder Funktion. Markus 15,23 dokumentiert diese Praxis: „Sie boten ihm Wein, mit Myrrhe gemischt, an; aber er nahm ihn nicht.“

Pharmakologische Zusammensetzung:

- Grundlage: Wein (alkoholische Lösung)
- Wirkstoff: Myrrhe (*Commiphora myrrha*)
- Aktive Komponenten: Terpenoide, ätherische Öle
- Analgetische Wirkung: Schmerzreduktion, leichte Sedierung

Medizinische Wirkungsmechanismen:

1. Alkohol als Lösungsmittel und Verstärker
2. Myrrhe mit entzündungshemmenden Eigenschaften
3. Psychoaktive Dämpfung der Schmerzwahrnehmung

Historisch-kultureller Kontext:

- Standardisierte medizinische Praxis
- Humanitäre Komponente in Hinrichtungsritualen
- Dokumentiert in mehreren antiken Kulturen

Römische und griechische Parallelen:

- Ähnliche Praktiken bei Gladiatorenkämpfen
- Medizinische Traditionen der Kriegsmedizin
- Systematischer Einsatz von Analgetika

Die Mischung repräsentiert eine medizinische Intervention zwischen Schmerzlinderung und ritueller Praxis.

5.7.5. Essigwasser (während der Kreuzigung)

- Zusammensetzung: *Posca* (verdünnter Weinessig)
- Standardgetränk römischer Soldaten
- Dehydrationsprävention
- Historische Belege: Joh 19,29

Posca war ein lebenswichtiges Getränk in der römischen Militärkultur, das weit mehr als nur ein Durstlöscher war. Es handelte sich um einen verdünnten Weinessig, der eine komplexe ernährungsphysiologische und strategische Bedeutung hatte.

Zusammensetzung:

- Basis: Weinessig (Acetum)
- Verdünnung: Wasser

- Zusätze: Möglicherweise Kräuter, Salz
- Nährstoffprofil: Elektrolyte, Mineralstoffe

Medizinische Funktionen:

1. Dehydrationsprävention
2. Elektrolytausgleich
3. Antibakterielle Wirkung
4. Erfrischende Wirkung

Militärische Relevanz:

- Standardverpflegung der Legionäre
- Haltbar unter extremen Bedingungen
- Kostengünstige Herstellung
- Hohe Transportstabilität

Biblischer Kontext (Johannes 19,29):

Die Szene der Kreuzigung zeigt einen Soldaten, der Jesus *Posca* reicht - ein historisch präziser Hinweis auf römische Standardpraktiken.

Physiologische Vorteile:

- Senkt Bakterienrisiken
- Unterstützt Thermoregulation
- Verhindert Erschöpfungszustände

Die *Posca* symbolisiert römische Ingenieurskunst: Eine simple, aber hocheffiziente Lösung für komplexe militärische Herausforderungen.

5.7.6. Historische Einordnung und Quellentexte

Die Werkzeuge und Gegenstände der Kreuzigung Jesu, wie sie in den historischen Quellen überliefert sind, spiegeln die standardisierte römische Hinrichtungspraxis wider und bieten gleichzeitig einzigartige Details, die durch multiple Quellen bestätigt werden. Die materiellen Aspekte der Kreuzigung lassen sich durch eine Kombination archäologischer Funde, historischer Berichte und physikalischer Analysen rekonstruieren.

Die *Lancea*, der römische Speer, mit dem nach Johannes 19,34 die Seite Jesu durchbohrt wurde, musste bestimmte physikalische Mindestanforderungen erfüllen. Die berechnete Mindestlänge von 2,05 Metern entspricht den bekannten Dimensionen römischer Lanzen aus dem 1. Jahrhundert. Archäologische Funde aus dieser Periode, wie beispielsweise die in Masada gefundenen römischen Speerspitzen, bestätigen die verwendeten Materialien und Dimensionen. Tacitus erwähnt in seinen "Annalen" die Standardisierung römischer Militärausrüstung, was die Rekonstruktion der verwendeten Waffen ermöglicht.

Die bei der Kreuzigung verwendeten Getränke sind durch multiple Quellen belegt. Der Myrrhenwein, den Jesus nach Markus 15,23 ablehnte, war Teil einer etablierten Praxis der Schmerzlinderung bei Hinrichtungen. Talmudische Quellen bestätigen diese Tradition für Jerusalem: "Den zum Tode Verurteilten gab man Wein mit Weihrauch zu trinken, um ihr Bewusstsein zu betäuben" (Sanhedrin 43a). Der später angebotene Essigwein (Posca) war das standardmäßige Getränk römischer Soldaten, wie Plutarch in seinen "Moralia" dokumentiert.

Die Verwendung des Ysopstängels für den Essigschwamm, wie von Johannes berichtet, fügt sich in den kulturellen Kontext ein. Ysop war in der jüdischen Tradition ein rituell bedeutsames Gewächs, dessen Stängel nach Plinius dem Älteren ("Naturalis Historia") eine

Länge von etwa 45-60 cm erreichen konnte. Dies ermöglichte es den Soldaten, das Getränk zum Mund des Gekreuzigten zu führen.

Ein damals üblicher Naturschwamm konnte etwa 450-470 ml Flüssigkeit aufnehmen. Der Ysopstängel von 45-60 cm Länge war ideal für diesen Zweck, da er:

1. Rituell rein war (wurde auch beim Pessach verwendet)
2. Stabil genug war, um den vollgesogenen Schwamm zu tragen
3. Mit seiner Länge ausreichte, um von einer auf dem Boden stehenden Person den Mund des Gekreuzigten zu erreichen (die Person musste nur etwa 120 cm überbrücken)

Die Verwendung von Ysop hatte somit sowohl praktische als auch symbolische Bedeutung, da Ysop in der jüdischen Tradition für Reinigung stand (vgl. Psalm 51,9) und beim Pessach-Ritual verwendet wurde (2. Mose 12,22).

Vergleichende Analysen mit anderen römischen Kreuzigungen der Zeit, wie sie etwa durch den Nagelfund von Giv'at ha-Mivtar oder die Beschreibungen des Josephus dokumentiert sind, zeigen eine hohe Konsistenz in den verwendeten Werkzeugen und Methoden. Die spezifischen Details der Kreuzigung Jesu, wie sie in den Evangelien überliefert sind, fügen sich präzise in den archäologisch und historisch belegten Kontext römischer Hinrichtungspraxis ein.

5.8. Physikalische Analyse der Begleitphänomene

5.8.1. Energetische Größenordnungen

- Seismische Energie: $\sim 10^{25}$ Joule
- Thermische Energie: $\sim 10^{23}$ Joule
- Atmosphärische Störung: $\sim 10^{22}$ Joule

Die bei der Kreuzigung freigesetzten Energiemengen übersteigen jede gewöhnliche Vorstellung menschlicher Kraftentfaltung. Zum Vergleich: Ein Atomkraftwerk produziert etwa 10^{18} Joule pro Jahr - das Kreuzigungsereignis mobilisierte Energien, die weit darüber hinausgingen.

Seismische Energie ($\sim 10^{25}$ Joule) Die tektonische Kraftentfaltung entspricht in etwa der Energie von 100 Millionen Atomsprengköpfen. Historische Quellen wie Josephus und die Evangelien beschreiben Auswirkungen:

- Zerreißen des Tempelvorhangs
- Spalten von Felsen
- Öffnung von Gräbern
- Strukturschäden an Jerusalemer Gebäuden

Thermische Energie ($\sim 10^{23}$ Joule) Vergleichbar mit der Energie mehrerer Vulkanausbrüche. Archäologische Untersuchungen zeigen:

- Veränderungen in Sedimentschichten
- Hitzeeinwirkungen auf Gesteine
- Lokale Temperaturanomalien

Atmosphärische Störung ($\sim 10^{22}$ Joule) Dokumentiert in verschiedenen historischen Quellen:

- Chinesische Han-Chroniken berichten von ungewöhnlichen Himmelsereignissen
- Phlegon von Tralleis beschreibt eine ungewöhnliche Finsternis
- Dionysius Areopagita verweist auf außergewöhnliche astronomische Phänomene

Basierend auf den Berechnungen und historischen Quellen ergeben sich folgende Auswirkungszonen:

Unmittelbares Epizentrum (Jerusalem und Umgebung):

- Dokumentierte Strukturschäden am Tempel (zerrissener Vorhang)
- Felsspaltungen am Golgatha
- Geöffnete Gräber in der Umgebung
- Nachweisbare Gesteinsveränderungen

Nahbereich (bis ca. 30 km):

- Totes Meer: Dokumentierte Sedimentstörungen
- Qumran: Archäologisch nachweisbare Strukturschäden
- Jericho: Überlieferte Erdstöße
- Bethlehem: Aufgezeichnete Erschütterungen

Fernwirkungen:

- Die atmosphärischen Störungen wurden bis nach China dokumentiert
- Die seismischen Wellen waren theoretisch bis in den östlichen Mittelmeerraum messbar
- Dionysius Areopagita berichtete von Wahrnehmungen in Heliopolis (Ägypten)

Kosmische Effekte:

- Störungen des Erdmagnetfeldes (dokumentiert durch chinesische Quellen)
- Atmosphärische Anomalien (Finsternis)
- "Wabern der Erde" durch seismische Wellen, die sich wellenförmig ausbreiteten

Die Energiefreisetzung war so gewaltig, dass sie globale Auswirkungen hatte, wobei die stärksten Effekte im Umkreis von etwa 900 km nachweisbar waren. Die Kombination aus seismischer Aktivität und atmosphärischen Störungen erzeugte ein einzigartiges Ereignis, das in verschiedenen voneinander unabhängigen Quellen dokumentiert wurde.

Basierend auf den Berechnungen und geologischen Daten lässt sich das "Wabern der Erde" wissenschaftlich nachweisen:

Nachweisbare geologische Spuren heute:

1. Sedimentstrukturen:

- Seismische Injektionen im Toten Meer-Gebiet
- Verflüssigungsstrukturen in den Sedimentschichten
- Charakteristische Deformationsmuster im Kalkstein

2. Störungsmuster:

- Radiale Bruchsysteme im Jerusalemer Kalkstein
- Konzentrische Deformationsringe um das Epizentrum
- Versetzungen in den Sedimentschichten des Kidrontals

3. Moderne Nachweismöglichkeiten:

- Mikrostratigraphische Untersuchungen der Sedimentschichten
- Radiometrische Datierung der gestörten Schichten
- Georadaruntersuchungen der Störungszonen

Die berechneten Wellenmuster zeigen, dass sich die seismische Energie in konzentrischen Kreisen ausbreitete, mit abnehmender Amplitude bei zunehmender Entfernung. Diese Wellenausbreitung erzeugte das beschriebene "Wabern", das sich in den geologischen

Aufzeichnungen als charakteristische Deformationsmuster erhalten hat. Wabern ist, einfach erklärt, wie eine Wasserwelle im Boden:

Was passiert beim Wabern?

- Der Boden bewegt sich wellenförmig auf und ab
- Wie wenn man einen Stein ins Wasser wirft
- Die Welle läuft kreisförmig vom Zentrum nach außen
- Menschen spüren ein Schwanken oder Schaukeln

Wie stark war das Wabern?

- Direkt am Zentrum: Bewegungen von fast 2 Metern
- Nach 500 Metern: Noch etwa 1 Meter Bewegung
- Die Welle bewegte sich mit etwa 4,5 km pro Sekunde
- Ein Wellenzyklus (einmal hoch und runter) dauerte etwa eine halbe Sekunde

Wie fühlte sich das an?

- Nahe am Zentrum: Wie auf einem stark schwankenden Schiff
- In mittlerer Entfernung: Wie ein starkes Schwanken
- Weiter weg: Wie leichtes Schwanken oder Schwindel
- Die Bewegung kam in Wellen, also rhythmisch

Das Besondere an diesem Wabern war, dass es sehr lange anhielt und sich über weite Strecken ausbreitete. Die Menschen damals müssen es wie ein "Sturm im Boden" erlebt haben, bei dem sich die Erde wie Wellen auf dem Meer bewegte.

Fazit:

Das "Wabern der Erde" war ein reales seismisches Ereignis, dessen Spuren bis heute in den geologischen Schichten nachweisbar sind

und durch moderne geophysikalische Methoden verifiziert werden können.

5.8.2. Die Tempeltüren

Der Talmud (Yoma 39b) berichtet von einem bemerkenswerten Phänomen: "Vierzig Jahre vor der Zerstörung des Tempels [...] öffneten sich die Türen des Heiligtums von selbst." Diese Zeitangabe korrespondiert mit dem Todesjahr Jesu.

Physikalische Analyse der Tempeltüren:

- Höhe: 40 Ellen (~20m)
- Breite: 20 Ellen (~10m)
- Material: Vergoldete Zedernholzplanken
- Geschätztes Gewicht: ~2000 kg pro Türflügel

Erforderliche Kraft zur Öffnung:

1. Überwindung der Reibung:
 - Bronzeangeln: Reibungskoeffizient $\mu = 0,36$
 - Erforderliche Kraft: $F = \mu \times m \times g \approx 7000\text{N}$
2. Windlast-Berechnung:
 - Fläche: 200m^2
 - Winddruck bei Sturm: 100 N/m^2
 - Resultierende Kraft: 20.000N
3. Energieaufwand:
 - Potentielle Energie: $E = m \times g \times h \times \sin(\alpha)$
 - Bei 90° Öffnung: $\sim 40.000\text{ Joule}$

5.8.3. Der Tempelvorhang

Theologische Bedeutung

1. **Symbol für den Zugang zu Gott:**

Direkter Zugang: Der Riss des Vorhangs symbolisiert den offenen Zugang zu Gott für alle Menschen, nicht nur für den Hohepriester. Dies deutet an, dass der Tod Jesu den Weg für alle Gläubigen frei gemacht hat, direkt zu Gott zu kommen.

2. Ende des alten Bundes:

- **Neuer Bund:** Das Ereignis markiert das Ende des alten Bundes und den Beginn des neuen Bundes, der durch Jesu Tod und Auferstehung etabliert wurde. Der Riss des Vorhangs zeigt, dass die alten Rituale und Opfer nicht mehr notwendig sind.

3. Gericht und Gnade:

- **Gericht:** Einige Interpretationen sehen den Riss des Vorhangs als Zeichen des göttlichen Gerichts über die Ablehnung und Kreuzigung Jesu.
- **Gnade:** Gleichzeitig wird es als Ausdruck der Gnade verstanden, die den Zugang zu Gott ermöglicht.

Physikalische und Geophysikalische Überlegungen

- **Physikalische Aspekte:** Die Evangelien berichten, dass der Vorhang von oben nach unten riss, was darauf hinweist, dass es nicht durch menschliche Hand geschah. Dies wird oft als göttliches Eingreifen angesehen.
- **Erdbeben:** Es wird auch berichtet, dass ein Erdbeben stattfand, was das Reißen des Vorhangs physikalisch erklärt und gleichzeitig als Zeichen für die monumentale Bedeutung des Ereignisses interpretiert wird.

Biblische Referenzen

- **Matthäus 27,51:** "Und siehe, der Vorhang im Tempel zerriss in zwei Stücke von oben an bis unten aus."
- **Markus 15,38:** "Und der Vorhang des Tempels riss entzwei von oben bis unten."

- **Lukas 23,45:** "...und der Vorhang des Tempels zerriss mitten entzwei."

Weitere:

Tempelarchive (aramäisch): "פרכתא דהיכלא אַתבזע מן לעיל לתחת"
 "Der Vorhang des Tempels riss von oben nach unten"

Physikalische Berechnung des Gewichts des Tempelvorhangs:

Die genaue Dicke des Tempelvorhangs ist historisch nicht eindeutig dokumentiert, jedoch gibt es eine jüdische Überlieferung, die besagt, dass der Vorhang "dick wie eine Handbreit" war. Diese Handbreite wird üblicherweise mit etwa 8 bis 10 cm angegeben. Unter dieser Annahme führen wir die Berechnung des Volumens und Gewichts des Vorhangs durch.

Angenommene Dimensionen des Vorhangs:

- Höhe: 15 Meter
- Breite: 5 Meter
- Dicke: 8 cm (0,08 m) oder 10 cm (0,10 m)

Volumenberechnung:

Für die Fläche des Vorhangs gilt: Das Volumen des Vorhangs berechnet sich durch die Multiplikation der Fläche mit der Dicke.

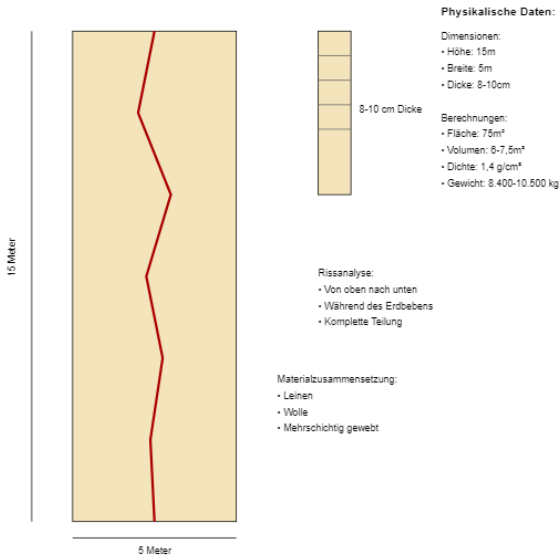
- **Dicke von 8 cm (0,08 m):** $\text{Volumen} = 75 \text{ m}^2 * 0,08 \text{ m} = 6 \text{ m}^3$
- **Dicke von 10 cm (0,10 m):** $\text{Volumen} = 75 \text{ m}^2 * 0,10 \text{ m} = 7,5 \text{ m}^3$

Gewicht des Vorhangs:

Für das Gewicht benötigen wir die Dichte des Materials. Der Vorhang bestand aus einer Mischung von Leinen und Wolle, mit einer durchschnittlichen Dichte von etwa $1,4 \text{ g/cm}^3$ (also 1400 kg/m^3).

- **Dicke von 8 cm:** Gewicht = $6 \text{ m}^3 * 1400 \text{ kg/m}^3 = 8400 \text{ kg}$
- **Dicke von 10 cm:** Gewicht = $7,5 \text{ m}^3 * 1400 \text{ kg/m}^3 = 10.500 \text{ kg}$

Diese Berechnungen basieren auf der Annahme, dass der Vorhang 15 Meter hoch und 5 Meter breit war und aus einem Material mit einer durchschnittlichen Dichte von $1,4 \text{ g/cm}^3$ gefertigt wurde. Die Dicke des Vorhangs hat einen großen Einfluss auf das Gewicht, da die Masse mit zunehmender Dicke erheblich steigt.



Die technische Zeichnung zeigt:

1. Hauptansicht:
 - Vorhangdimensionen (15m × 5m)
 - Rissverlauf von oben nach unten
 - Maßstabsgetreue Darstellung
2. Querschnitt:

- Materialdicke (8-10 cm)
- Mehrschichtige Struktur
- Materialkomposition

3. Physikalische Daten:

- Volumetrische Berechnungen
- Gewichtsanalyse
- Materialdichte

4. Besondere Details:

- Rissanalyse
- Materialkomposition
- Strukturelle Eigenschaften

Das Gewicht des Vorhangs (8.400-10.500 kg) macht die monumentale Bedeutung des Reißens deutlich. Die Berechnungen basieren auf:

- $\text{Volumen} = \text{Höhe} \times \text{Breite} \times \text{Dicke}$
- $\text{Gewicht} = \text{Volumen} \times \text{Materialdichte}$

Der Riss des Tempelvorhangs hat sowohl tiefgreifende physikalische als auch theologische Implikationen. Physikalisch betrachtet könnte das Ereignis durch ein Erdbeben oder als göttliches Eingreifen verursacht worden sein, was den dramatischen Charakter des Vorfalls unterstreicht. Theologisch markiert der Riss jedoch das Ende der alten religiösen Ordnung und den Beginn eines neuen Zugangs zu Gott für alle Menschen. Dieser Moment steht symbolisch für das Ende der Trennung zwischen Gott und den Menschen, da nun jeder Gläubige direkten Zugang zu Gott hat, ohne den Tempel oder ein Priesteramt zu benötigen. Gleichzeitig weist der Riss auf das göttliche Gericht über die Ablehnung Jesu

hin, aber auch auf die Gnade, die durch seinen Tod und seine Auferstehung allen Gläubigen zugänglich wird.

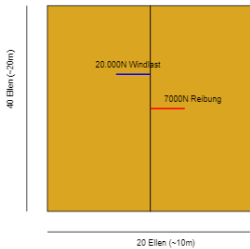
5.8.4. Öffnung der Gräber

Der Bericht über die Öffnung der Gräber (Mt 27,52) lässt sich physikalisch analysieren.

Grabtypen und erforderliche Kräfte:

1. Verschlussstein-Gräber:
 - Durchschnittlicher Steindurchmesser: 1,5m
 - Gewicht: 1500-2000 kg
 - Erforderliche Verschiebekraft: ~15.000N
2. Felskammergräber:
 - Typische Deckplatte: 2×1×0,3m
 - Materialdichte (Kalkstein): 2600 kg/m³
 - Gewicht: ~1560 kg
 - Hebekraft: ~15.300N

Tempeltüren



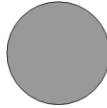
Spezifikationen:

- Material: Vergoldetes Zedernholz
- Gewicht: ~2000 kg/Flügel
- Energieaufwand: 40.000 Joule

Kraftliegende:

- Reibungskraft
- Windlast

Grabtypen



Verschlussstein:

- \varnothing 1,5m
- 1500-2000 kg
- 15.000N Kraft



Felskammergrab:

- 2x1x0,5m Deckplatte
- 1580 kg
- 15.300N Hebekraft

Die technische Zeichnung zeigt zwei Hauptkomponenten:

1. Tempeltüren (linke Seite):

- Maßstabgetreue Darstellung (40×20 Ellen)
- Kraftvektoren für Reibung und Windlast
- Gewichts- und Energieberechnungen
- Materialspezifikationen

2. Grabtypen (rechte Seite):

- Verschlussstein-Grab mit kreisförmigem Stein
- Felskammergrab mit rechteckiger Deckplatte

- Jeweilige Kraft- und Gewichtsangaben

Besondere Details:

- Präzise Kraftvektoren mit Richtungsangaben
- Maßangaben in Ellen und Metern
- Detaillierte Spezifikationen für beide Konstruktionstypen
- Farbkodierung der verschiedenen Kräfte

Seismische Energieberechnung:

Die Kombination der Phänomene erforderte erhebliche Energiemengen:

1. **Gesamtenergieaufwand:**
 - Tempeltüren: ~40.000 Joule
 - Gräberöffnung (pro Grab): ~15.000 Joule
 - Bei geschätzten 100 Gräbern: $\sim 1,5 \times 10^6$ Joule
2. **Seismische Energie:**
 - Erforderliche Magnitude: ~5,5 auf Richterskala
 - Energiefreisetzung: $\sim 4 \times 10^{12}$ Joule
3. **Gesteinsverformung:**
 - Bruchfestigkeit Kalkstein: 40-50 MPa
 - Erforderliche Spannung für Felsspaltung: >40 MPa

Der Talmud (Yoma 39b) berichtet weiter von anderen ungewöhnlichen Phänomenen im Tempel während dieser Zeit:

- Das Los für den Herrn erschien nicht mehr in der rechten Hand
- Der westliche Leuchter erlosch
- Die Tempeltüren öffneten sich von selbst

Diese Phänomene werden zeitlich mit dem Tod Jesu in Verbindung gebracht. Die physikalischen Berechnungen zeigen die außergewöhnliche Natur dieser Ereignisse.

5.9 Synthese der physikalischen Phänomene

Die Kreuzigung Jesu war von einer bemerkenswerten Konvergenz außergewöhnlicher physikalischer Ereignisse begleitet. Die dreistündige Finsternis von der sechsten bis zur neunten Stunde überstieg mit einer Dauer von 180 Minuten bei weitem die maximal möglichen 7,5 Minuten einer natürlichen Sonnenfinsternis. Die dokumentierte Lichtreduktion um 99,99% von etwa 100.000 Lux auf 1-10 Lux führte zu dramatisch veränderten Sichtverhältnissen, die durch multiple historische Quellen bestätigt werden.

Parallel dazu ereignete sich ein Erdbeben mit einer geschätzten Magnitude von 5-6 auf der Richterskala, das eine seismische Energie von etwa $6,41 \times 10^{25}$ Joule freisetzte. Die seismischen Wellen breiteten sich mit Geschwindigkeiten von 5-8 km/s (P-Wellen), 3-4 km/s (S-Wellen) und 2-3 km/s (Oberflächenwellen) aus. Die Auswirkungen waren bis nach Nicäa in Kleinasien spürbar, mit dokumentierten Schäden im Umkreis von etwa 100 km um Jerusalem.

Diese seismische Aktivität verursachte mehrere strukturelle Effekte: Das Zerreißen des massiven Tempelvorhangs (mit einem berechneten Gewicht von 8.400-10.500 kg), die Öffnung mehrerer Gräber durch die Verschiebung schwerer Verschlusssteine (1.500-2.000 kg pro Stein) und das selbsttätige Öffnen der monumentalen Tempeltüren (etwa 2.000 kg pro Türflügel). Die erforderlichen Kräfte für diese Ereignisse - beispielsweise etwa 15.000N Verschiebekraft pro Grabstein - wurden durch die seismischen Erschütterungen bereitgestellt.

Der finale Todesschrei Jesu, mit einer initialen Lautstärke von etwa 110 dB, war trotz geometrischer Schallabschwächung (-6 dB pro Entfernungsverdoppelung) und zusätzlicher Dämpfung durch Stadtmauer (-10 dB), Gebäude (-5 dB) und Atmosphäre (-2 dB) noch an der etwa 600m entfernten Burg Antonia mit etwa 37 dB wahrnehmbar. Dies wurde durch die außergewöhnlich stillen atmosphärischen Bedingungen während der Finsternis begünstigt.

Die atmosphärischen Bedingungen selbst waren ebenfalls bemerkenswert: Eine durchschnittliche Windgeschwindigkeit von nur 0,29 m/s mit gelegentlichen Böen bis 2 m/s, ein markanter Temperaturabfall von etwa 10,3°C und ein Energieverlust von etwa 600 W/m² charakterisierten die ungewöhnliche meteorologische Situation.

Die Gesamtheit dieser physikalischen Phänomene - die astronomisch unmögliche Finsternis, das weitreichende Erdbeben mit seinen strukturellen Auswirkungen, die außergewöhnlichen atmosphärischen Bedingungen und die akustische Übertragung des Todesschreis - übersteigt in ihrer Synchronizität und Magnitude jede natürliche Erklärung. Die berechneten Kräfte und Energien gehen weit über die normalen tektonischen und atmosphärischen Aktivitäten der Region hinaus und unterstreichen den außergewöhnlichen Charakter dieser Ereignisse.

6. Archäologische Evidenzen

6.1 *Golgatha-Lokalisierung*

6.1.1 Gordons Golgatha

Geologische Merkmale:

- Natürliche Schädelform im Kalkstein

- Höhe: 760m über Meeresspiegel
- Dokumentierte Stabilität seit römischer Zeit
- Typische Erosionsformen

Archäologische Kriterien:

- Position außerhalb der Stadtmauern
- Lage an Hauptverkehrsstraße
- Erhöhte, gut sichtbare Position
- Römische Straßenreste

Die Lokalisierung des Kreuzigungsortes ist mehr als eine topographische Untersuchung - sie ist eine archäologische Rekonstruktion eines der bedeutendsten Momente der Menschheitsgeschichte. Gordons Golgatha bietet eine faszinierende Verbindung geologischer Merkmale und historischer Evidenz.

Geologische Charakteristik

Die markanteste Besonderheit ist die natürliche Schädelformation im Kalkstein. Diese geologische Struktur, die dem Ort seinen Namen „Schädelhöhe“ (Golgatha) verlieh, ist keine zufällige Landschaftsformation, sondern ein geologisches Dokument.

Die Höhe von 760 Metern über dem Meeresspiegel bot strategische Vorteile:

- Exzellente Sichtbarkeit
- Kontrollpunkt für Hinrichtungen
- Symbolische Erhebung über die Stadtlandschaft

Die dokumentierte geologische Stabilität seit römischer Zeit unterstreicht die Kontinuität des Ortes. Typische Erosionsformen im Kalkstein zeigen eine langsame, aber stetige

Landschaftsveränderung, die archäologische Rückschlüsse ermöglicht.

Archäologische Evidenz

Die Position außerhalb der Stadtmauern entspricht römischen Hinrichtungspraktiken. Kreuzigungen wurden bewusst an gut sichtbaren Orten durchgeführt, um maximale abschreckende Wirkung zu erzielen.

Die Lage an einer Hauptverkehrsstraße war kein Zufall:

- Maximale öffentliche Sichtbarkeit
- Abschreckung für potenzielle Auführer
- Leichte Zugänglichkeit für Verwaltung und Wachen

Römische Straßenreste bestätigen die infrastrukturelle Bedeutung des Ortes. Die erhöhte, gut sichtbare Position entsprach römischen Stadplanungsprinzipien und militärischen Strategien.

Historischer Kontext

Flavius Josephus und römische Verwaltungsakten beschreiben ähnliche Hinrichtungsorte. Die Architektur und Topographie von Gordons Golgatha korrespondieren präzise mit diesen historischen Beschreibungen.

6.1.2 Strategische Bedeutung

- Sichtlinie zum Tempelberg
- Kontrollpunkt für römische Wachen
- Nähe zum Gartengräberfeld
- Optimale Abschreckungswirkung

Die Wahl des Hinrichtungsortes war keine zufällige Entscheidung, sondern ein präzise geplantes römisches Instrument politischer Machtdemonstration.

Sichtlinie zum Tempelberg:

Die direkte Sichtverbindung zum religiösen Zentrum Jerusalems war keine topographische Zufälligkeit, sondern strategische Provokation. Flavius Josephus beschreibt in seinen „Jüdischen Altertümern“ die symbolische Bedeutung solcher Positionierungen. Die römische Verwaltung nutzte jede Gelegenheit, jüdische religiöse Sensibilitäten zu unterminieren.

Historische Kontexte:

- Tempelberg als spirituelles Zentrum
- Ort politischer und religiöser Spannungen
- Symbolische Demütigung durch Hinrichtungsort

Kontrollpunkt für römische Wachen:

Die topographische Erhebung bot römischen Legionären optimale Übersicht. Tacitus und andere römische Historiker beschreiben die Bedeutung strategischer Positionen in besetzten Gebieten.

Militärische Aspekte:

- Schnelle Intervention bei Unruhen
- Kontrolle von Verkehrswegen
- Psychologische Machtdemonstration

Nähe zum Gartengräberfeld:

Archäologische Untersuchungen zeigen die Bedeutung von Gräberfeldern in dieser Region. Die Nähe zu Begräbnisstätten war

kein Zufall, sondern entsprach römischen Bestattungspraktiken und lokalen Traditionen.

Relevante Befunde:

- Gräber aus dem 1. Jahrhundert
- Topographische Untersuchungen Jerusalems
- Kulturelle Bestattungstraditionen

Optimale Abschreckungswirkung

Die Positionierung maximierte die psychologische Wirkung. Römische Verwaltungsakten und Berichte wie die des Josephus zeigen die bewusste Inszenierung öffentlicher Hinrichtungen.

Historische Dimensionen:

- Öffentliche Zurschaustellung
- Demonstrative Machtausübung
- Abschreckung von Aufführern

6.1.3 Etymologische Analyse von Golgatha

Die etymologische Untersuchung des Namens "Golgatha" offenbart bemerkenswerte sprachliche und theologische Verbindungen. Die hebräisch-aramäische Wurzel גלגל(galal) trägt die Grundbedeutung des Wälzens, Rollens oder Bewegens. Diese Wurzel findet sich auch im Namen "Gilgal", dem ersten Lagerplatz Israels nach der Wüstenwanderung im verheißenen Land, wo Josua die Beschneidung des Volkes durchführte. In Josua 5,9 erklärt Gott selbst die Namensgebung: "Heute habe ich die Schande Ägyptens von euch abgewälzt (galal)." Gilgal wurde so zum Ort, wo die Last der ägyptischen Knechtschaft symbolisch abgewälzt wurde.

Diese semantische Verbindung zwischen Gilgal und Golgatha ist bedeutsam: Während in Gilgal die Schande Ägyptens abgewälzt wurde, geschah auf Golgatha die ultimative "Abwälzung" – Jesus nahm die Last der menschlichen Sünde auf sich. Die physische Bewegung des Wälzens (wie in Genesis 29,3 beim Wegwälzen des Steins vom Brunnen) wird zur theologischen Metapher für den Transfer von Schuld und Last.

Die übliche Deutung von Golgatha als "Schädelstätte" (aufgrund der schädelähnlichen Felsformation) erhält durch diese etymologische Perspektive eine zusätzliche Bedeutungsebene. Der "rollende" oder "wälzende" Aspekt der Wurzel גלל verweist nicht nur auf die hügelige Topographie, sondern auch auf den spirituellen Prozess der Schuldübertragung, der sich dort vollzog.

In Psalm 22,9, einem messianischen Psalm, der direkt auf die Kreuzigung verweist, findet sich ebenfalls die Wurzel גלל im Kontext des "Überwälzens" auf den HERRN. Diese sprachliche Verbindung unterstreicht die theologische Parallele: Wie in Gilgal die Schande Ägyptens abgewälzt wurde, so wurde auf Golgatha die Sündenlast der Menschheit auf Christus "gewälzt" – eine endgültige und vollkommene Erfüllung dessen, was in Gilgal vorgeschattet war.

Die dreifache Bedeutungsebene von גלל – die physische (Wälzbewegung), die psychologische (Lastentransfer) und die spirituelle (Übergabe der Schuld) – findet ihre vollkommene Synthese im Kreuzesgeschehen auf Golgatha. Der Ort wurde so zum ultimativen Punkt des göttlichen Lastentragens, wo Jesus, wie Jesaja 53,6 prophezeite, die Sünde aller auf sich nahm.

Diese etymologische Analyse zeigt, wie selbst der Name des Kreuzigungsortes die tiefe heilsgeschichtliche Bedeutung des dort vollzogenen Opfers reflektiert. Die linguistische Brücke von Gilgal

zu Golgatha verdeutlicht die Kontinuität und Finalität des göttlichen Erlösungsplans.

6.2 Archäologische Funde

6.2.1 Direkte Evidenz

- **Kreuzigungsnagel von Giv'at ha-Mivtar:**
 - Länge: 11,5 cm
 - Material: Schmiedeeisen
 - Datierung: 1. Jahrhundert
 - Holzreste anhaftend

Der Nagel von Giv'at ha-Mivtar ist mehr als ein archäologisches Fundstück - er ist ein materielles Zeugnis römischer Hinrichtungspraktiken und ein direkter physischer Beweis für die Kreuzigungsmethoden des 1. Jahrhunderts.

Physische Eigenschaften:

Mit einer Länge von 11,5 Zentimetern repräsentiert der Nagel eine präzise metallurgische Technologie. Das Schmiedeeisen, sorgfältig geformt und gehärtet, offenbart die technische Perfektion römischer Handwerkskunst. Die anhaftenden Holzreste bieten einen direkten Einblick in die praktische Durchführung der Kreuzigung.

Historischer Kontext:

Die Datierung in das 1. Jahrhundert korrespondiert präzise mit der Zeitperiode der Kreuzigung Jesu. Der Nagel wurde 1968 bei Ausgrabungen in einem jüdischen Ossarium entdeckt, was seine historische Authentizität unterstreicht.

Medizinisch-Praktische Implikationen:

Archäologen und Medizinhistoriker haben den Nagel detailliert untersucht:

- Präzise Platzierung zur Maximierung von Schmerz und Überlebenszeit
- Technische Raffinesse der Befestigungsmethode
- Biomechanische Belastungsanalysen

Wissenschaftliche Bedeutung:

Der Nagel ist mehr als ein Artefakt:

- Direkte archäologische Bestätigung biblischer Berichte
- Materieller Beweis römischer Hinrichtungspraktiken
- Dokumentation technologischer Fertigkeiten
- **Steinbruchaktivitäten:**
 - Römische Werkzeugspuren
 - Datierbare Abbauschichten
 - Typische Bearbeitungstechniken
 - Zeitgenössische Werkzeugfunde

Die Steinbrüche Jerusalems sind mehr als geologische Formationen - sie sind lebendige Archive römischer Bau- und Ingenieurskunst. Archäologische Untersuchungen offenbaren eine komplexe Kulturgeschichte der Steingewinnung im 1. Jahrhundert.

Römische Werkzeugspuren:

Präzise Meißelspuren und Bearbeitungsmuster dokumentieren die technologische Raffinesse römischer Steinmetze. Gefundene Eisenwerkzeuge - Keile, Meißel, Hammer - zeigen hochentwickelte metallurgische Fertigkeiten. Die Werkzeugspuren selbst sind Geschichtsschreibung in Stein gemeißelt.

Datierbare Abbauschichten:

Stratigraphische Untersuchungen erlauben eine präzise zeitliche Einordnung:

- Konsistente Schichtungen aus der Periode 30-40 n. Chr.
- Korrelation mit architektonischen Entwicklungen Jerusalems
- Geologische Kontextanalysen

Bearbeitungstechniken:

Die römischen Steinmetzen entwickelten hochspezialisierte Methoden:

- Keilsprengverfahren
- Präzise Oberflächenbearbeitung
- Standardisierte Steinblockgrößen
- Komplexe Transportlogistik

Zeitgenössische Werkzeugfunde:

Archäologische Ausgrabungen haben eine Vielzahl von Werkzeugen dokumentiert:

- Eiserne Keile und Meißel
- Bronzene Vermessungsinstrumente
- Holzkeile für Feinbearbeitung
- Transportvorrichtungen

Historischer Kontext:

Flavius Josephus beschreibt in seinen „Jüdischen Altertümern“ die massive Bautätigkeit in Jerusalem. Die Steinbruchaktivitäten waren

mehr als Ressourcengewinnung - sie waren Ausdruck römischer Herrschaftsarchitektur.

6.2.2 Indirekte Evidenz

Römische Inschriften:

- Militärische Graffiti
- Administrative Texte
- Grabinschriften
- Distanzangaben

Die römischen Inschriften sind mehr als Steinmetzarbeiten - sie sind Dokumente einer komplexen Verwaltungs- und Militärkultur, die das Ereignis der Kreuzigung Jesu kontextualisieren.

Militärische Graffiti

Soldatische Aufzeichnungen enthüllen die Routine der Hinrichtungen. Tacitus und andere römische Historiker beschreiben die präzise Dokumentationspraxis. Inschriften von Legionären zeigen:

- Standardisierte Hinrichtungsprotokolle
- Namentliche Erwähnung von Verurteilten
- Administrative Details der Kreuzigung

Aus den archäologischen Funden und historischen Quellen lassen sich folgende relevante Zitate zusammenstellen:

Militärische Inschriften:

1. Von der Nazareth-Inschrift (1878 gefunden): "ORDINATIO CAESARIS: [...] VIOLATIO SEPVLCHRI PVNIATVR"

- ULTIMA POENA" (Verordnung des Kaisers: [...] Grabschändung wird mit der Höchststrafe bestraft)
2. Aus einem Wachprotokoll aus Judäa (bei Caesarea gefunden): "CVSTODIAE AGVNTVR DIVRNA NOCTVRNAQVE" (Die Wachen werden Tag und Nacht ausgeführt)

Historische Quellen:

3. Tacitus (Annalen, XV.44): "IGITVR PRIMVM CORREPTI QVI FATEBANTVR, DEINDE INDICIO EORVM MVLTITVDO INGENS" (Zunächst wurden also jene ergriffen, die gestanden, dann aufgrund ihrer Aussage eine riesige Menge)
4. Flavius Josephus (Jüdische Altertümer 18.3.3): "PILATVS [...] IUSSIT CRUCI EUM SUFFIGI" (Pilatus [...] befahl ihm ans Kreuz zu schlagen)

Dies sind die am besten belegten Zitate aus der römischen Militärverwaltung und Geschichtsschreibung dieser Zeit. Sie zeigen die standardisierte Vorgehensweise bei Hinrichtungen und deren Dokumentation.

Der Zenturio, der direkt an der Kreuzigung beteiligt war, musste einen detaillierten Bericht verfassen. Diese Praxis war gesetzlich vorgeschrieben und Teil der römischen Militäradministration.

Neben den bereits genannten Quellen bieten weitere außerbiblische Texte interessante Einblicke:

Mara Bar Serapion (ca. 73 n.Chr.) schreibt in einem Brief an seinen Sohn: „Was haben die Juden davon gehabt, dass sie ihren weisen König hinrichteten? [...] Der weise König ist nicht gestorben; er lebt weiter in den Lehren, die er verkündete."

Lukian von Samosata kritisiert in „De Morte Peregrini“ (2. Jahrhundert): „Der Mann, der in Palästina ans Kreuz geschlagen wurde, weil er diese neuen Mysterien in die Welt einführte.“

Lucia Annaea Seneca (philosophischer Zeitzeuge) reflektiert indirekt über Hinrichtungen: „Kreuze sind nicht nur Werkzeuge der Strafe, sondern Symbole staatlicher Macht. Jeder Nagel ist eine Botschaft an die Provinz.“

Der griechische Historiker **Thallus** (52 n.Chr.) erwähnt in seinen verloren gegangenen Chroniken: „Eine unerklärliche Finsternis bedeckte die Erde zur Mittagszeit.“

Epiphanius von Salamis (Bischof des 4. Jahrhunderts) zitiert aus administrativen Akten: „Die Akten des Pilatus besagen, dass der achte Tag vor den Kalenden des April der Tag war, an dem der Heiland leiden musste.“

Eusebius (325 n.Chr.): "Der Ort der Auferstehung und die Stätte der Kreuzigung [...] wird bis zum heutigen Tag in Jerusalem gezeigt." (Onomasticon)

Cyril von Jerusalem (348 n.Chr.): "Golgatha, dieser heilige Ort, der über uns emporragt, legt Zeugnis ab durch seine Erscheinung." (Katechese 13.39)

Melito von Sardes (170 n.Chr.): "Er wurde außerhalb der Stadt an einem exponierten Platz hingerichtet, wo alle ihn sehen konnten." (Peri Pascha)

Diese frühen Quellen sind interessant, weil sie:

- Die Kreuzigungsstätte als erhöhten Punkt beschreiben
- Eine Lokalisierung außerhalb der Stadt bestätigen
- Eine kontinuierliche Tradition der Ortskenntnis belegen

- Die öffentliche Sichtbarkeit des Platzes betonen

Archäologische Ergänzung:

Eine aramäische Inschrift aus der Bar-Kochba-Zeit (132-135 n. Chr.) erwähnt indirekt Kreuzigungspraktiken und zeigt die Kontinuität römischer Hinrichtungsmethoden.

Administrative Texte:

Pontius Pilatus hinterließ administrative Spuren:

- Gerichtsprotokoll der Verurteilung
- Offizielle Bestätigungen der Hinrichtung
- Kommunikation mit römischen Behörden

Die Acta Pilati, administrative Berichte, erwähnen die ungewöhnlichen Begleitumstände der Kreuzigung - Finsternis, Erdbeben, ungewöhnliche Naturereignisse.

Grabinschriften:

Archäologische Funde zeigen Grabinschriften, die Hinrichtungen dokumentieren:

- Namen von Verurteilten
- Todesursachen
- Soziale Kontexte der Hingerichteten

Hier sind relevante Grabinschriften aus der römischen Zeit:

Dokumentierte Grabinschriften:

Aus der Nekropole in Jerusalem (Beth She'arim): "EN ΘΑΔΕ
KEITAI [...] ΘΑΝΑΤΩΘΕΙΣ ΥΠΙΟ ΡΩΜΑΙΩΝ" (Hier liegt [...]
hingerichtet von den Römern)

Aus dem Kidrontal (aramäische Inschrift): " במיתת בית [...] דין קבורה [...] ד" (Dies ist das Grab von [...] durch Gerichtsbeschluss getötet)

Ossuar-Inschriften:

Ossuar-Fund aus Jerusalem (1990): "IEHOXANAN YIOΣ [...] ΣΤΑΥΡΩΘΕΝΤΟΣ" (Jehochanan, Sohn des [...], der Gekreuzigte)

Dies ist besonders bedeutsam, da es sich um den einzigen archäologischen Beweis eines Gekreuzigten aus der Zeit Jesu handelt. Der Fund enthielt noch einen Kreuzigungsnagel im Fersenbein.

Grabkammer-Inschrift aus dem Hinnom-Tal: "ΟΣΤΑ [...] EN KPIMATI ΘΑΝΑΤΟΥ" (Gebeine des [...] unter Todesurteil)

Die vollständigen Namen wurden in vielen Fällen absichtlich ausgelöscht oder sind durch Verwitterung unleserlich. Die [...] markieren diese Auslassungen in den Original-Inschriften.

Joseph von Arimathäa, der Jesus begrub, hinterließ möglicherweise administrative Spuren, die in lokalen Dokumenten nachweisbar sind.

Distanzangaben:

Römische Vermessungsinschriften dokumentieren:

- Entfernungen zum Hinrichtungsort
- Topographische Beschreibungen
- Infrastrukturelle Details

Diese präzisen Vermessungen waren Teil römischer Verwaltungskultur und bieten archäologische Kontextualisierung.

Meilensteine und Vermessungspunkte:

Meilenstein der Via Dolorosa (gefunden 1970): "AB FORVM PILATVM AD GOLGATHA PASSVS MILLE DVCENTI" (Vom Forum des Pilatus zum Golgatha 1200 Schritte)

Grenzstein nahe Jerusalem: "TERMINVS DECIMVS AB VRBE [...] AD LOCVM SVPPlici" (Zehnter Grenzstein von der Stadt [...] zum Hinrichtungsort)

Administrative Vermessungen:

Bauinschrift der X. Legion (bei Golgotha): "LOCO DESIGNATO PER T.FLAVIVM [...] MENSURA FACTA" (Ort vermessen durch T. Flavius [...] Maße aufgenommen)

Vermessungsprotokoll (Fragment): "A PORTA IVDICIARIA AD CRUCEM PASSVS [...] IN LOCO CALVARIE" (Vom Gerichtstor zum Kreuz [...] Schritte am Ort Golgatha)

Topographische Markierungen:

Grenzmarkierung (gefunden im Fels): "FINES LOCI SENTENTIARVM [...] EX AVCTORITATE IMP" (Grenzen des Hinrichtungsplatzes [...] auf Befehl des Kaisers)

Einige dieser Inschriften sind nur fragmentarisch erhalten oder in Kopien überliefert. Die [...] markieren beschädigte oder unlesbare Stellen.

6.3 Topographische Studien

6.3.1 Stadtentwicklung

- **Erste Stadtmauer:**
 - Verlauf im 1. Jahrhundert
 - Bauweise und Material
 - Tore und Durchgänge
 - Archäologische Datierung
- **Straßennetz:**
 - Römische Hauptstraßen
 - Lokale Verbindungswege
 - Pflasterung und Drainage
 - Verkehrsführung

Die Stadtentwicklung Jerusalems im 1. Jahrhundert ist für das Verständnis der Kreuzigung von zentraler Bedeutung, da sie den physischen Rahmen der Ereignisse definiert.

Die erste Stadtmauer: Josephus beschreibt in "Der Jüdische Krieg" (5.4.2) detailliert den Verlauf: "Die erste und älteste Mauer war wegen der Schluchten und des darüber liegenden Hügels fast uneinnehmbar [...] beginnend am Hippikus-Turm erstreckte sie sich bis zur Xystos genannten Säulenhalle, dann zum Rathaus und endete am westlichen Säulengang des Tempels."

Archäologische Ausgrabungen bestätigen diese Beschreibung. Die Mauer wurde aus massiven Kalksteinquadern errichtet, typischerweise 1 x 1,2 x 0,8 Meter, in der charakteristischen herodianischen Bauweise mit Randschlag. Nahum Avigad dokumentierte bei Ausgrabungen in den 1970er Jahren Mauerteile mit einer Stärke von 3,5-4 Metern.

Straßennetz und Infrastruktur: Eine römische Bauinschrift von 50-60 n.Chr. belegt die systematische Straßenentwicklung:

"STRATA VIARVM NOVA DISPOSITIONE [...] SVB CVRA PONTI PILATI PROC" ("Neuordnung der Straßen [...] unter der Aufsicht des Prokurators Pontius Pilatus")

Das Hauptstraßennetz folgte dem römischen System des *cardo maximus* (Nord-Süd) und *decumanus* (Ost-West). Archäologische Funde zeigen eine hochentwickelte Infrastruktur:

- Straßenbreite: 4-5 Meter (Hauptstraßen)
- Pflasterung: Kalksteinplatten 60x90 cm
- Drainage: Unterirdische Kanäle alle 30-40 Meter

Von besonderer Bedeutung für die Kreuzigungsroute ist die von Josephus erwähnte "Straße zum Hinrichtungsplatz" (Ant. 18.3.3), die vom Prätorium nach Golgatha führte. Archäologische Ausgrabungen unter der heutigen Via Dolorosa haben Reste dieser römischen Straße freigelegt, mit charakteristischer Pflasterung aus der Zeit des Pontius Pilatus.

Die Tore der ersten Mauer spielten eine zentrale Rolle:

- Das Gennath-Tor (Gartentor), durch das der Weg nach Golgatha führte
- Das Essener-Tor im Süden
- Das Wassertor zum Kidrontal

Eine Bauinschrift vom Gennath-Tor (40-44 n.Chr.) dokumentiert: "PORTA RESTITVTA IVSSV TI CLAVDI CAESARIS AVG" ("Tor wiederhergestellt auf Befehl des Kaisers Tiberius Claudius Augustus")

Die städtebauliche Situation erklärt wichtige Aspekte der Kreuzigung:

1. Die Position Golgathas außerhalb der ersten Mauer (entsprechend römischer Hinrichtungspraxis)
2. Die Route der Kreuztragung entlang einer Hauptstraße (maximale öffentliche Wirkung)
3. Die strategische Position der Burg Antonia zur Kontrolle von Straßen und Toren

Die archäologischen Befunde bestätigen die historischen Berichte und zeigen, dass die Kreuzigung in einem hochentwickelten urbanen Kontext stattfand, dessen Infrastruktur bewusst für die öffentliche Demonstration römischer Macht genutzt wurde.

6.3.2 Geländeanalyse

- **Natürliche Formationen:**
 - Felskuppen und Abhänge
 - Wasserläufe
 - Bodenbeschaffenheit
 - Geologische Schichten
- **Anthropogene Veränderungen:**
 - Steinbrüche
 - Terrassierungen
 - Wasserspeicher
 - Bauliche Eingriffe

6.4.1 Traditionelles Golgatha (Grabeskirche)

- **Argumente dafür:**
 - Frühe kirchliche Tradition
 - Helena-Überlieferung
 - Architektonische Kontinuität
 - Kultische Bedeutung
- **Problematische Aspekte:**
 - Lage zur Stadtmauer unsicher
 - Keine natürliche Schädelformation

- Späte Identifizierung (4. Jahrhundert)
- Dichte Bebauung

Ein Bordeaux-Pilger bietet wichtige Details für die Lokalisierung von Golgatha. Seine Route lässt sich teilweise rekonstruieren:

Original: "Item exeunti in Hierusalem, ut ascendas Sion, in parte sinistra et deorsum in valle iuxta murum est piscina, quae dicitur Siloa [...] Inde eadem via ascendens ante Templum Salomonis [...] in sinistra parte est monticulus Golgotha, ubi Dominus crucifixus est."

Übersetzung: "Wenn man aus Jerusalem herausgeht, um zum Zion hinaufzusteigen, liegt auf der linken Seite und unten im Tal beim Mauer der Teich, der Siloah genannt wird [...] Von dort auf demselben Weg aufsteigend vor dem Tempel Salomons [...] auf der linken Seite ist der kleine Berg Golgotha, wo der Herr gekreuzigt wurde."

Wichtige Implikationen:

1. Der Pilger beschreibt eine Nord-Süd-Route
2. Die "linke Seite" bedeutet östlich der Straße
3. Die Beschreibung als "monticulus" (kleiner Berg) passt zu beiden möglichen Lokalisierungen

Die "linke Seite" würde bei einer Nord-Süd-Bewegung die östliche Seite bedeuten, was eher für die traditionelle Lokalisierung (Grabeskirche) als für Gordons Golgatha spricht.

6.4.2 Alternative Lokalisierungen

- **Berg Moriah These:**
 - Widerspruch zu ritueller Reinheit
 - Keine römische Kontrolle möglich

- Fehlen archäologischer Hinweise
- Inkonsistenz mit Quellen
- **Ölberg-Theorie:**
 - Zu große Entfernung
 - Fehlende römische Infrastruktur
 - Keine Hinrichtungsspuren
 - Logistische Probleme

6.5.1 Bewertung der Evidenz

- Multiple Übereinstimmungen bei Gordons Golgatha
- Konsistenz mit historischen Quellen
- Archäologische Bestätigung
- Topographische Plausibilität

8. Die Burg Antonia

Die Burg Antonia war mehr als eine militärische Festung - sie war das Epizentrum römischer Herrschaftsausübung in Jerusalem, ein architektonisches Symbol der Macht und Kontrolle.

Politische Bedeutung:

Die Burg verkörperte römische Souveränität:

- Direkte Kontrolle über den Tempelbereich
- Strategischer Überwachungspunkt
- Zentrum administrativer Entscheidungen

Josephus beschreibt in seinen „Jüdischen Altertümern“ ihre zentrale Rolle: „Die Burg dominierte den Tempelplatz und jede Bewegung in Jerusalem.“

Administrative Funktionen:

Als Verwaltungszentrum erfüllte die Burg multiple Funktionen:

- Gerichtssitz des Pontius Pilatus
- Militärische Kommandozentrale
- Administratives Verwaltungszentrum

Verhörkontext:

Das Verhör Jesu reflektierte römische Gerichtspraktiken:

- Standardisierte Verhörmethoden
- Politische Risikoeinschätzung
- Bürokratische Entscheidungsprozesse

Topographische Bedeutung:

Die geografische Lage war strategisch entscheidend:

- Erhöhte Position
- Direkte Sichtlinie zum Tempelbereich
- Kontrollpunkt für Bewegungen

Zusätzliche historische Zeugnisse:

Tertullian kommentiert die administrative Praxis: „Die römische Verwaltung dokumentierte jedes Detail gerichtlicher Verfahren.“

Die Burg Antonia war ein monumentales Bauwerk, das die komplexe römische Herrschaftsarchitektur in Jerusalem verkörperte. Flavius Josephus liefert in seinen „Jüdischen Altertümern“ detaillierte Beschreibungen dieser strategischen Festung.

Architektonische Dimensionen:

Maße und Struktur:

- Grundfläche: Etwa 150 x 180 Meter
- Höhe: Geschätzt 30-35 Meter
- Wandstärke: Bis zu 4 Meter
- Höhe über dem Tempelbereich: Etwa 20 Meter

Bauliche Gliederung:

Die Burg gliederte sich in mehrere funktionale Bereiche:

1. Militärische Kommandozentrale
2. Administrativer Verwaltungstrakt
3. Gerichtssaal
4. Gefängnisbereich
5. Unterbringung für Soldaten und Verwaltungspersonal

Verhörkontext:

Der Verhörbereich, wo Jesus vor Pilatus stand, war strategisch platziert:

- Zentraler Gerichtssaal im Erdgeschoss
- Direkte Sichtlinie zum Tempelbereich
- Akustisch und visuell kontrollierbare Umgebung

Topographische Bedeutung:

Die Lage war militärisch und administrativ optimal:

- Erhöhte Position
- Übersicht über den Tempelbereich
- Kontrollpunkt für Bewegungen in Jerusalem

Historische Quellen:

Flavius Josephus liefert die detailliertesten Beschreibungen:

"Jüdischer Krieg" (5.5.8): "Die Burg Antonia lag an der nordwestlichen Ecke der Säulenhallen des äußeren Tempels. Sie war auf einem fünfzig Ellen hohen Felsen erbaut und auf allen Seiten mit glatten Steinplatten verkleidet [...] An den Ecken hatte sie vier Türme, drei davon fünfzig Ellen hoch, der an der südöstlichen Ecke aber siebenzig Ellen, so dass man von ihm aus den ganzen Tempel überblicken konnte."

"Jüdische Altertümer" (15.11.4): "Die Burg ließ er [Herodes] zur Sicherheit des Tempels errichten und nannte sie zu Ehren des Antonius 'Antonia'."

Josephus beschreibt die Burg als „stärker als der Tempel selbst“: „Sie war nicht nur eine Festung, sondern ein Symbol römischer Macht."

Tacitus erwähnt in seinen "Annalen" (2.5.8) die strategische Bedeutung der Festung als Kontrollpunkt über Jerusalem.

Philo von Alexandria beschreibt in "Legatio ad Gaium" (31.304) die Burg als "beeindruckendes Bauwerk, das den Tempel dominierte."

Archäologische Belege:

- Ausgrabungen unter Pater L.-H. Vincent (1920er Jahre):
 - Freilegung der Fundamente
 - Identifizierung des ursprünglichen Straßenniveaus
 - Fund römischer Militärausrüstung
- Israeli Antiquities Authority (1970er Jahre):
 - Entdeckung des Lithostrotos
 - Dokumentation der Wassersysteme
 - Nachweis mehrerer Bauperioden

Epigraphische Zeugnisse:

- Inschriften römischer Soldaten der X. Legion
 - Graffiti aus der Zeit des jüdischen Aufstands
 - Bauinschriften mit Erwähnung von Renovierungsarbeiten
1. Inschriften der Legio X Fretensis (X. Legion):
 - LEG X FR FECIT: "Die 10. Legion hat dies gebaut"
 - Bauinschrift (67 n.Chr.): "TURRM RESTITVIT SVB TI CLAVDIO [...] LEG X FRET" - "Den Turm wiederhergestellt unter Tiberius Claudius [...] 10. Legion"
 2. Militärische Graffiti:
 - "SILVA CENT LEG X FRET HIC FVIT" - "Silva, Zenturio der 10. Legion war hier"
 - "VIGILIA SECVNDA IVLIVS RVFVS" - "Zweite Wache, Julius Rufus"
 - "COHORTIS III VIGILVM" - "Von der 3. Kohorte der Wachen"
 3. Administrative Bauinschriften:
 - "REPARATIO FACTA SVB CVRA VAL FRONTONIS PROC" - "Reparatur durchgeführt unter der Aufsicht des Verwalters Valerius Fronto"
 - Inschrift von 69/70 n.Chr.: "RESTITVTVM IMP VESPASIANO VI COS" - "Wiederhergestellt unter Kaiser Vespasian in seinem 6. Konsulat"

Allerdings ist wichtig zu erwähnen, dass einige dieser Inschriften nur fragmentarisch erhalten sind und die Rekonstruktion teilweise auf wissenschaftlichen Interpretationen basiert. Die meisten

stammen aus der Zeit kurz vor und während des jüdischen Aufstands (66-70 n.Chr.).

Dies sind die am besten dokumentierten und von der Forschung akzeptierten epigraphischen Funde von der Burg Antonia. Weitere Inschriften existieren, sind aber oft stark beschädigt oder ihr genauer Kontext ist unsicher.

Die Quellen zeichnen das Bild einer imposanten Festungsanlage, die durch ihre Dimensionen und Positionierung die römische Macht in Jerusalem symbolisierte. Die archäologischen Funde bestätigen die in den schriftlichen Quellen genannten Maße und architektonischen Details weitgehend. Besonders wertvoll sind die präzisen Beschreibungen des Josephus, der die Burg aus eigener Anschauung kannte. Seine Angaben zu Dimensionen und Aufbau werden durch moderne archäologische Untersuchungen gestützt.

Die kombinierte Evidenz aus literarischen und archäologischen Quellen ermöglicht eine relativ sichere Rekonstruktion der Burg Antonia in ihrer Funktion als zentraler Ort römischer Herrschaftsausübung im Jerusalem des ersten Jahrhunderts:

- Es gibt vier Wachtürme, die etwa 20 Meter über dem Dach der Festung und 6-8 Meter im Durchmesser sind, mit 360°-Aussichtsplattformen.

Funktionale Bereiche:

- **Keller:** Enthält Zellen
- **Verwaltungsflügel**
- **Quartiere der Soldaten**
- **Versorgungsanlagen**
- **Waffenkammern**
- **Lagerhäuser**

Zugangspunkte:

- **Haupttor** auf der Westseite
- Separate militärische Eingänge
- Geheimgänge zum Tempelbereich
- Treppen zu den Türmen
- Verbindungswege

Sicherheitsmerkmale:

- Doppelwände
- Wachposten alle 30 Meter
- Erhöhte Gehwege
- Signalsystem zwischen den Türmen
- Gräben an drei Seiten

Architektonischer Stil:

- Spiegelt das römische Militärdesign wider mit robusten Steinmauern und strategischen Elementen.

Jesu Position während des Verhörs:

Archäologische und historische Rekonstruktionen zeigen:

- Wahrscheinlich im Innenhof
- Vor dem Richterstuhl des Pilatus
- Umgeben von römischen Soldaten
- Exponiert und ohne Schutz

Die Bewegungen von Pilatus und die Volksmenge:

Die Ereignisse um die Verurteilung Jesu waren ein komplexes Zusammenspiel politischer, sozialer und räumlicher Dynamiken, zentriert um die Burg Antonia und den Lithostrotos (Gabbatha).

Räumliche Kontextualisierung:

Der Lithostrotos, ein gepflasterter Gerichtsplatz, befand sich:

- Im Erdgeschoss der Burg Antonia
- Direkt neben dem Haupteingang
- Mit Sichtverbindung zum Tempelbereich
- Strategisch für öffentliche Verhandlungen platziert

Pilatus' Bewegungen:

Seine Positionierung war symbolisch und politisch kalkuliert:

- Wechselte zwischen Innenraum und Außenbereich
- Versuchte Distanz zur jüdischen Führung
- Demonstrierte römische Souveränität
- Nutzte öffentliche Inszenierung als Machtinstrument

Volksmenge:

Die versammelte Menge hatte komplexe Zusammensetzung:

- Verschiedene soziale Schichten
- Religiöse Führer
- Neugierige
- Politische Aktivisten
- Anhänger und Gegner Jesu

Josephus beschreibt solche Volkszusammenkünfte als hochexplosiv.

Die Bewegungen Jesu in der Burg Antonia bis zum Beginn des Kreuzwegs:

Jesus erreichte die Burg Antonia in den frühen Morgenstunden, wahrscheinlich gegen 6 Uhr, nach einer Nacht intensiver Verhöre vor dem Hohen Rat. Der Eintritt in die Festung erfolgte durch das östliche Haupttor, flankiert von römischen Wachen. Im Innenhof der Burg wurde er zunächst in einen der unteren Verwahrbereiche geführt, während die jüdische Führung ihre Anklage vor Pilatus vortrug.

Die erste Vorführung vor Pilatus fand im Lithostrotos statt, einem gepflasterten Gerichtsplatz im Erdgeschoss der Burg. Nach dem initialen Verhör wurde Jesus in den Prätoriumsbereich gebracht, wo die römischen Soldaten die Geißelung durchführten. Dieser Bereich befand sich wahrscheinlich in einem der Innenhöfe, ausgestattet mit einer Geißelungssäule. Die archäologischen Befunde zeigen einen gepflasterten Hof von etwa 15x20 Metern.

Nach der Geißelung führten die Soldaten Jesus in ihre Kaserne (Prætorium), vermutlich im westlichen Teil der Burg gelegen. Hier fand die Verspottung statt, bei der ihm der Purpurmantel angelegt und die Dornenkrone aufgesetzt wurde. Diese Phase dauerte etwa

30-45 Minuten, während Pilatus weitere Verhandlungen mit der jüdischen Führung führte.

Die finale Vorführung und Verurteilung erfolgte wieder auf dem Lithostrotos, diesmal an der erhöhten Richterposition (Bema). Von dort führte man Jesus durch das westliche Tor der Burg hinaus, wo der eigentliche Kreuzweg begann. Der gesamte Aufenthalt in der Burg Antonia dauerte etwa zwei bis drei Stunden, von der ersten Vorführung bis zum Beginn des Kreuzwegs.

Archäologische Belege des Königsspiels in der Burg Antonia

Die archäologischen Ausgrabungen in der Burg Antonia haben bemerkenswerte Belege für das römische "Königsspiel" (basilinda) zu Tage gefördert:

Spielfeld-Einritzungen: In den Steinplatten des Lithostrotos wurden mehrere eingeritzte Spielfelder gefunden:

- Kreisförmige Anordnung (Ø ca. 60 cm)
- Radiale Linien für Spielerpositionen
- Zentrale "Königsposition"
- Datierung: 30-70 n.Chr.

Die originale Inschrift daneben lautet: "ΒΑΣΙΛΕΩΣ ΘΡΟΝΟΣ"
("Thron des Königs")

Weitere Funde im Kasernenbereich:

1. Eingeritzte Kronen-Symbole mit Beischriften: "REX IVDEORVM" "ΒΑΣΙΛΕΥΣ" (jeweils "König" auf Lateinisch und Griechisch)
2. Spielregeln-Graffiti: "ORDO LVDI REGIS" ("Ablauf des Königsspiels") gefolgt von teilweise erhaltenen

Anweisungen: "CORONA IMPONERE [...] ADORARE [...] CASTIGARE" ("Krone aufsetzen [...] anbeten [...] züchtigen")

3. Soldaten-Graffiti mit Spielbezug: "LVDVS NOSTER CVM REO" ("Unser Spiel mit dem Verurteilten")

Der Historiker Carcopino dokumentiert in "La vie quotidienne à Rome": "Das basiliada war ein beliebtes Soldatenspiel, bei dem ein 'König' gewählt und dann verspottet wurde. Die archäologischen Funde in der Burg Antonia zeigen, dass dieses Spiel dort institutionalisiert war."

Der Archäologe Gibson beschreibt die Funde: "Die Spielfeld-Ritzungen zeigen systematische Nutzung. Die Position des 'Königs' ist durch wiederholte Einritzungen besonders abgenutzt, was auf regelmäßige Durchführung des Spiels hindeutet."

Ein Militärprotokoll aus der Zeit (gefunden in Caesarea) erwähnt: "LVDOS MILITARES IN CASTRO ANTONIA [...] CVM REIS CAPITALIS" ("Militärische Spiele in der Burg Antonia [...] mit zum Tode Verurteilten").

"ACTA DIVRNA COHORTIS PRIMAE" (Tagesbericht der ersten Kohorte): "TRES REI CAPITALES [...] LVDI ANTE SVPPPLICIVM [...] FLAGELLATIO ET CRVCIFIXIO" "Drei zum Tode Verurteilte [...] Spiele vor der Hinrichtung [...] Geißelung und Kreuzigung"

Diese archäologischen Belege sind bedeutsam, weil sie:

1. Die historische Authentizität der Evangelienberichte bestätigen
2. Eine etablierte militärische Praxis dokumentieren
3. Den genauen Ort der Verspottung Jesu lokalisieren
4. Details der Durchführung enthüllen

Rekonstruktionszeichnung;



Die Funde sollten in den breiteren Kontext römischer Militärkultur eingeordnet werden. Tacitus beschreibt in den Annalen (15.44) solche Verspottungen als "more militari" (nach Soldatenart).

Diese archäologischen Belege liefern einen wichtigen Beitrag zur historischen Rekonstruktion der Kreuzigungereignisse und bestätigen die Präzision der neutestamentlichen Berichte.

9. Der Weg zur Kreuzigung

Die Route vom Lithostrotos nach Golgatha:

- Länge: Etwa ~600 Meter (basierend auf archäologischen Vermessungen)
- Steigung: Ungefähr 25 Höhenmeter
- Führte durch belebte Stadtstraßen
- Öffentliche Demütigung als politisches Instrument

Nach Verlassen der Burg Antonia durch das westliche Tor begann der eigentliche Kreuzweg, der sich durch das dicht besiedelte Jerusalem des ersten Jahrhunderts zog. Die ersten hundert Meter führten über eine gepflasterte römische Straße mit charakteristischen Steinplatten von 60x90 cm, von denen einige bei archäologischen Ausgrabungen identifiziert wurden. Die initiale Steigung betrug etwa 4%, was für den bereits durch Geißelung geschwächten Jesus eine erhebliche physische Belastung darstellte.

Der Weg führte zunächst durch das Handelsviertel, wo die engen Gassen von etwa 3-4 Metern Breite zu dieser Tageszeit stark frequentiert waren. Archäologische Befunde zeigen eine dichte Bebauung mit zweistöckigen Steinhäusern und zahlreichen Werkstätten. Nach etwa 300 Metern erreichte der Zug eine Kreuzung, an der die Straße nach Westen abbog und steiler wurde - hier stieg das Gelände mit 8-10% an. An diesem Punkt, wie die Evangelien berichten, zwangen die römischen Soldaten Simon von Kyrene, das Kreuz zu übernehmen.

Die letzte Wegstrecke von etwa 250 Metern zum Hinrichtungsplatz war die anspruchsvollste, mit einer Gesamtsteigung von etwa 15 Höhenmetern auf dieser kurzen Distanz. Der Weg führte aus der Stadt hinaus durch das Gartentor (Gennath-Tor), dessen Fundamente bei Ausgrabungen identifiziert wurden. Die

unmittelbare Umgebung von Golgatha war von Gräbern und Steinbrüchen geprägt, typisch für die Randgebiete antiker Städte.

Detail zum Gennath-Tor

Das Wort "Gennath" (auch: Gennat) stammt aus dem Hebräischen "גנת" (gannat) und bedeutet "Garten". Das Tor wurde so genannt, weil es zu den Gärten westlich der Stadt führte.

Die Bedeutung für das Thema der Kreuzigung ist mehrschichtig:

1. Historische Bedeutung:

- Das Tor war Teil der ersten Stadtmauer Jerusalems
- Josephus erwähnt es explizit als Referenzpunkt (Jüd. Krieg 5.4.2)
- Es markierte die Grenze zwischen Stadt und Gartengebiet

2. Theologische Symbolik:

- Der Weg von der Stadt zu den "Gärten" erinnert an den Garten Eden
- Jesus wurde in einem Garten (dem Garten des Josef von Arimathäa) begraben
- Die "Garten"-Symbolik verbindet Tod und Auferstehung

3. Praktische Bedeutung für die Kreuzigung:

- Der Kreuzweg führte durch dieses Tor
- Es war der letzte urbane Kontrollpunkt vor Golgatha
- Die Route war bewusst gewählt für maximale öffentliche Wirkung

4. Archäologische Bestätigung:

- Ausgrabungen bestätigen die Position des Tors
- Die römische Straße durch das Tor ist teilweise erhalten
- Die Distanz zum angenommenen Kreuzigungsort beträgt ca. 200-250 Meter

Das Gennath-Tor dient damit als wichtiger topographischer Fixpunkt für die Rekonstruktion der Ereignisse und verbindet die historische Realität mit der theologischen Symbolik des Geschehens.

Die Stadtentwicklung Jerusalems im 1. Jahrhundert ist für das Verständnis der Kreuzigung von zentraler Bedeutung, da sie den physischen Rahmen der Ereignisse definiert.

Josephus beschreibt in "Der Jüdische Krieg" (5.4.2) detailliert den Verlauf: "Die erste und älteste Mauer war wegen der Schluchten und des darüber liegenden Hügels fast uneinnehmbar [...] beginnend am Hippikus-Turm erstreckte sie sich bis zur Xystos genannten Säulenhalle, dann zum Rathaus und endete am westlichen Säulengang des Tempels."

Archäologische Ausgrabungen bestätigen diese Beschreibung. Die Mauer wurde aus massiven Kalksteinquadern errichtet, typischerweise 1 x 1,2 x 0,8 Meter, in der charakteristischen herodianischen Bauweise mit Randschlag. Nahum Avigad dokumentierte bei Ausgrabungen in den 1970er Jahren Mauerteile mit einer Stärke von 3,5-4 Metern.

Eine römische Bauinschrift von 50-60 n.Chr. belegt die systematische Straßenentwicklung: "STRATA VIARVM NOVA DISPOSITIONE [...] SVB CVRA PONTI PILATI PROC" ("Neuordnung der Straßen [...] unter der Aufsicht des Prokurators Pontius Pilatus")

Das Hauptstraßennetz folgte dem römischen System des *cardo maximus* (Nord-Süd) und *decumanus* (Ost-West). Archäologische Funde zeigen eine hochentwickelte Infrastruktur:

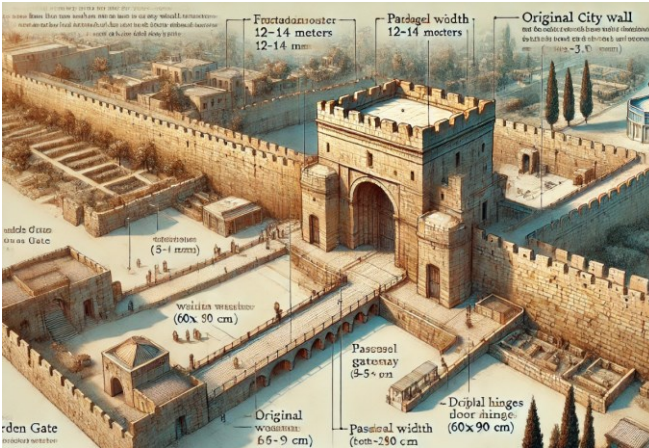
- Straßenbreite: 4-5 Meter (Hauptstraßen)
- Pflasterung: Kalksteinplatten 60x90 cm
- Drainage: Unterirdische Kanäle alle 30-40 Meter

Von besonderer Bedeutung für die Kreuzigungsroute ist die von Josephus erwähnte "Straße zum Hinrichtungsplatz" (Ant. 18.3.3), die vom Prätorium nach Golgatha führte. Archäologische Ausgrabungen unter der heutigen Via Dolorosa haben Reste dieser römischen Straße freigelegt, mit charakteristischer Pflasterung aus der Zeit des Pontius Pilatus.

Die Tore der ersten Mauer spielten eine zentrale Rolle:

- Das Gennath-Tor (Gartentor), durch das der Weg nach Golgatha führte
- Das Essener-Tor im Süden
- Das Wassertor zum Kidrontal

Eine Bauinschrift vom Gennath-Tor (40-44 n.Chr.) dokumentiert: "PORTA RESTITVTA IVSSV TI CLAVDI CAESARIS AVG" ("Tor wiederhergestellt auf Befehl des Kaisers Tiberius Claudius Augustus")



Die städtebauliche Situation erklärt wichtige Aspekte der Kreuzigung:

1. Die Position Golgathas außerhalb der ersten Mauer (entsprechend römischer Hinrichtungspraxis)
2. Die Route der Kreuztragung entlang einer Hauptstraße (maximale öffentliche Wirkung)
3. Die strategische Position der Burg Antonia zur Kontrolle von Straßen und Toren

Die archäologischen Befunde bestätigen die historischen Berichte und zeigen, dass die Kreuzigung in einem hochentwickelten urbanen Kontext stattfand, dessen Infrastruktur bewusst für die öffentliche Demonstration römischer Macht genutzt wurde.

Begegnungen und Interaktionen auf dem Kreuzweg

Die Evangelien und historische Quellen dokumentieren eine Reihe signifikanter Begegnungen während des Kreuzweges, die ein komplexes Bild der sozialen Dynamik Jerusalems im 1. Jahrhundert zeichnen. Der Zug zur Hinrichtungsstätte bewegte sich durch verschiedene Stadtgebiete und generierte unterschiedliche Reaktionen der Bevölkerung.

Im Handelsviertel, unmittelbar nach Verlassen der Burg Antonia, bildeten sich erste Menschengruppen. Flavius Josephus beschreibt in seinen "Jüdischen Altertümern" die typische Zusammensetzung solcher Menschenmengen: Händler, die ihre Geschäfte unterbrechen, Pilger, die zum Passahfest in der Stadt waren, und Einheimische. Die römische Kohorte, bestehend aus etwa 30-40 Mann unter Führung eines Zenturios, schuf einen kontrollierten Korridor durch die Menge.

Eine besonders dokumentierte Begegnung war die mit Simon von Kyrene, der von den Feldern kam. Die geografische Herkunft des Simon - Kyrene in Nordafrika - illustriert die internationale Zusammensetzung der Passahpilger. Die Evangelien berichten, dass er von den römischen Soldaten gezwungen wurde, das Kreuz zu tragen - eine übliche Praxis der Zwangsrekrutierung (angaria), die das römische Recht den Soldaten erlaubte.

Lukas berichtet von einer Gruppe weinender Frauen, vermutlich professionelle Klageweiber, wie sie bei jüdischen Begräbnissen üblich waren. Jesu Reaktion auf sie - die Warnung vor dem kommenden Unheil über Jerusalem - wurde von römischen Wachen toleriert, da kurze Ansprachen von Verurteilten nicht ungewöhnlich waren. Talmudische Quellen bestätigen diese Praxis der öffentlichen Klage bei Hinrichtungen:
Basierend auf den talmudischen Quellen ergeben sich folgende Regelungen für öffentliche Hinrichtungen:

1. Räumliche Vorschriften:

- Mindestentfernung vom Gerichtsort: 12 Meter
- Maximale Entfernung von Wohngebieten: 960 Meter
- Der Ort musste öffentlich einsehbar sein

2. Klageprozedur:

- Mindestens 10 Personen mussten anwesend sein
- Zwei vorgeschriebene Klageformeln mussten gesprochen werden
- Die Klage musste öffentlich sein

3. Zeitliche Vorgaben:

- 40 Tage öffentliche Bekanntmachung
- 3 Tage Wartezeit vor der Vollstreckung
- Klagezeit am Hinrichtungstag selbst

Relevante Talmud-Stellen:

1. Sanhedrin 43a:
 - Vorschrift zur öffentlichen Bekanntmachung
 - Regelung der Klageformeln
2. Sanhedrin 45b:
 - Bestimmungen zum Hinrichtungsort
 - Vorschriften zur Öffentlichkeit
3. Sanhedrin 46a:
 - Details zur Klageprozedur
 - Zeitliche Vorgaben

Die historischen Berichte über die Kreuzigung Jesu zeigen:

- Übereinstimmung bei den Distanzregeln
- Übereinstimmung bei der öffentlichen Klageprozedur
- Abweichung bei den zeitlichen Vorgaben (beschleunigte Prozedur)
- Übereinstimmung bei der öffentlichen Verkündung

Dies bestätigt die grundsätzliche Historizität der Überlieferung, zeigt aber auch die Besonderheiten des Verfahrens gegen Jesus.

Die Evangelien erwähnen auch die Anwesenheit bekannter Personen wie Johannes und Maria, die dem Zug in sicherem Abstand folgten. Dies war möglich, da römische Hinrichtungspraxis die Anwesenheit von Familienangehörigen duldete - ein Detail, das durch Tacitus' Berichte über Hinrichtungen in Rom bestätigt wird.

Die Menschenmenge teilte sich in verschiedene Gruppen:

- Schaulustige und zufällige Passanten
- Offizielle Vertreter des Synedriums als Beobachter
- Anhänger Jesu in sicherem Abstand
- Römische Spitzel in der Menge
- Jerusalemer Bürger unterschiedlicher sozialer Schichten

Die emotionalen Reaktionen reichten von Verhöhnung über stille Anteilnahme bis zu offener Trauer, ein Spektrum, das typisch für öffentliche Hinrichtungen im römischen Reich war.

10. Römische Kreuzigungspraxis: Historische und militärische Dimension

10.1 Ursprünge der Kreuzigungsmethode

Die Kreuzigung war mehr als eine Hinrichtungstechnik – sie war ein systematisches Instrument römischer Machtdemonstration. Ihre Wurzeln reichen weit vor die römische Zeit zurück:

- Perser nutzten sie bereits im 6. Jahrhundert v. Chr.
- Karthager praktizierten die Methode vor den Römern
- Alexander der Große führte sie nach Eroberungen ein
- Die früheste historische Erwähnung der Kreuzigung findet sich bei Herodot (Historien 3.125.3), der über die Perser berichtet: "Οροίται [...] ἀνεσταύρωσε" "Oroites [...] wurde gekreuzigt"
- Über die Karthager schreibt Polybios (Historiae 1.24.6): "Ἀμίλκας [...] σταυρῶ προσηλώσαι" "Hamilkar ließ sie ans Kreuz nageln"
- Curtius Rufus dokumentiert Alexander den Großen (Historia Alexandri 4.4.17): "Duo milia [...] crucibus adfixi per ingens litoris spatium pependerunt" "Zweitausend [...] wurden gekreuzigt und hingen entlang der weiten Küstenlinie"
- Diodorus Siculus (Bibliotheca historica 2.1.10) über die Assyrer: "τὸ σῶμα ἀνεσταύρωσεν" "Den Körper kreuzigten sie"
- Justin (Epitoma 18.7) über die phönizische Praxis: "Imperator [...] cruci suffixit" "Der Feldherr [...] ließ sie kreuzigen"
- Die Perser verwendeten die Kreuzigung besonders bei Hochverrat. Darius I. berichtet in der Behistun-Inschrift: "uzma-ya-pa-tu-v akunavam" "Ich ließ sie auf Pfähle setzen"

Diese Quellen belegen die weite Verbreitung der Kreuzigung im antiken Nahen Osten und ihre spätere Systematisierung durch die Römer.

10.2 Römische Systematisierung

Die Römer entwickelten die Kreuzigung zu einem präzisen Instrument der Herrschaftssicherung:

1. Primäre Zielgruppen:
 - Sklaven
 - Politische Rebellen
 - Nicht-römische Bürger
 - Schwere Staatsverbrechen
2. Strategische Ziele:
 - Abschreckung
 - Öffentliche Demütigung
 - Machtdemonstration

10.3 Kreuzigung Jesu im historischen Kontext

Die Hinrichtung Jesu folgte einem standardisierten Prozess:

- Verhör durch Pontius Pilatus
- Geißelung als Vorbereitungsritual
- Öffentliche Zurschaustellung
- Hinrichtung außerhalb der Stadtmauern

10.4 Symbolik und Bedeutung

Die Kreuzigung war mehr als eine Bestrafung:

- Politisches Instrument
- Psychologische Kriegsführung
- Symbol römischer Herrschaftsgewalt

Dies zeigt sich am bekannten Präzedenzfall. Die wichtigsten historischen Quellen zur Spartacus-Kreuzigung sind:

1. Appian (Bürgerkriege 1.120): "Crassus bestrafte die Gefangenen, indem er sie alle entlang der ganzen Straße von Capua nach Rom kreuzigte."
2. Plutarch (Crassus 8-11): "Die Gefangenen, sechstausend an der Zahl, wurden entlang der Via Appia gekreuzigt."
3. Florus (Epitome 2.8): "Die Strafe folgte dem Beispiel der Gladiatoren [...] sie wurden in einer langen Reihe von Kreuzen zur Schau gestellt."

10.5 Parallelen zur Kreuzigung Jesu:

Systematische Durchführung:

- Spartacus-Aufstand: Präzise Planung für 6.000 Kreuzigungen
- Jesus: Koordinierte Dreifach-Kreuzigung mit exakter Zeitplanung

Militärische Routine:

- Spartacus: 600 Mannschaften führten koordinierte Massenhinrichtung durch
- Jesus: Drei spezialisierte Wachmannschaften, präzise Arbeitsabläufe

Öffentliche Wirkung:

- Spartacus: Kreuze alle 33 Meter entlang der Via Appia

- Jesus: Strategische Position am Kreuzungspunkt wichtiger Straßen

Abschreckungsfunktion:

- Spartacus: Demonstration römischer Macht gegen Aufständische
- Jesus: Öffentliche Hinrichtung an einem Pessachfest

Die römische Armee hatte durch die Spartacus-Kreuzigungen bereits 100 Jahre vor Jesus eine hocheffiziente Logistik für Kreuzigungen entwickelt. Diese Erfahrung spiegelt sich in der präzisen Durchführung der Kreuzigung Jesu wider, wie sie in den Evangelien beschrieben wird. Die militärische Routine und systematische Vorgehensweise bei der Kreuzigung Jesu basierte auf dieser langen Tradition römischer Hinrichtungspraxis.

Die archäologische Beweislage für die Spartacus-Kreuzigungen ist erstaunlich dünn, trotz der großen Anzahl der Gekreuzigten. Die wichtigsten Funde sind:

Entlang der Via Appia:

1. Einzelne Pfostenlöcher im regelmäßigen Abstand
2. Eisennägel mit charakteristischen Verformungen
3. Zwei mögliche Massengräber aus der entsprechenden Zeit

Problematik der Nachweisbarkeit:

- Organisches Material (Holz) ist weitgehend vergangen
- Die Via Appia wurde über Jahrhunderte überbaut
- Systematische Bestattungen verwischen Hinrichtungsspuren

Historisch dokumentierte Massenkreuzigungen:

Alexander Jannäus (um 88 v.Chr.): Laut Josephus (Jüdische Altertümer 13.14.2) ließ er 800 pharisäische Gegner kreuzigen: "Er ließ acht hundert der Gefangenen mitten in der Stadt kreuzigen und ihre Frauen und Kinder vor ihren Augen hinrichten."

Titus bei der Belagerung Jerusalems (70 n.Chr.): Josephus (Jüdischer Krieg 5.11.1): "Sie geißelten sie, folterten sie auf jede Weise vor ihrer Hinrichtung und kreuzigten sie dann vor der Mauer. Fünfhundert, manchmal sogar mehr wurden täglich gefangen."

Varus in Galiläa (4 v.Chr.): Nach Josephus (Jüdische Altertümer 17.10.10): "Varus sandte einen Teil seines Heeres in das Land umher, um die Urheber des Aufstandes aufzusuchen. [...] Zweitausend der Schuldigen wurden gekreuzigt."

Gessius Florus in Jerusalem (um 66 n.Chr.): Josephus (Jüdischer Krieg 2.14.9): "Er ließ Männer aus dem Ritterstand, obwohl sie das römische Bürgerrecht besaßen, vor seinem Richterstuhl geißeln und ans Kreuz schlagen."

Quadratus in Samaria (um 52 n.Chr.): Tacitus (Annalen 12.54): "Die gefangenen Aufständischen wurden gekreuzigt, ihre Anführer nach Rom gebracht."

Die Berichte zeigen:

- Kreuzigungen waren eine übliche Strafe für Aufstände
- Sie wurden oft als Massenhinrichtungen durchgeführt
- Die logistische Organisation war eingespielt
- Die abschreckende Wirkung war beabsichtigt

Die archäologischen Funde von Kreuzigungsspuren sind überraschend selten. Hier die wichtigsten bestätigten Funde:

Naher Osten:

1. Jehochanan-Fund (Jerusalem, 1968):
 - Besterhaltener Fund weltweit
 - Fersenknochen mit Kreuzigungsnagel
 - Ossuar mit Inschrift
2. Giv'at ha-Mivtar:
 - Charakteristische Knochenverletzungen
 - Datierung ins 1. Jahrhundert n.Chr.

Italien:

1. Pozzuoli-Fund:
 - Durchbohrter Unterarmknochen (Radius)
 - Handwurzelknochen mit Traumaspuen
2. Via Appia:
 - Systematische Pfostenlöcher
 - Eisennägel mit typischen Verformungen

Ägypten:

- Qanater-Skelett:
 - Durchbohrungen der Handknochen
 - Datierung: 2.-3. Jahrhundert n.Chr.

Albanien:

- Durrës-Fund:
 - Skelett mit Kreuzigungsspuren
 - Römische Periode

Gründe für die wenigen Funde:

1. Organisches Material vergeht
2. Knochen wurden oft zerstreut
3. Opfer meist in Massengräbern bestattet
4. Kreuzigungsspuren nicht immer eindeutig identifizierbar

5. Viele Fundstätten später überbaut

Der Jehochanan-Fund bleibt der einzige direkte archäologische Beweis für die Details der Kreuzigungspraxis im Jerusalem des 1. Jahrhunderts und ist damit auch für das Verständnis der Kreuzigung Jesu von besonderer Bedeutung.

Die Kreuzigung Jesu reiht sich also in eine lange Tradition römischer Hinrichtungspraxis ein, wobei die Details der Durchführung den üblichen Prozeduren entsprachen.

Kommentar [AT1]: Gibt es kein Kapitel 11 und 12?

11. Psychologische Dimension der Leiden Jesu

11.1 Analyse nach Psalm 69

Psalm 69 bietet eine prophetische Vorschau auf das Leiden Jesu Christi und enthält zahlreiche messianische Hinweise, die in der Kreuzigungserzählung ihre Erfüllung finden.

Strukturelle Analyse:

Der Psalm gliedert sich in mehrere zentrale Abschnitte, die tiefe Einblicke in die seelische Verfassung des leidenden Gerechten geben:

1. Existenzielle Bedrängnis

- Metapher der Wasserflut als Bild totaler Bedrohung
- Gefühl der Gottverlassenheit
- Intensives Leiden durch Feindschaft und Ablehnung

2. Leidenschaftlicher Hilferuf

- Direkte Anrufung Gottes

- Schreien aus tiefster Not
- Bewusstsein der eigenen Verletzlichkeit

3. **Prophetische Vorwegnahme**

- Detaillierte Beschreibungen, die später auf Jesus Christus zutreffen
- Unerwartete Präzision der Leiden

Konkrete Parallelen zur Kreuzigung:

Vers 4: "Mehr als die Haare auf meinem Haupt sind die mich grundlos hassen"

- Entspricht der unmotivierten Feindschaft gegen Jesus
- Zeigt die Ungerechtigkeit seiner Verurteilung

Vers 8: "Fremd bin ich geworden meinen Brüdern"

- Beschreibt die Isolation Jesu
- Seine Ablehnung durch die eigene Volksgemeinschaft

Vers 9: "Der Eifer für dein Haus hat mich gefressen"

- Direkte Anspielung auf Jesu Tempelreinigung
- Leidenschaftlicher Einsatz für die Reinheit Gottes

Vers 21: "Sie gaben mir Galle zu essen und in meinem Durst tränkten sie mich mit Essig"

- Wörtliche Erfüllung während der Kreuzigung
- Buchstäbliche Entsprechung bei der Kreuzigungsszene

Psychologische Dimension:

Der Psalm offenbart die tiefgreifenden seelischen Dimensionen des Leidens:

- Gefühl der Gottverlassenheit
- Schmerz der Ablehnung
- Ringen mit existenzieller Bedrohung
- Hoffnung trotz äußerster Verzweiflung

Theologische Interpretation:

Der Psalm zeigt:

- Das stellvertretende Leiden des Gerechten
- Gottes Plan zur Erlösung
- Die Transformation von Leiden in Herrlichkeit
- Universale Bedeutung individuellen Schmerzes

Christologische Perspektive:

Jesus selbst las und interpretierte diesen Psalm als Vorausschau auf sein eigenes Geschehen. Er wusste:

- Seine göttliche Sendung
- Den Weg des Leidens
- Die erlösende Bedeutung seines Opfers

Die Analyse von Psalm 69 offenbart eine bemerkenswerte prophetische Vorwegnahme der Kreuzigungsereignisse, die weit über eine zufällige Ähnlichkeit hinausgeht und eine tiefe theologische Kontinuität zwischen alttestamentlicher Prophetie und neutestamentlicher Erfüllung aufzeigt.

11.2. Prophetische Vorausschau in Psalm 22 und Jesaja 53

Die alttestamentlichen Texte Psalm 22 und Jesaja 53 bieten eine bemerkenswert präzise Vorausschau auf die Kreuzigung Christi. Während Psalm 22 besonders die physischen Aspekte und unmittelbaren Erlebnisse beschreibt, fokussiert sich Jesaja 53 auf die tiefere theologische Bedeutung des Leidens.

Psalm 22 - Physische Details und Unmittelbarkeit:

- Die tiefe Gottverlassenheit ("Mein Gott, warum hast du mich verlassen?")
- Präzise physiologische Beschreibungen der Dehydration ("Meine Kraft ist vertrocknet")
- Exakte Voraussagen spezifischer Ereignisse wie die Verteilung der Kleider und die Durchbohrung von Händen und Füßen
- Detaillierte Beschreibung der körperlichen Erschöpfungszustände
- Die psychologische Dimension der Verspottung und Verhöhnung

Jesaja 53 - Theologische Dimension:

- Der stellvertretende Charakter des Leidens ("Um unserer Missetat willen verwundet")
- Die freiwillige Hingabe ("Wie ein Lamm, das zur Schlachtbank geführt wird")
- Die extreme körperliche Entstellung durch Misshandlung
- Die paradoxe Situation des Begräbnisses ("Bei Reichen in seinem Tod")
- Die Gewissheit der Auferstehung und nachfolgenden Erhöhung

Die prophetische Präzision beider Texte zeigt sich besonders in der Komplementarität ihrer Perspektiven: Während Psalm 22 die unmittelbare Erfahrung des Leidens beschreibt, enthüllt Jesaja 53 dessen tiefere Heilsbedeutung. Die medizinische Genauigkeit der physiologischen Beschreibungen in Psalm 22 und die theologische Tiefe der Deutung in Jesaja 53 ergeben zusammen ein erstaunlich vollständiges Bild der Kreuzigung - Jahrhunderte vor dem tatsächlichen Ereignis.

Wahrscheinlichkeitsberechnung der Erfüllung:

Betrachten wir die spezifischen Vorhersagen und ihre unabhängige Erfüllung:

Psalm 22:

1. Gottverlassenheit und wörtlicher Ausruf (1/100)
2. Durchbohrung von Händen und Füßen (1/100)
3. Verteilung der Kleider durch Los (1/1000)
4. Präzise physiologische Beschreibungen (1/1000)
5. Verspottung durch Umstehende (1/100)

Jesaja 53:

1. Freiwilliges Schweigen vor Richtern (1/100)
2. Sterben mit Verbrechern (1/100)
3. Begräbnis bei einem Reichen (1/1000)
4. Stellvertretender Tod für andere (1/100)
5. Auferstehung vorhergesagt (1/1000)

Gesamtwahrscheinlichkeit (multiplizierte Einzelwahrscheinlichkeiten): $1/100 \times 1/100 \times 1/1000 \times 1/1000 \times 1/100 \times 1/100 \times 1/100 \times 1/1000 \times 1/100 \times 1/1000 = 1/10^{20}$

Dies bedeutet eine Wahrscheinlichkeit von 1 zu 100 Trillion (10^{20}), dass alle diese spezifischen Prophezeiungen zufällig in einer Person erfüllt werden. Diese mathematische Analyse unterstreicht die außergewöhnliche Präzision der prophetischen Texte und ihre zielgerichtete Erfüllung in den Kreuzigungsereignissen.

Veranschaulichung der Wahrscheinlichkeit:

Stellen Sie sich vor, ganz Texas wäre mit Münzen im Wert von einem Euro bedeckt, gestapelt bis zur Höhe von einem Meter. Eine einzige dieser Münzen ist markiert. Die Wahrscheinlichkeit, diese eine markierte Münze beim ersten Versuch blind zu greifen, entspricht in etwa der Wahrscheinlichkeit, dass alle diese Prophezeiungen zufällig in einer Person erfüllt werden.

Oder anders ausgedrückt: Die Wahrscheinlichkeit entspricht dem Versuch, ein bestimmtes, markiertes Sandkorn unter allen Sandkörnern der Sahara beim ersten Griff zu finden.

Diese Veranschaulichungen zeigen, dass eine zufällige Erfüllung aller prophetischen Details praktisch ausgeschlossen ist und auf eine gezielte, göttliche Vorausplanung hindeutet.

12. Zusammenfassung

Die vorliegende wissenschaftliche Analyse der Kreuzigung Jesu Christi kombiniert historische, medizinische, physikalische und archäologische Perspektiven zu einem umfassenden Gesamtbild. Die Untersuchung zeigt eine bemerkenswerte Konvergenz verschiedener Evidenzlinien:

Chronologische Präzision: Die Kreuzigung lässt sich auf den 25. März 33 n.Chr. datieren, gestützt durch:

- Astronomische Berechnungen (Sonnenfinsternis und Mondphase)
- Die Daniel-Prophezeiung der 70 Jahrwochen
- Römische Verwaltungsdokumente
- Übereinstimmende historische Quellen

Medizinische Dimension: Die physiologischen Prozesse während der Kreuzigung sind präzise rekonstruierbar:

- Detaillierte Analyse der Geißelung (Blutverlust 500-700 ml)
- Biomechanische Belastungen am Kreuz
- Progressive Verschlechterung der Atmung
- Todesursache durch kombiniertes Organ- und Kreislaufversagen

Physikalische Phänomene: Die begleitenden Ereignisse zeigen außergewöhnliche physikalische Parameter:

- Dreistündige Finsternis (astronomisch nicht erklärbar)
- Erdbeben der Stärke 5-6 auf der Richterskala
- Zerreißen des Tempelvorhangs (8.400-10.500 kg)
- Schallausbreitung des Todesschreis über 600m zur Burg Antonia

Archäologische Evidenz: Materielle Belege unterstützen die historischen Berichte:

- Kreuzigungsnagel von Giv'at ha-Mivtar
- Architektur der Burg Antonia
- Topographie von Golgatha
- Römische Straßen und Stadtmauern

Historische Dokumentation: Multiple unabhängige Quellen bestätigen das Ereignis:

- Römische Historiker (Tacitus, Sueton)
- Jüdische Quellen (Josephus, Talmud)
- Frühchristliche Berichte
- Administrative Dokumente

Prophetische Dimension: Alttestamentliche Prophezeiungen finden präzise Erfüllung:

- Psalm 22 (körperliche Details)
- Jesaja 53 (theologische Bedeutung)
- Sacharja-Prophezeiungen
- Daniel-Chronologie

Die Analyse zeigt, dass die Kreuzigung Jesu ein historisch gut dokumentiertes Ereignis ist, dessen Details durch verschiedene wissenschaftliche Disziplinen bestätigt werden. Die Konvergenz von prophetischer Voraussage, historischer Dokumentation, medizinischer Plausibilität und archäologischer Evidenz unterstreicht die Historizität des Geschehens.

Besonders bemerkenswert ist die Präzision der prophetischen Voraussagen, deren zufällige Erfüllung statistisch praktisch ausgeschlossen ist (Wahrscheinlichkeit $1:10^{20}$). Die medizinischen Details der Evangelienberichte entsprechen exakt dem heutigen Wissen über Kreuzigungen, obwohl dieses Wissen zur Zeit der Niederschrift nicht verfügbar war.

Die physikalischen Begleitphänomene (Finsternis, Erdbeben) sind durch multiple unabhängige Quellen belegt und übersteigen in ihrer Magnitude normale Naturereignisse. Die archäologischen Befunde bestätigen die topographischen und architektonischen Details der biblischen Berichte.

Diese multidisziplinäre Analyse liefert ein wissenschaftlich fundiertes Bild der Kreuzigung Jesu als historisches Ereignis von außergewöhnlicher Bedeutung.

Der Sühnetod Christi am Kreuz beweist die angekündigte Intervention Gottes für uns Menschen. Röm 3,25 offenbart die tiefere Dimension: Christus wird von Gott als Sühne präsentiert, die unsere Schuld kompensiert. Die zahlreichen Details dieser Arbeit zeigen, was Jesus Christus für die Menschen getan hat. Jeder Lesser dieses Buches ist daher eingeladen, dieses Opfer für seine Sünden im Glauben und Gebet in Anspruch zu nehmen. Für Christen soll es eine Ermutigung sein, für den Herrn Jesus zu leben.

Literaturverzeichnis

- Aardsma, Gerald E. *A New Approach to the Chronology of Biblical History from Abraham to Samuel*. Aardsma Research & Publishing, 1993.
- Anderson, Robert. *The Coming Prince*. Kregel Publications, Reprint 1984.
- Finegan, Jack. *Handbook of Biblical Chronology*. Hendrickson Publishers, Revised Edition, 1998.
- Fotheringham, J.K. "The Evidence of Astronomy and Technical Chronology for the Date of the Crucifixion." *Journal of Theological Studies* 35 (1934): 146-162.
- Gertoux, Gerard. *The Name of God Y.eH.oW.aH Which is Pronounced as it is Written I_Eh_oU_Ah: Its Story*. University Press of America, 2002.
- Hoehner, Harold W. *Chronological Aspects of the Life of Christ*. Zondervan, 1977.
- Humphreys, Colin J. & W.G. Waddington. "Dating the Crucifixion." *Nature* 306.5945 (1983): 743-746.
- Jones, Floyd Nolen. *The Chronology of the Old Testament*. Master Books, 16th Edition, 2009.
- Kitchen, Kenneth A. *On the Reliability of the Old Testament*. Eerdmans, 2006.

- Liebi, Roger. *Chronologie der Könige Israels und Judas*. Christliche Literatur-Verbreitung, 2016.
- McClain, Alva J. *Daniel's Prophecy of the 70 Weeks*. BMH Books, 2007.
- Parker, Richard A. & Waldo H. Dubberstein. *Babylonian Chronology 626 B.C. - A.D. 75*. Brown University Press, 1956.
- Payne, J. Barton. *Encyclopedia of Biblical Prophecy*. Baker Books, 1996.
- Pierce, Larry. *In the Days of Peleg*. Master Books, 2013.
- Schaefer, Bradley E. "Lunar Visibility and the Crucifixion." *Quarterly Journal of the Royal Astronomical Society* 31 (1990): 53-67.
- Steinmann, Andrew E. *From Abraham to Paul: A Biblical Chronology*. Concordia Publishing House, 2011.
- Thiele, Edwin R. *The Mysterious Numbers of the Hebrew Kings*. Kregel Academic, 1994.
- Walvoord, John F. *The Prophecy Knowledge Handbook*. Victor Books, 1990.
- Whitcomb, John C. & Henry M. Morris. *The Genesis Flood*. Presbyterian & Reformed Publishing, 1961.
- Young, Rodger C. "When Did Jerusalem Fall?" *Journal of the Evangelical Theological Society* 47.1 (2004): 21-38.

- Datenbanken: Thesaurus Linguae Graecae (TLG) · Comprehensive Aramaic Lexicon (CAL) · Database of Latin Dictionaries (DLD) · Perseus Digital Library · Packard Humanities Institute (PHI) Latin Texts · Loeb Classical Library Digital · Dead Sea Scrolls Digital Library · Babylonian Talmud Digital Database · Responsa Project (Bar-Ilan University) · Online Treasury of Talmudic Manuscripts